

## 四象體質別 頭面部의 形態學的 特徵

高炳熙<sup>\*</sup>·宋一炳<sup>\*</sup>·趙鏞珍<sup>\*\*</sup>·崔昌石<sup>\*\*\*</sup>·金鍾元<sup>\*\*\*\*</sup>·洪錫喆<sup>\*</sup>·李義柱<sup>\*</sup>·李相龍<sup>\*</sup>·徐貞淑<sup>\*</sup>

### 요약

1. 연구배경 : 사상의학의 가장 중요한 요점은 체질진단이다. 그간 다양한 체질변증에 관한 연구가 있었지만 신체 각부의 형태학적인 연구, 특히 얼굴을 대상으로 한 연구는 거의 전무하였다. 저자들은 그 동안 전일적이고 직관적으로 표현된 동의수세보원의 형태적 묘사를 정량화하여 정리하고, 이 자료를 체질진단의 근거자료로 삼고자 하는 연구의 일환으로 먼저 두안부(頭面部)의 형태를 태음인·소음인·소양인 별로 그 형상적 특징을 찾아내고자 하였다.

2. 방법 : 1995년 7월부터 1995년 12월까지 경희의료원 부속한방병원 왜래환자 및 직원을 대상으로 설문지 및 임상적 치료 경과를 통하여 체질적 경향성이 뚜렷한 대상자를 선별하고 동일촬영 조건을 통하여 얻은 얼굴 사진 중 형태특이자를 제외한 170례의 고경(전두고의 26항목) 방사경(두최대장의 22항목) 및 폭경(안최대폭의 18항목)등 총 69항목을 측정한 후 이를 분석하여 체질별 상이점을 도출하였다.

3. 결과 : 체질별 두면부의 형태학적인 특징을 수치화하여 설명할 수 있게 되었고, 나아가 직관적이고 전일적인 형태를 구체화시킬 수 있는 특징을 도출할 수 있었다.

4. 결론 : 이상의 결과를 이용하여 체질별 각 부분의 형태를 계량화하여 비교 설명하고, 이를 이용하여 체질판별공식을 만들었다.

중심단어 : 사상체질진단, 형태, 두안부, 사진, 측정점.

\* 경희대학교 한의과대학 사상의학과

\*\* 서울교육대학교 미술과

\*\*\* 명지대학교 정보공학과

\*\*\*\* 동의대학교 한의과대학 사상의학과

이 논문은 제2회 사상의학 국제학술대회 발표논문임.

이 논문은 1995년 보건복지부에서 시행한 보건의료기술연구개발사업의 결과 보고서입니다.

# I. 緒 論

東武 李濟馬는 1894년 東醫壽世保元을 저술하여 四象醫學을 제창한 이래 금일에 이르기까지 後學들에 의하여 기본이론 및 임상적 응용에 대한 연구가 활발하게 진행되어 많은 발전을 이룩하였다. 특히 四象體質辨證에 관한 研究<sup>1-12)</sup>는 가장 중요한 핵심적 연구로서 많은 醫家들에 의하여 객관타당한 방법들이 모색되어 임상에 활용되고 있는 추세이다.

東武公은 東醫壽世保元 四象人 辨證論<sup>13,14)</sup>에서 辨證의 기준을 外形, 性質才幹, 證(生理的, 病理的) 등을 제시하고, “人物形容仔細商量 再參推移 如有迷惑則 參互病證 明見無疑然後 可以用藥”이라하여 人物形容이 體質辨證의 優先的 根據임을 밝히고 이에 대한 기준으로는 體形氣像과 容貌詞氣를 제시하고 있다. 그러나 形容的 體質辨證基準의 제시 방법에서 부분적이고 분석적인 방법을 취하기보다는 全一的이고 直觀的인 방법을 취함으로써 客觀性이 의심받아 옴으로써 임상 적용 및 학문적 통일과 발전을 위해서는 적잖게 장애가 되어 이를 客觀化시킬 수 있는 研究가 要求되었다.

人物形容 體質診斷法은 望診의 일종으로서 望診은 視覺을 통하여 인체의 부분과 전체에서 나타나는 神色形態를 韓醫學의 現象관찰을 통하여 진단하는 방법이다. 이를 視覺 生理的으로 보면 눈의 여러구조를 통하여 結像된 現象정보가 視神經을 통하여 大腦의 시각시스템에 전달하여 시각정보처리과정을 통하여 知覺하고 認識하는 과정을 통하여 이루어지는 것이다. 그러나 인간의 눈이 빛을 느낄 수 있는 범위는 한계가 있다. 인간의 현상인식력은 解像力, 類型判別能, 定性的判斷能力, 相對比較에는 뛰어나 있으나 定量的 測定, 絶

對的比較(個人差, 經時的誤差), 認識의 再現性에는 뒤떨어진다. 따라서 이러한 결점을 보완하고 보다 고도의 현상인식을 위해서는 嚮像工學的 접근이 필요하다<sup>15)</sup>.

금번 연구는 四象體質診斷의 客觀化를 위한 形態學的인 研究로서 영상방식인 사진적 방법을 통하여 視覺이 가지는 자연적인 감각능력을 확대시켜 측정대상인 頭面部의 형태를 計測하고 數值化하여 各 體質別로 나타나는 差異를 比較分析한 결과 몇가지 유의한 결과를 얻었기에 보고하는 바이다.

# II. 研究方法

## 1. 연구의 개요

사상체질별 형태학적인 객관화를 위하여 2가지 점에 유의하였다.

첫째, 대상자의 체질진단은 설문지 및 임상적 관찰을 통하여 신증을 기하여 시행하도록 하였다. 둘째, 頭顔部에 대한 생체측정은 피검자에게 계측시의 고통경감, 검사자의 편의 등 재료수집 편의와 자료보존의 용이성 등을 위하여 간접측정 방법인 사진영상에 의한 방법으로 한정하고 그 측정점의 설정은 頭顔部の 3차원적 재건이 가능하도록 배려하였다.

## 2. 연구재료의 수집, 연구대상

### 1) 연구재료의 수집

1995년 7월부터 1995년 12월까지 경희대학교 부속한방병원 사상의학과에 내원한 외래환자 및 직원 300인을 1차분으로 수집하여 이중, 체질경향성이 모호한 자, 형태가 특이하여 전체 통계치에

영향을 줄만한 경우, 계측의 용이성 등을 고려하여 170인을 선정하였다.

이들의 성별분포는 남자가 105명(61.8%), 여자가 65명(38.1%)이었다. 이를 사상체질별로 분류하면 태음인이 75명 44.1%로 가장 많았고, 소양인이 56명 32.9%, 소음인이 39명 23%순이었다.

## 2) 연구대상자(수집재료)의 사상체질에 따른 성별분포

본 연구를 위하여 수집한 연구대상자의 四象體質에 따른 성별 분포에서는 남자의 경우 太陰人이 40%, 少陽人이 37.1%, 少陰人이 22.9%, 여자의 경우 太陰人이 50.8%, 少陽人이 26.1%, 少陰人은 23.1%로 나타났다. 전체적으로는 太陰人이 44.1%로 가장 많았고, 少陽人이 32.9%, 少陰人이 23%순으로 나타났다. 성별에 따른 體質別 분포는 (표 1)에 제시하였다.

(표1) 性別에 따른 體質別 분포

體質別 性別	太陰人	少陰人	少陽人	總計
男	42 (56%) (40%)	24 (61.5%) (22.9%)	39 (69.7%) (37.1%)	105 (61.8%)
女	33 (44%) (50.8%)	15 (38.5%) (23.1%)	17 (33.3%) (26.1%)	65 (38.2%)
총계	75 (44.1%)	39 (23%)	56 (32.9%)	170 (100%)

## 3) 연구대상자(수집재료)의 四象體質에 따른 年齡分布

體質에 따른 연령분포를 살펴 보면, 太陰人은 평균연령이 54세이었으며, 소음인은 40세, 소양인은 52세로서 소음인의 평균연령이 낮았고, 전체적

으로는 50대가 28.8%로 가장 많았다. 이를 體質별로 보면 다음과 같다(표2).

(표2) 연구대상자(수집재료)의 四象體質에 따른 年齡分布

체질 나이	태 음 인	소 음 인	소 양 인	Total
20 - 29	6 (8%) (21.4%)	15 (38.5%) (53.6%)	7 (12.5%) (25%)	28 (16.5%)
30 - 39	7 (9.3%) (36.8%)	7 (17.9) (36.8)	5 (8.9%) (26.3%)	19 (11.2%)
40 - 49	9 (12%) (42.9%)	6 (15.4) (28.6)	6 (10.7%) (28.6%)	21 (12.4%)
50 - 59	26 (34.7%) (53.1%)	4 (10.3) (8.2)	19 (33.9%) (38.8%)	49 (28.8%)
60 - 69	17 (22.7%) (47.2%)	6 (15.4) (16.7)	13 (23.2%) (36.1%)	36 (21.1%)
70 - 79	10 (13.3%) (58.8%)	1 (2.6%) (5.9%)	6 (10.7%) (35.3%)	17 (100.0%)
column	75	39	56	170

## 3. 체질진단방법 촬영방법 및 계측 방법

### 1) 체질진단방법

體質診斷을 위하여 四象體質 설문지<sup>1번</sup><sup>6,7,10,12)</sup> 및 QSCC에 의한 사상체질분류진단<sup>8,9,11)</sup>, Computer program에 의한 사상체질진단<sup>4)</sup>, 藥診 및 針診<sup>2)</sup> 등 임상적 검증을 통한 사상체질진단(환자의 대부분은 수희의 외래치료를 통하여 체질진단과 약물의 반응이 일치하는 경우만을 선택하였다) 을 거쳐 사상의학을 전공한 전문의의 판정에 의하여 體

質을 확정하였다.

## 2) 촬영방법 <圖 1>

三次的인 淸적의 頭顔部 映像을 얻어 비교 분석하기 위하여 촬영방법을 同一化하여 표준화된 조건을 정할 필요가 있다. 따라서 외부의 빛을 차단할 수 있는 촬영실을 만들고, 피사체와 카메라 간의 거리 및 방향 설정, 노출정도, 셔타임 등을 다양하게 만들어 비교 분석하여 측정에 필요한 淸적조건을 선정, 표준화하여 시행하였다.

① 촬영거리 및 각도와 기법 : 피사체와 182cm의 거리에서 正面, 左側90도, 左側傾斜45도 및 정면 모아레(moire)영상 등을 촬영하였다. 촬영시 피검자의 頭顔部를 耳眼水平線에 맞추었다.

② 촬영조건 : 모아레(moire)를 제외한 三方向의 영상촬영 조건은 셔타시간 1/60초, 노출5.6에 일반 후레쉬를 사용하여 촬영하였다. 모아레(moire)는 셔타시간 1/30초, 노출4.25, 500w의 조명을 182cm에서 조명을 설치하였고 외부의 빛을 차단하였다.

③ 실측거리를 환산하기 위하여 比率를 환산할 수 있는 스케일을 만들어 피검자로 하여금 소정의 위치를 지정하여 들고 있게 하였다.

④ 頭髮로 인한 頭頂點 및 後頭隆起點의 측정을 위하여 頭頂點에 頭皮와 밀착하여 환산용 표시기를 대고 촬영하였다.

⑤ 촬영용 카메라는 니콘 FM2 105mm 망원렌즈를 장착한 카메라를 사용하였다.

## 3) 측정방법 및 측정점

### (1) 측정방법

측정은 확대한 사진상을 이용한 간접측정을 원칙으로 했다.

寫眞像의 측정에는 일본제 노기스(mitutoyo D-

IGMATIC)를 사용하고, 100분의 1mm까지의 정밀도를 지키고자 노력했다.

### (2) 측정점, 측정항목

#### ① 측정점

측정점에 관해서는 R. Martin의 측정법에 따른다.

#### ② 측정항목<圖 2-6>

측정항목은 한 사람당 69항목을 설정했다. 그 내역은 정면사진에서 얻은 폭경측정항목 19항, 측면사진에서는 고경측정항목 27항과 방사경항목 23항이다. 또한 이들 항목을 이용하여 부분적 수치 및 비율을 알 수 있는 數式 131항목을 만들었다. 또한 이들 측정치의 평균치를 이용하여 면적을 산출하여 비교하였으며, 上顔部 등고선의 형태를 분석하였다. 측정항목과 그 방법은 다음과 같다.(괄호안(M)은 해당하는 R. Martin식 측정법에서의 측정항목이다.)

### 高徑측정항목 (높이)

V01.(M16) Total head height 全頭高(전체두상의 높이).

Gnathion(턱)과 Vertex(頭頂點)을 잇는 수직선을 시상(矢狀)면에 투영한 길이. 頭部 전체의 높이값을 조사하기 위하여 설정했다.

V02.(M17) Physiognomic face height 全顔高(전체얼굴높이).

Gnathion과 Trichion(발계<머리카락과 이마의 경계선>점)을 잇는 수직선을 시상(矢狀)면에 투영한 길이. 頭部중의 얼굴높이의 값을 조사하기 위하여 설정했다.

V03. 前頭隆起高(앞머리점높이).

Gnathion과 Metopion(前頭點)을 잇는 수직선을 시상면에 투영한 길이. 측면에서 본

이마부위의 중요한 曲角点인 前頭結節의 위치를 조사하기 위하여 설정했다.

V04.(M18a) Ophryon高.

Gnathion과 좌우눈썹의 최상단(眉頂点)을 잇는 직선과 정중앙의 시상면(矢狀面)交点에 투영한 길이. 측면에서 본 眉間부위의 가장 앞으로 나온 점이며, 남자의 미간에서는 중요한 계측점이다.

V05. 眉頂点高

Gnathion과 眉頭上 가장자리사이의 정중앙 점을 잇는 수직선을 시상면에 투영한 길이.

V06.(M18-01) 眉間点高 Glabella to gnathion

Glabella(眉間点)과 Gnathion을 잇는 수직선을 시상면에 투영한 길이로서, 眉間的 높이를 결정하기 위하여 설정했다.

V07.(M18b) 眼窩上緣高

Gnathion과 좌측의 안구위 가장자리를 잇는 수직선을 시상면에 투영한 길이로서, 윗눈꺼풀 높이를 결정하기 위하여 설정했다.

V08.(M18c) 鼻根点高(sellion高)

Gnathion 과 Sellion(鼻根部最內曲角点)을 잇는 수직선을 시상면에 투영한 길이로서, 鼻根部的 가장 안쪽 曲角点的 위치를 결정하기 위하여 설정한 것이다.

V09. 鼻背点高(콧등점높이)

Gnathion과 鼻背(콧등) 중앙이등분점을 잇는 수직선을 시상면에 투영한 길이로서, V37과 결부하여 鼻背(콧등) 형태를 추정하기 위하여 설정했다.

V10. 瞳孔点高(동공점높이)

Gnathion 과 좌측의 Pupulare(동공점)을 잇는 수직선을 시상(矢狀)면에 투영한 길이로서, 얼굴중 동공의 위치를 결정하기 위하여 설정했다.

V11. 上眼臉裂高(윗눈꺼풀높이)

Gnathion과 좌측의 윗눈꺼풀의 가장 높은 점을 잇는 수직선을 시상면에 투영한 길이 얼굴중 눈의 상한점을 결정하기 위하여 설정했다.

V12. 下眼臉裂高(아래눈꺼풀높이)

Gnathion과 좌측의 아래눈꺼풀의 최고점을 잇는 수직선을 시상면에 투영한 길이로서, 얼굴중 눈의 하한점을 결정하기 위하여 설정했다. V11과 맞추는 것으로 눈높이를 추정할 수 있다.

V13. 上耳底点高(위귀바닥점높이)

Gnathion과 좌측의 위귀바닥점을 잇는 수직선을 시상면에 투영한 길이. 귀윤곽선이 시작되는 위치를 결정하기 위하여 설정했다.

V14. 下耳底点高(아래귀바닥점높이)

Gnathion과 좌측의 아래귀바닥점을 잇는 수직선을 시상면에 투영한 길이. 귀윤곽선이 끝나는 위치를 결정하기 위하여 설정했다.

V15. 耳珠点高(귀구슬점높이)

Gnathion과 좌측의 tragon(耳珠点)을 잇는 수직선을 시상면에 투영한 길이. 인류학연구의 계측법의 기준이 되는 耳珠点的 위치를 결정하기 위하여 설정했다.

V16. 耳珠高(귀구슬의 높이)

Gnathion과 좌측의 耳珠중앙을 잇는 수직선을 시상면에 투영한 길이. 耳珠의 위치를 결정하기 위하여 설정했다.

V17. 鼻尖点高(코끝점높이)

Gnathion과 Pronasale(鼻尖点)을 잇는 수직선을 시상면에 투영한 길이. 얼굴 윤곽선 가운데서 가장 앞에 돌출한 점의 위치를 결정하기 위하여 설정했다.

V18.(M28(2))Subnasale to Gnathion 鼻下点高(코아래점높이)

Gnathion 과 Subnasale(코 아래점)을 잇는 수직선을 시상면에 투영한 길이. 코의 下端, 턱의 上端이 되는 점을 결정하기 위하여 설정했다.

V19. 鼻翼上点高(콧날개 윗점 높이)

Gnathion과 좌측의 鼻翼上点(콧날개 윗점)을 잇는 수직선을 시상면에 투영한 길이. 얼굴중에서 콧날개의 상한을 조사하기 위하여 설정했다.

V20. 鼻翼下点高(콧날개 아래점 높이)

Gnathion과 좌측의 콧날개 아래점을 잇는 수직선을 시상면에 투영한 길이. 얼굴에서 콧날개의 下를 조사하기 위하여 설정했다.

V21. 上脣点高(윗입술점높이)

Gnathion과 Labrale(상순점)을 연결하는 수직선을 시상면에 투영한 길이. 윗입술에서도 가장 앞에 돌출된 점의 위치를 결정하기 위하여 설정했다.

V22. 口裂点高

Gnathion과 Stomion(口裂点)을 잇는 수직선을 시상면에 투영한 길이. 구열의 위치와 아래턱의 높이를 결정하기 위하여 설정했다.

V23. 口角点高

Gnathion과 좌측의 Cheilion(구각점)을 잇는 수직선을 시상면에 투영한 길이. V22와 관련시켜 구열의 각도를 추정하기 위하여 설정했다.

V24. 下脣点高(아랫입술점높이)

Gnathion과 Labrale inferius(하순점)를 잇는 수직선을 시상면에 투영한 길이. 아랫입술 중에서도 가장 앞에 돌출된 점의 위치를 결정하기 위하여 설정했다.

V25. 턱脣口点高(턱(입술밑점높이)

Gnathion과 Labiomentale(입술밑의 들어간

부분)을 잇는 수직선을 시상면에 투영한 아랫턱의 上端, 아래피부점의 하한점을 결정하기 위하여 설정했다.

V26. 턱隆起点高(Pogonion 높이)

Gnathion과 Pogonion(아래턱결절점)을 잇는 수직선을 시상면에 투영한 길이. 아래턱부분의 측면 윤곽선 중에서도 가장 앞에 돌출된 점의 위치를 결정하기 위하여 설정했다.

V27. 윗턱結節点高

Gnathion과 Supra Gnathion(윗턱결절점)을 잇는 수직선을 시상면에 투영한 길이. 턱부분의 윤곽선의 最外곡각점으로서 이주점으로부터 가장 긴 점이 된다.

방사경측정항목

V28.(M1)頭最大長(머리최대길이) Metopion head length

Glabella(眉間점)와 Occipitale(後頭點)을 잇는 직선을 시상면에 투영한 길이

V29.(M40-02)髮際点放射徑 Trichion T-projected

이주점과 발제점(머리카락경계점)을 잇는 직선을 시상면에 투영한 길이. V02 전체 얼굴높이 값과 관련시켜 발제점의 돌출정도를 기록하기 위하여 설정했다.

V30. 前頭隆起点點放射徑 Metopion T-projected

이주점과 앞머리용기점을 연결하는 직선을 시상면에 투영한 길이. V03 앞머리점높이의 값과 관련시켜 Metopion의 돌출정도를 기록하기 위하여 설정했다.

V31.(M40-03)오필리온 放射徑

Ophryon T-projected.

이주점과 오필리온(미정점수준)을 잇는 직선을 시상면에 투영한 길이. V04의 값과 관련시

켜서 오피리온의 돌출정도를 기록하기 위하여 설정했다.

V32. 眉頂点放射徑

이주점과 눈썹상단의 가장자리점을 연결하는 직선을 시상면에 투영한 길이. V05의 값과 연관시켜서 눈썹이 치킨 각도를 알아내기 위하여 설정했다.

V33. (M40-01)眉間点放射徑 Glabella T-projected

이주점과 미간점을 잇는 직선을 시상면에 투영한 길이. V06 미간얼굴높이의 값과 관련시켜 미간부분의 돌출정도에 관해 조사하기 위하여 설정했다.

V34. (M39)鼻根点放射徑 Sellion T-projected

이주점과 비근부점을 잇는 직선을 시상면에 투영한 길이. V08 sellion높이의 값과 관련시켜 sellion부분의 돌출정도에 관해 조사하기 위하여 설정했다.

V35. 角膜点放射徑 Pupulare T-projected

이주점과 角膜점을 잇는 직선을 시상면에 투영한 길이. V10 동공점 높이의 값과 관련시켜서 각막정점의 돌출정도를 조사하기 위하여 설정했다.

V36. 眼尾点放射徑(外眼角放射徑) Ectocanthion T-projected

이주점과 외안각점을 연결하는 직선을 시상면에 투영한 길이. 이주점에서 외안각까지의 안길이를 기록하기 위하여 설정했다.

V37. 비배점방사경 Dorsum nasale T-projected

이주점과 콧등 중앙이등분점을 연결하는 직선을 시상면에 투영한 길이. V04 콧등점 높이의 값과 관련시켜서 콧등형태에 관해 조사하기 위하여 설정했다.

V38. 鼻尖点放射徑 Pronasale T-projected

이주점과 비첨점을 연결하는 직선을 시상면

에 투영한 길이. V17 비첨점높이의 값과 관련시켜 비첨(코등뿔족한곳)의 돌출정도를 기록하기 위하여 설정했다.

V39. 鼻翼点放射徑 Alare T-projected

이주점과 비익점(코날개)을 잇는 직선을 시상면에 투영한 길이. V38과 V65 코넓이와 관련시켜 코의 형태에 관해서 조사하기 위하여 설정했다.

V40. 鼻下点放射徑(Subnasale T-projected)

이주점과 비하점을 잇는 직선을 시상면에 투영한 길이. V18 비하점 높이와 V38 비첨점등의 값과 관련시켜서 코의 깊이를 추정하기 위하여 설정했다.

V41. 上脣点放射徑(윗입술) Upper lip T-projected

이주점과 상순점을 잇는 직선을 시상면에 투영한 길이. V21 상순점 높이와 관련시켜서 상순의 돌출정도를 조사하기 위하여 설정했다.

V42. 口裂点放射徑 stomion T-projected

이주점과 구열점을 잇는 직선을 시상면에 투영한 길이. V22 구열점 높이와 관련시켜 입술의 돌출정도를 조사하기 위하여 설정했다.

V43. 口角点放射徑 cheilion T-projected

이주점과 구각점을 잇는 직선을 시상면에 투영한 길이. V23 구각점 높이와 연관시켜 구각의 안길이를 기록하기 위하여 설정했다.

V44. 下脣点放射徑(아랫입술방사경)

Labrale inferius tradius

이주점과 하순점을 잇는 직선을 시상면에 투영한 길이. V24 하순점 높이와 연관시켜 아래입술의 돌출정도를 조사하기 위하여 설정했다.

V45. 턱脣口点放射徑 Labiomentale T-projected

이주점과 턱순구점(턱의 들어간 부분)을 잇는 직선을 시상면에 투영한 길이. V25 턱순구

높이와 관련시켜서 아래턱순구의 함몰정도를 기록하기 위하여 설정했다.

V46. 턱융기점방사경 Pogonion T-projected  
이주점과 아래턱결절점을 잇는 직선을 시상면에 투영한 길이. V26 Pogonion높이와 연관시켜 아래턱의 들출정도를 조사하기 위하여 설정했다.

V47. 윗턱결절점 방사경 Supragrathion T-projected  
이주점과 윗턱결절점을 잇는 직선을 시상면에 투영한 길이. 이주점에서 가장 긴 점으로 결정했다.

V48. 턱하점방사경(아래턱방사경)  
Gnathion T-projected  
이주점과 아래턱을 잇는 직선을 시상면에 투영한 길이.

V49. 설골점방사경 Hyoidion T-projected  
이주점과 설골점을 잇는 직선을 시상면에 투영한 길이. V70과 연관시켜 아래턱의 안길이를 기록하기 위하여 설정했다.

V50. 下顎底長(아래턱바닥길이)  
이주점과 설골점을 잇는 직선을 시상면에 투영한 길이. 아래턱의 안길이를 기록하기 위하여 설정했다.

**幅徑測定項目(넓이)**

V51. (M6) 顔最大幅(얼굴최대폭)  
Bizygomatic breadth  
좌우 광대뼈의 가장 바깥 꼭각점간을 잇는 직선을 앞두상면에 투영한 길이. V01 전체얼굴높이와 연관시켜 얼굴의 종횡비를 조사하기 위하여 설정했다.

V52. (M7) 顴骨間幅(광대뼈사이폭)  
Interzygomatic breadth

좌우 광대뼈사이를 잇는 직선을 앞머리면에 투영. 광대뼈사이의 폭을 조사하기 위하여 설정했다.

V53. 全額幅(전체이마폭) Forhead breadth  
이마 좌우의 머리카락 경계선을 잇는 직선을 앞머리면에 투영한 길이. V86 이마높이와 연관시켜 이마의 형태에 관해서 추정할 수 있다.

V54.(M4) 側頭線間幅(앞머리최소폭=위얼굴폭)  
Minimum frontal breadth  
좌우의 側頭線(옆머리선) 사이를 잇는 직선을 앞머리면에 투영한 길이. 앞이마부위의 아래폭을 조사하기 위하여 설정했다.

V55.(M4(1)) 前頭隆起間幅(앞머리결절사이넓이)  
Interprotuberant breadth  
좌우의 앞머리융기사이를 잇는 앞머리면에 투영한 길이. 앞이마의 위의폭을 조사하기 위하여 설정했다.

V56.(M126) 眉梢間幅(눈썹말초사이폭)  
Total eyebrow breadth  
좌우의 눈썹 말초사이를 잇는 직선을 앞머리면에 투영한 길이.

V57. 眉間幅(눈썹사이폭)  
좌우의 눈썹바닥의 가장 안쪽점 사이를 잇는 직선을 앞머리면에 투영한 길이.

V58.(M10) 兩眼眉間幅(외眼角幅)  
Biectocanthic breadth  
좌우눈의 외안(바깥쪽각)을 잇는 직선을 前頭面(앞머리)에 투영한 길이.

V59.(M9) 內眼角間幅 Bientocanthic breadth  
좌우눈의 가장 안쪽눈의 각을 잇는 직선을 앞머리면에 투영한 길이. V36에서 빼서 들로 나누면 안열점이 된다.

V60. 鼻根部폭

**계측수식발정식**

앞머리뼈와 위턱뼈의 봉합점에 해당하는 좌우 사이를 잇는 직선을 앞머리면에 투영한 길이.

V61. 瞳子外緣角間幅(홍채테두리 바깥사이 폭)  
좌우의 검은눈동자 가장 바깥쪽점사이를 잇는 직선을 앞머리면에 투영한 길이

V62. (M12) 瞳孔点間幅(동공사이거리)  
Interpupillary distance  
좌우동공점을 잇는 직선을 앞머리면에 투영한 길이.

V63. 瞳子內緣間幅(홍채테두리 안쪽사이넓이)  
좌우의 검은눈동자의 가장 안쪽점사이를 잇는 직선을 앞머리면에 투영한 길이.

V64. 頰隆起間幅(광대뼈융기사이폭)  
옆광대의 좌우융기부분을 잇는 직선을 앞머리면에 투영한 길이.

V65.(M13) 鼻幅(코넓이, 코날개넓이)  
Nasal breadth  
좌우의 코날개넓이점 사이를 잇는 수직선을 앞머리면에 투영한 길이.

V66. 人中幅 Philtrum breadth  
인중의 시각적가로넓이로서 가장 아래 넓이를 잇는 직선을 앞머리면에 투영한 길이.

V67.(M8) 下顎角間幅(아래턱각부분의 넓이)  
Biogonial breadth  
좌우의 아래턱각점사이를 연결하는 직선을 앞머리면에 투영한 길이. 본 연구에서는 stomion높이의 위치로 계측했다.

V68.(M14) 口角間幅 Intercheilion breadth  
좌우의 口角점의 뾰족한 점을 잇는 직선을 관상면에 투영한 길이.

V69. 턱結節間幅  
아래턱결절 사이를 잇는 직선을 관상면에 투영한 길이.

V70. 이두고(head height)  
전두고-이주점고(V1-V15)의 수식으로 얻었다. 이주점과 두정점사이를 잇는 직선을 시상면에 투영한 길이.

V71. 이주머리 높이(Tragus head height)  
전두고-이주고(V1-V16)의 수식에 의하여 얻었다. 이주의 가운데점에서 두장점사이를 잇는 시상면에 투영한 길이

V72. Sellion to stomion  
비근점고-구열점고(V8-V22)의 수식에 의하여 얻었다.

V73. Glabella to stomion  
미간점고-구열점고(V6-V22)의 수식에 의하여 얻었다.

V74. Sellion to subnasal  
비근점고-비하점고(V8-V18)의 수식에 의하여 얻었다.

V75. Trichron to sellion projected  
전안고-비근점고(V2-V8)의 수식에 의하여 얻었다.

V76. Total lip height projected  
상순점고-하순점고(V21-V24)의 수식에 의하여 얻었다.

V77. Upper lip height  
상순점고-구열점고(V21-V22)의 수식에 의하여 얻었다.

V78. lower lip height  
구열점고-하순점고(V22-V24)의 수식에 의하여 얻었다.

V79. Subnasale to stomion  
비하점고-구열점고(V18-V22)의 수식에 의하여 얻었다.

- V80. Philtrum length  
비하점고-상순점고(V18-V21)의 수식에 의하여 얻었다.
- V81. 상안고  
전안고-미간점고(V2-V06)의 수식에 의하여 얻었다.
- V82. 중안고  
미간점고-비하점고(V6-V18)의 수식에 의하여 얻었다.
- V83. 하안고  
비하점고(V18)와 동일하다.
- V84. 상안고비  
전안고에 차지하는 상안고의 비율을 얻기 위하여 설정했다. 상안고(V81)÷전안고(V02)×100의 수식에 의하여 얻었다.
- V85. 중안고비  
전안고에 차지하는 중안고의 비율을 얻기 위하여 설정했다. 중안고(V82)÷전안고(V02)×100의 수식으로 얻었다.
- V86. 하안고비율  
전안고에 차지하는 하안고의 비율을 얻기 위하여 설정했다. 하안고(V18)÷전안고(V02)×100의 수식으로 얻었다.
- V87. 안고폭지수  
전안고에 대한 안최대폭과의 비.  
안최대폭÷전안고×100=V51÷V2×100
- V88. 하악각간폭÷안최대폭×100=V67÷V51×100
- V89. 구각간폭÷하악각간폭×100=V68÷V67×100
- V90. 비폭÷안최대폭×100=V65÷V51×100
- V91. 미간점고÷미정점고×100=V5÷V6×100
- V92. 두장고지수  
전안고÷두최대장×100=V2÷V28×100
- V93. 액폭고지수  
액고(전액고-미간점고)÷전액폭=(V2-V6)÷V53×100
- V94. 동공점간폭÷안최대폭×100=V62÷V51×100
- V95. 비폭÷안최대폭×100=V65÷V51×100
- V96. (비익상점고-비익하점고)÷전두고×100  
=(V19-V20)÷V1×100
- V97. 미간점방사경÷전두고×100=V33÷V1×100
- V98. 미간점방사경÷발제점방사경×100  
=V33÷V29×100
- V99. 미간점방사경÷전두용기점방사경×100  
=V33÷V30×100
- V100. 미간점방사경÷비하점방사경×100  
=V33÷V40×100
- V101. 미간점방사경÷상순점방사경×100  
=V33÷V41×100
- V102. 비근점방사경÷미간점방사경×100  
=V34÷V33×100
- V103. 비하점방사경÷턱하점방사경×100  
=V40÷V47×100
- V104. 비하점방사경÷턱용기점방사경×1  
=V40÷V46×100
- V105. 하악저장÷비하점방사경×100  
=V49÷V40×100
- V106. 비근폭÷비폭×100=V60÷V65×100
- V107. (동자외연간폭-동자내연각폭)÷2  
=(V61-V63)÷2
- V108. (양안미간폭-내안각간폭)÷2=(V58-V59)÷2
- V109. 전두고÷전안고×100=V1÷V2×100
- V110. 전두고÷동공점간폭×100=V1÷V62×100
- V111. 전안고÷동공점간폭×100=V2÷V62×100
- V112. 상안고÷동공점간폭×100=V81÷V62×100
- V113. 중안고÷동공점간폭×100=V82÷V62×100
- V114. 비하점고÷동공점간폭×100=V18÷V62×100
- V115. Trichron to sellione projected÷전안고×100  
=V75÷V2×100

- V116. Trichron to sellione projected ÷ 동공점간폭 × 100 = V75 ÷ V62 × 100
- V117. 중앙고 ÷ 전안고 × 100 = V82 ÷ V2 × 100
- V118. 중앙고 ÷ 동공점간폭 × 100 = V82 ÷ V62 × 100
- V119. Glabella to stomion ÷ 전안고 × 100 = V73 ÷ V2 × 100
- V120. Glabella to stomion ÷ 동공점간폭 × 100 = V73 ÷ V62 × 100
- V121. 구열점고 ÷ 전안고 × 100 = V22 ÷ V2 × 100
- V122. 구열점고 ÷ 동공점간폭 × 100 = V22 ÷ V62 × 100
- V123. 동공점고 ÷ 전안고 × 100 = V10 ÷ V2 × 100
- V124. 동공점고 ÷ 동공점간폭 × 100 = V10 ÷ V62 × 100
- V125. 안최대폭 ÷ 전두고 × 100 = V51 ÷ V1 × 100
- V126. 안최대폭 ÷ 전안고 × 100 = V51 ÷ V2 × 100
- V127. 안최대폭 ÷ 동공점간폭 × 100 = V51 ÷ V62 × 100
- V128. 전액폭 ÷ 전두고 × 100 = V53 ÷ V1 × 100
- V129. 전액폭 ÷ 전안고 × 100 = V53 ÷ V2 × 100
- V130. 전액폭 ÷ 안최대폭 × 100 = V53 ÷ V51 × 100
- V131. 전액폭 ÷ 동공점간폭 × 100 = V53 ÷ V62 × 100
- V132. 측두선간폭 ÷ 전두고 × 100 = V54 ÷ V1 × 100
- V133. 측두선간폭 ÷ 전안고 × 100 = V54 ÷ V2 × 100
- V134. 측두선간폭 ÷ 안최대폭 × 100 = V54 ÷ V51 × 100
- V135. 측두선간폭 ÷ 동공점간폭 × 100 = V54 ÷ V62 × 100
- V136. 미간초간폭 ÷ 전두고 × 100 = V56 ÷ V1 × 100
- V137. 미간초간폭 ÷ 전안고 × 100 = V56 ÷ V2 × 100
- V138. 미간초간폭 ÷ 안최대폭 × 100 = V56 ÷ V51 × 100
- V139. 미간초간폭 ÷ 동공점간폭 × 100 = V56 ÷ V62 × 100
- V140. 미간폭 ÷ 전두고 × 100 = V57 ÷ V1 × 100
- V141. 미간폭 ÷ 전안고 × 100 = V57 ÷ V2 × 100
- V142. 미간폭 ÷ 안최대폭 × 100 = V57 ÷ V51 × 100
- V143. 미간폭 ÷ 동공점간폭 × 100 = V57 ÷ V62 × 100
- V144. 양안미간폭 ÷ 전두고 × 100 = V58 ÷ V1 × 100
- V145. 양안미간폭 ÷ 전안고 × 100 = V58 ÷ V2 × 100
- V146. 양안미간폭 ÷ 안최대폭 × 100 = V58 ÷ V51 × 100
- V147. 양안미간폭 ÷ 동공점간폭 × 100 = V58 ÷ V62 × 100
- V148. 내안각간폭 ÷ 전두고 × 100 = V59 ÷ V1 × 100
- V149. 내안각간폭 ÷ 전안고 × 100 = V59 ÷ V2 × 100
- V150. 내안각간폭 ÷ 안최대폭 × 100 = V59 ÷ V51 × 100
- V151. 내안각간폭 ÷ 동공점간폭 × 100 = V59 ÷ V62 × 100
- V152. 동공점간폭 ÷ 전두고 × 100 = V62 ÷ V1 × 100
- V153. 동공점간폭 ÷ 전안고 × 100 = V62 ÷ V2 × 100
- V154. 동공점간폭 ÷ 안최대폭 × 100 = V62 ÷ V51 × 100
- V155. 비폭 ÷ 전두고 × 100 = V65 ÷ V1 × 100
- V156. 비폭 ÷ 전안고 × 100 = V65 ÷ V2 × 100
- V157. 비폭 ÷ 안최대폭 × 100 = V65 ÷ V51 × 100
- V158. 비폭 ÷ 동공점간폭 × 100 = V65 ÷ V62 × 100
- V159. 하악각간폭 ÷ 전두고 × 100 = V67 ÷ V1 × 100
- V160. 하악각간폭 ÷ 안최대폭 × 100 = V67 ÷ V51 × 100
- V161. 하악각간폭 ÷ 동공점간폭 × 100 = V67 ÷ V62 × 100
- V162. 구각간폭 ÷ 전두고 × 100 = V68 ÷ V1 × 100
- V163. 구각간폭 ÷ 전안고 × 100 = V68 ÷ V2 × 100
- V164. 구각간폭 ÷ 안최대폭 × 100 = V68 ÷ V51 × 100
- V165. 구각간폭 ÷ 동공점간폭 × 100 = V68 ÷ V62 × 100
- V166. 두최대장 ÷ 각막점방사경 × 100 = V28 ÷ V35 × 100
- V167. 발제점방사경 ÷ 안최대폭 × 100 = V29 ÷ V51 × 100
- V168. 발제점방사경 ÷ 각막점방사경 × 100 = V29 ÷ V35 × 100
- V169. 전두용기점방사경 ÷ 안최대폭 × 100 = V30 ÷ V51 × 100
- V170. 전두용기점방사경 ÷ 각막점방사경 × 100 = V30 ÷ V35 × 100

- V171. 미간점방사경 ÷ 안최대폭 × 100  
=V33 ÷ V51 × 100
- V172. 미간점방사경 ÷ 각막점방사경 × 100  
=V33 ÷ V35 × 100
- V173. 비근점방사경 ÷ 안최대폭 × 100  
=V34 ÷ V51 × 100
- V174. 비근점방사경 ÷ 각막점방사경 × 100  
=V34 ÷ V35 × 100
- V175. 비배점방사경 ÷ 안최대폭 × 100  
=V37 ÷ V51 × 100
- V176. 비배점방사경 ÷ 각막점방사경 × 100  
=V37 ÷ V35 × 100
- V177. 비첨점방사경 ÷ 안최대폭 × 100  
=V38 ÷ V51 × 100
- V178. 비첨점방사경 ÷ 각막점방사경 × 100  
=V38 ÷ V35 × 100
- V179. 비익점방사경 ÷ 안최대폭 × 100  
=V39 ÷ V51 × 100
- V180. 비익점방사경 ÷ 각막점방사경 × 100  
=V39 ÷ V35 × 100
- V181. 비하점방사경 ÷ 안최대폭 × 100  
=V40 ÷ V51 × 100
- V182. 비하점방사경 ÷ 각막점방사경 × 100  
=V40 ÷ V35 × 100
- V183. 상순점방사경 ÷ 안최대폭 × 100  
=V41 ÷ V51 × 100
- V184. 상순점방사경 ÷ 각막점방사경 × 100  
=V41 ÷ V35 × 100
- V185. 구열점방사경 ÷ 안최대폭 × 100  
=V42 ÷ V51 × 100
- V186. 구열점방사경 ÷ 각막점방사경 × 100  
=V42 ÷ V35 × 100
- V187. 구각점방사경 ÷ 안최대폭 × 100  
=V43 ÷ V51 × 100
- V188. 구각점방사경 ÷ 각막점방사경 × 100  
=V43 ÷ V35 × 100
- V189. 하순점방사경 ÷ 안최대폭 × 100  
=V44 ÷ V51 × 100
- V190. 하순점방사경 ÷ 각막점방사경 × 100  
=V44 ÷ V35 × 100
- V191. 턱순구점방사경 ÷ 안최대폭 × 100  
=V45 ÷ V51 × 100
- V192. 턱순구점방사경 ÷ 각막점방사경 × 100  
=V45 ÷ V35 × 100
- V193. 턱융기점방사경 ÷ 안최대폭 × 100  
=V46 ÷ V51 × 100
- V194. 턱융기점방사경 ÷ 각막점방사경 × 100  
=V46 ÷ V35 × 100
- V195. 턱하점방사경 ÷ 안최대폭 × 100  
=V47 ÷ V51 × 100
- V196. 턱하점방사경 ÷ 각막점방사경 × 100  
=V47 ÷ V35 × 100
- V197. 설골점방사경 ÷ 안최대폭 × 100  
=V48 ÷ V51 × 100
- V198. 설골점방사경 ÷ 각막점방사경 × 100  
=V48 ÷ V35 × 100
- V199. 하악저장 ÷ 안최대폭 × 100 = V49 ÷ V51 × 100
- V200. 하악저장 ÷ 각막점방사경 × 100  
=V49 ÷ V35 × 100

#### 4. 통계 및 분석

피검자의 體質진단 결과와 頭面部 측측 수치자료 중 체질변중 및 영상자료로서의 가치가 적절한 170예를 SPSS 5.0 통계프로그램으로 처리하였다.

### III. 결과 및 고찰

저자들은 사상체질과 얼굴형태와의 상관관계를

정량적으로 찾아보기 위하여 마틴식 계측법을 사용하여 연구대상자들의 안면에 대하여 생체계측학적 연구를 시행하여 다음과 같은 결과를 얻었다.

## 1. 각 體質集團에 따른 計測值

### 1) 高徑

고경은 얼굴에 있어서 세로의 절대길이(계측치), 혹은 얼굴 세로길이의 구성비를 알기 위하여 설정된 항목이다. 이 항목은 개인간, 민족간을 비교함으로써 얼굴이 길다든가, 짧다든가, 턱이 작다든가 하는 언어적 표현을 어느정도 수치로 나타낼 수 있다.

각 고경항목의 실측치의 체질별 비교 및 체질에 따른 남녀별 실측치를 구분하여 도표로 나타내었다.(표V1-표V27 참조) 또한 각 체질별 실측치 분석 및 구성비는 다음과 같다.

#### (1) 각 체질집단에 따른 高徑항목 실측치의 변량분석

각 체질집단의 고경항목별 평균과 표준편차, F-검증 결과를 살펴보면 다음과 같다.(表V1-27 참조)

V07. 안와상연고에서 태음인집단은  $P<0.01$ 인 수준에서 각 집단과 유의미한 차이가 있다.

V19. 비익상점고에서 태음인집단은  $P<0.01$ 인 수준에서 각 집단과 유의미한 차이가 있다.

V20. 비익하점고에서 태음인집단은  $P<0.05$ 인 수준에서 각 집단과 유의미한 차이가 있다.

V04. 오피리온고에서 태음인집단은  $P<0.1$ 인 수준에서 소양인 집단과 유의미한 차이가 있다.

V10. 동공점고에서 태음인집단은  $P<0.1$ 인 수준에서 소양인 집단과 유의미한 차이가 있다.

V11. 상안점열고에서 태음인집단은  $P<0.1$ 인 수준에서 소양인 집단과 유의미한 차이가 있다.

V20. 비하점고에서 태음인집단은  $P<0.1$ 인 수준에서 소양인 집단과 유의미한 차이가 있다.

#### (2) 각 체질집단에 따른 고경항목의 구성비

태음인, 소음인, 소양인등 3집단간 얼굴형태의 차이는 얼굴의 측정치와 구성비의 차이에 따른다고 할 수 있다. 따라서 얼굴의 주요한 고경측정치와 비를 이들 집단간 비교하여 본다.

#### 1) 전두고(Whole head height)

변수	집단 (빈도수)	측정치 (mm)	전안고비	동공점간 거리비
전두고 (V01)	태음인(75)	233.60	119.72	364.56
	소음인(39)	230.98	118.98	366.77
	소양인(56)	229.17	118.77	365.99

태음인의 전두고는 233.60mm로서 최대이며, 다음은 소음인 소양인의 순이다. 전안고에 대한 전두고의 비인 전안고비 역시 태음인이 119.72로서 최대이며, 소음인, 소양인순으로 동일하게 나타나며, 동공거리간비는 소음인>소양인>태음인의 순이다. 전안고비를 보면 태음인 체질이 가장 크게 나타나며, 소양인 체질이 가장 작은 비율로 나타나서 태음인체질은 두정점과 발제점 사이의 고경이 크며, 소양인 체질이 가장 작게 나타난다고 추정할 수 있다. (表 V109, 110 참조)

#### 2) 全顔高(Physiognomic face height)

변수	집단(빈도수)	측정치(mm)	동공점간거리비
전안고	태음인(75)	195.80	305.47
	소음인(39)	194.35	308.42
	소양인(56)	193.30	308.30

전안고의 측정치는 태음인>소음인>소양인의 순이며, 동공간거리비는 소음인>소양인>태음인 순이다. (表 V111 참조)

3) 上顔高(Trichion-glabella height)

변수	집단 (빈도수)	측정치 (mm)	전안고비	동공점간 거리비
상안고	태음인(75)	56.27	28.85	86.76
	소음인(39)	56.86	29.24	90.19
	소양인(56)	56.43	29.15	89.95

상안의 측정치는 소음인>소양인>태음인의 순이며, 전안고비 및 동공점간거리비 역시 동일한 순위로 나타난다. 따라서 안면의 상하의 고경비율에서 소음인의 상안은 얼굴 안면에서 차지하는 비율이 가장 크게 나타나며, 태음인이 가장 작게 나타난다. 그러나 태음인 집단의 경우 최소치가 타 그룹에 비하여 가장 크며 최대치는 중간에 해당되어 중앙치는 작으나 수치가 안정되어 태음인 이마의 고경이 낮은 것은 아닌 것으로 추정할 수 있다. 동공점간거리를 중심으로 상하의 길이를 비교하여 보아도 동일한 결과가 나타난다.(表V84, 112 참조)

4) 中顔高(Glabella-subnasale height)

변수	집단 (빈도수)	측정치 (mm)	전안고비	동공점간 거리비
중안고	태음인(75)	69.25	35.45	108.13
	소음인(39)	68.89	35.47	109.35
	소양인(56)	68.03	35.12	108.57

중안의 측정치는 태음인>소음인>소양인의 순이며, 전안고비는 소음인>태음인>소양인 순이며, 동공점간거리비는 소음인>소양인>태음인 순이다. 중안의 전안고비는 소음인이 크고 소양인이 가장 작으나 차이가 미약하다.(表 V85, 113 참조)

5) 下顔高(subnasale height)

변수	집단 (빈도수)	측정치 (mm)	전안고비	동공점간 거리비
하안고	태음인(75)	70.89	36.28	110.62
	소음인(39)	68.59	35.28	108.87
	소양인(56)	68.82	35.63	109.76

下顔高의 측정치는 태음인>소양인>소음인 순

이며, 전안고비 및 동공점간 거리비는 태음인>소양인>소음인의 순이다. 하안의 측정치는 태음인이 최대이며, 전안고에 대한 비율이나 동공점간거리비 역시 최대로서 태음인은 하악의 고경이 다른 체질에 비하여 발달되어 있다고 볼 수 있으며, 반면 소음인은 가장 작아서 비교가 된다.(表 V86, 114 참조)

6) Trichion-sellion高

변수	집단 (빈도수)	측정치 (mm)	전안고비	동공점간 거리비
Trichion-sellion高	태음인(75)	73.45	37.36	114.58
	소음인(39)	75.15	38.66	119.21
	소양인(56)	73.84	38.17	117.77

trichion-sellion高의 측정치는 소음인>소양인>태음인의 순이다. 전안고비 및 동공점간거리비는 소음인>소양인>태음인의 순이다. 이마에서 비근점까지의 길이로서 소음인이 측정치 및 비율에서 우위를 차지하는 반면, 태음인은 열등하게 나타난다.(表 V115, 116 참조)

7) Sellion-subnasale高

변수	집단 (빈도수)	측정치 (mm)	전안고비	동공점간 거리비
Sellion-subnasale高	태음인(75)	69.25	35.45	108.13
	소음인(39)	68.89	35.47	109.35
	소양인(56)	68.03	35.21	108.57

sellion-subnasale高의 측정치는 태음인>소음인>소양인의 순이다. 전안고비는 소음인>태음인>소양인 순이며, 동공점간거리비는 소음인>소양인>태음인 순이다. 비근점에서 비하점까지의 고경으로서 코의 길이를 나타낸다.(表V117, 118 참조)

8) Sellion-stomion高 체질별 비교

Sellion-stomion高의 측정치는 태음인>소음인>소양인 순이며, 전안고비는 태음인>소양인>소음인

변수	집단 (빈도수)	측정치 (mm)	전안고비	동공점간 거리비
Sellion- stomion高	태음인(75)	94.42	48.35	147.42
	소음인(39)	92.82	47.77	147.28
	소양인(56)	92.60	47.93	147.74

순이며, 동공점간거리비는 소양인>태음인>소음인이다. 비근점고에서 구열점고까지의 길이를 말한다.

#### 9) Stomion-gnathion高 (구열점고)

변수	집단 (빈도수)	측정치 (mm)	전안고 비	동공점간 거리비
Stomion- gnathion高	태음인(75)	45.72	23.39	71.33
	소음인(39)	44.67	22.98	70.94
	소양인(56)	44.25	22.91	70.60

Stomion-gnathion高의 측정치는 태음인>소음인>소양인 순이며, 전안고비는 태음인>소음인>소양인 순이며, 동공점간거리비는 태음인>소음인>소양인 순이다. 구열점고는 태음인이 안면의 상하비교나 좌우비교에서 우위를 차지하나 소음인은 가장 열등하다.(表 V121, 122 참조)

#### 10) papulare-gnathion高(동공점고)

변수	집단 (빈도수)	측정치 (mm)	전안고 비	동공점간 거리비
papulare- gnathion高	태음인(75)	119.59	61.23	186.63
	소음인(39)	117.83	60.64	187.05
	소양인(56)	116.56	60.34	185.89

papulare-gnathion高의 측정치는 태음인>소음인>소양인 순으로서 태음인 그룹은 소양인 그룹에 비하여 통계적 경향성이 있으며(p<0.1) 전안고비는 태음인>소음인>소양인 순이며, 동공점간거리비는 소음인>태음인>소양인 순이다. (表V123, 124 참조)

이상의 결과로 보아

① 고경항목 측정치의 최대치는 하이저점고(소양인최대), 구각점고, 턱용기점고, 윗턱결절점고(이상 소음인 최대)등을 제외한 23개항목 모두 태음

인에서 최대치를 나타낸다.

② 고경항목 측정치의 최소치는 윗턱결절점고(태음인 최소), 비근점고, 비배점고, 비첨점고, 비하점고, 비익상점고, 비익하점고, 이주점고, 이주고(이상 소음인 최소)등을 제외한 19개 항목 모두 소양인에서 최소치를 나타낸다.

③ 상안고의 측정치, 전안고비, 동공점간거리비 모두 소음인에서 가장 길게 나타나고 태음인에서 가장 짧게 나타난다.

④ Trichion-sellion고의 측정치, 전안고비, 동공점간거리비 모두 소음인에서 가장 길게 나타나고 태음인에서 가장 짧게 나타난다.

⑤ 하안고의 측정치, 전안고비, 동공점간거리비 모두 태음인에서 가장 길게 나타나고 소음인에서 가장 짧게 나타난다.

⑥ Stomion-gnathion의 측정치, 전안고비, 동공점간 거리비 모두 태음인에서 가장 길게 나타나고 소양인에서 가장 짧게 나타난다.(表 201-202 참조)

## 2) 幅徑

폭경은 정면에서 본 얼굴 가로폭으로서 이마의 넓고 좁음, 눈 사이의 넓고 좁음, 코의 넓이, 턱의 넓이 등에 대하여 계측치, 구성비등 정량적 자료를 얻기 위하여 설정하였다.

각 폭경항목의 전체 및 남녀별 평균을 구분 변량분석하여 도표로 나타내었다(表V51-表V69참조). 또한 각 체질별 실측치의 변량분석 및 구성비는 다음과 같다.

### (1) 각 체질집단에 따른 幅徑항목 실측치의 변량분석

각 체질집단의 폭경항목별 평균과 표준편차, F-검증결과를 살펴보면 다음과 같다.(表 V51-表 V69 참조)

V51. 안최대폭에서 太陰人집단은  $P<0.001$ 인 수준에서 각 집단과 유의미한 차이가 있다.

V52. 권골간폭에서 太陰人집단은  $P<0.001$ 인 수준에서 각 집단과 유의미한 차이가 있다.

V58. 양안미간폭에서 太陰人집단은  $P<0.05$ 인 수준에서 少陽人집단과 유의미한 차이가 있다.

V65. 비폭에서 太陰人집단은  $P<0.1$ 인 수준에서 少陰人집단과 유의미한 차이가 있다.

V67. 하악각간폭에서 太陰人집단은  $P<0.01$ 인 수준에서 각 집단과 유의미한 차이가 있다.

(2) 각체질집단에 따른 폭경향목의 구성비

태음인, 소음인, 소양인등 3집단간 얼굴의 주요한 폭경측정치와 구성비를 비교하여 보면 다음과 같다.

1) 顔最大幅

변수	집단 (빈도수)	측정치 (mm)	전두 고비	전안 고비	동공점간 거리비
안최대폭	태음인(75)	151.59	65.02	77.76	236.30
	소음인(39)	145.94	63.36	75.30	231.28
	소양인(56)	146.09	63.89	75.77	232.63

안최대폭의 측정치는 태음인>소양인>소음인의 순으로서 태음인 그룹은 소양인이나 소음인 그룹과 비교에서 통계적 유의성이 있으며( $p<0.001$ ), 전두고비, 전안고비 및 동공점간 거리비는 태음인>소양인>소음인 순이다. 안최대폭은 중앙에 위치하는 가장 큰 폭경치이다. 고경과의 비교 및 폭경과의 비교에서 태음인은 모두 우세하며, 소음인은 가장 열세에 있다.(表V125-127 참조)

2) 前額幅

전액폭의 측정치는 태음인>소음인>소양인의 순이며, 전안고비나 전두고비 모두 동일한 순이며, 안최대폭이나 동공점간거리비는 소음인>소양인>태

변수	집단 (빈도수)	측정치 (mm)	전두 고비	전안 고비	안최대 폭비	동공점간 거리비
전액폭	태음인 (75)	123.00	52.73	63.04	81.23	191.55
	소음인 (39)	122.22	53.02	62.96	83.81	193.42
	소양인 (56)	120.99	52.88	62.73	82.83	192.55

음인의 순이다. 안최대폭에 대한 전액폭의 비는 소음인 그룹이 태음인 그룹에 비하여 통계적 유의성( $P<0.05$ )이 나타났다. 전액폭은 상안에 위치하는 폭으로서 고경과의 비교인 전두고 전안고와의 비교시 태음인이 가장 크게 나타나서 이마가 넓게 보이고, 소양인이 가장 작아 이마의 폭이 가장 좁게 나타난다. 그러나 안최대폭이나 동공점간거리비에서는 소음인이 가장 크고 태음인이 가장 작아서 태음인의 이마폭은 타체질과의 비교시 가장 좁은비율로 나타나며, 소음인체질에서 가장 크게 나타난다.(表 V128-131 참조)

3) 側頭線間幅

변수	집단 (빈도수)	측정치 (mm)	전두 고비	전안 고비	안최대 폭비	동공점간 거리비
측두선 간폭	태음인 (75)	104.06	44.63	53.35	68.77	161.94
	소음인 (39)	101.48	44.12	52.40	69.64	160.77
	소양인 (56)	102.31	44.73	53.06	70.05	162.76

측두선간폭의 측정치는 태음인>소양인>소음인의 순이며, 전안고비 역시 동일한 순이나, 동공점간거리비, 전두고비는 소양인>태음인>소음인의 순이며, 안최대폭비는 소양인>소음인>태음인의 순이다.(表V132-135 참조)

4) 兩尾梢間幅

양미초간폭의 측정치는 태음인>소음인>소양인

변수	집단 (빈도수)	측정치 (mm)	전두 고비	전안 고비	안최대 폭비	동공점간 거리비
양 미 초 간 폭	태음인 (75)	115.79	49.64	59.42	76.54	180.35
	소음인 (39)	114.88	49.89	59.27	78.89	181.99
	소양인 (56)	114.81	50.18	59.54	78.56	182.70

순이며, 전두고비와 동공점간거리비는 소양인>소음인>태음인 순이며, 전안고비는 소양인>태음인>소음인 순이며, 안최대폭비는 소음인>소양인>태음인의 순이다. 안최대폭에 대한 양미초간폭의 비는 소양인과 소음인, 태음인과 소음인과의 비교에서 통계적 유의성(P<0.05)이 나타난다. (表 V136-139 참조)

#### 5) 眉間幅

변수	집단 (빈도수)	측정치 (mm)	전두 고비	전안 고비	안최대 폭비	동공점간 거리비
미간폭	태음인 (75)	30.91	13.26	15.84	20.43	48.15
	소음인 (39)	29.13	12.66	15.03	19.93	46.02
	소양인 (56)	29.27	12.79	15.17	20.02	46.46

미간폭의 측정치는 태음인>소양인>소음인의 순이며, 전두고비, 전안고비, 안최대폭비, 동공점간거리비 모두 동일한 순이다. 미간폭의 가로 및 세로의 비교치 및 측정치는 태음인이 가장 넓으며, 소음인이 가장 좁다.(表 V140-143 참조)

#### 6) 兩眼尾間幅

양안미간폭의 측정치는 태음인>소음인>소양인의 순이며, 전안고비 역시 동일 순위이다. 전두고비 및 동공점간거리비는 소음인>태음인>소양인의 순이다. 안최대폭비는 소음인>소양인>태음인 순이다. 안최대폭에 대한 양안미간폭은 소음인 그룹

변수	집단 (빈도수)	측정치 (mm)	전두 고비	전안 고비	안최대 폭비	동공점간 거리비
양 안 미 간 폭	태음인 (75)	95.82	41.07	49.17	63.29	149.20
	소음인 (39)	95.25	41.37	49.14	65.40	150.96
	소양인 (56)	92.74	40.55	48.10	63.50	147.57

이 태음인 및 소양인 그룹에 비하여 통계적 유의성(P<0.01)이 인정되며, 동공범간폭의 양안미간폭에 대한 비교에서 소음인 그룹은 소양인 그룹에 비하여 통계적 유의성(p<0.05)이 나타난다. (表 V144-147 참조)

#### 7) 內眼角間幅

변수	집단 (빈도수)	측정치 (mm)	전두 고비	전안 고비	안최대 폭비	동공점간 거리비
내안 각 간 폭	태음인 (75)	35.64	15.30	18.29	23.54	55.51
	소음인 (39)	34.46	14.94	17.78	23.63	54.55
	소양인 (56)	35.09	15.35	18.20	24.02	55.79

내안각간폭의 측정치는 태음인>소양인>소음인의 순으로서 태음인 그룹은 소양인 그룹에 비하여 통계적 유의성이 있으며(p<0.01) 전두고비 및 동공점간거리비는 소양인>태음인>소음인의 순이며, 전안고비는 태음인>소양인>소음인의 순이며, 안최대폭비는 소양인>소음인>태음인의 순이다.(表 V148-151 참조)

#### 8) 瞳孔點間距離

동공점간거리의 측정치는 태음인>소음인>소양인의 순이며, 전두고비와 전안고비는 태음인>소양인>소음인의 순이며, 안최대폭비는 소음인>소양인>태음인의 순이다. 안최대폭에 대한 동공점간거리비는 소음인 그룹이 태음인 그룹에 대하여 통

변수	집단 (빈도수)	측정치 (mm)	전두고 비	전안고 비	안최대폭 비
동공점 간거 리	태음인 (75)	64.28	27.56	32.96	42.45
	소음인 (39)	63.18	27.43	32.58	43.35
	소양인 (56)	62.89	27.50	32.62	43.05

계적 유의성(p<0.1)이 나타난다.(表 V152-154 참조)

### 9) 鼻幅

변수	집단 (빈도수)	측정치 (mm)	전두 고비	전안 고비	안최대 폭비	동공점간 거리비
비폭	태음인 (75)	41.71	17.89	21.39	27.55	64.96
	소음인 (39)	40.07	17.39	20.63	27.48	63.39
	소양인 (56)	40.73	17.79	21.10	27.86	64.79

비폭의 측정치는 태음인>소양인>소음인의 순으로서 태음인 그룹은 소음인 그룹과 비교시 통계적 유의성이 나타나며(p<0.1) 전두고비 및 전안고비와 동공점간거리비 모두 동일한 순이며, 안최대폭비는 소양인>태음인>소음인의 순이다. 따라서 비폭 측정치는 태음인이 가장 넓고, 소음인이 가장 좁게 보일 것이다.(表V155-158 참조)

### 10) 下顎角間幅

변수	집단 (빈도수)	측정치 (mm)	전두 고비	안최대 폭비	동공점간 거리비
하악각 간폭	태음인 (75)	126.10	54.09	83.35	196.66
	소음인 (39)	121.46	52.73	83.42	192.62
	소양인 (56)	121.97	53.31	83.51	194.31

하악각간폭의 측정치는 태음인>소양인>소음인의 순으로서 태음인 그룹은 소음인이나 소양인 그

룹에 비하여 통계적 유의성이 인정되며(p<0.01) 전두고비 및 동공점간거리비는 태음인>소양인>소음인의 순이며, 안최대폭비는 소양인>소음인>태음인의 순이다. 하악각간폭은 하안의 최대폭에 해당되는데 안최대폭에 대한 비에서 소양인이 최대이며, 태음인이 최소이다.(表V159-161 참조)

### 11) 口角間幅

변수	집단 (빈도수)	측정치 (mm)	전두 고비	전안 고비	안최대 폭비	동공점 거리비
구각 간폭	태음인 (75)	50.64	21.71	25.93	33.44	78.83
	소음인 (39)	50.19	21.78	25.85	34.43	79.47
	소양인 (56)	50.14	21.94	26.01	34.33	79.82

구각간폭의 측정치는 태음인>소음인>소양인의 순이다. 전두고비 및 동공점간거리비는 소양인>소음인>태음인의 순이며, 전안고비는 소양인>태음인>소음인의 순이다. 안최대폭비는 소음인>소양인>태음인의 순이다. 입의 폭을 말하는데 전두고비나 전안고비 및 동공점간거리비는 모두 소양인이 최대이며, 태음인이 최소이다. 그러나 안최대폭비는 소음인이 최대이며 태음인이 최소이다.(表 V162-165 참조)

이상의 결과를 보면

① 폭경향목 측정치의 최대치는 인중폭(소양인), 턱결점간폭(소음인)을 제외한 17개 항목 모두 태음인에서 최대치를 나타낸다.

② 폭경향목 측정치의 최소치는 안최대폭, 권골간폭, 측두선간폭, 미간폭, 내안각간폭, 비근폭, 협융기간폭, 비폭, 인중폭, 하악각간폭은 소음인에서 최소치를 전액폭, 전두융기간폭, 미초간폭, 양안미간폭, 동자외연각간폭, 동공점간폭, 동자내연각간폭, 구각간폭, 턱결점간폭등은 소양인에서 최소치

를 나타낸다.

③ 안최대폭, 측두선간폭, 미간폭, 비폭, 하악간 거리등 항목은 전두고비, 전안고비등 고경과의 비교에서 태음인은 각 체질에 비하여, 고경에 비하여 폭경치가 넓게 나타내어진다.

④ 안최대폭, 측두선간폭, 미간폭, 비폭, 하악간 거리등 항목은 전두고비, 전안고비등 고경과의 비교에서 소음인은 각 체질에 비하여 고경에 비하여 폭경치가 좁게 나타내어진다.

⑤ 양안미간폭은 전두고비, 전안고비등 고경과의 비교에서 소양인은 각체질에 비하여 고경에 비하여 폭경치가 짧음을 나타낸다.

⑥ 안최대폭, 미간폭은 안최대폭비, 동공점간거리비등 폭경과의 비교에서 태음인이 최대이며, 소음인이 최소로 나타난다. 전액폭, 동공점간거리는 안최대폭비, 동공점간거리비등 폭경과의 비교에서 소음인이 최대이며, 태음인이 최소로 나타난다.(表 V.205-206 참조)

### 3) 방사경

방사경은 고경, 폭경과 더불어 얼굴의 측면구조의 입체적 비교를 위하여 설정되었다. 각 방사경 항목의 전체 평균 및 남녀별 평균을 구분하여 도표로 나타내었다.(表V28-表V50참조) 또한 각 항목의 체질별 실측치의 변량분석 및 안최대폭과 각 막점방사경과 비교하였다.

#### (1) 각 체질집단에 따른 放射徑項目 실측치의 변량분석

각 체질집단의 방사경항목별 평균과 표준편차, F-검증결과는 다음과 같다.(表V28-表V50참조)

V29. 발제점放射徑에서 太陰人집단은  $P<0.1$ 인 수준에서 少陽人 집단과 유의미한 차이가 있다.

V30. 전두유기점放射徑에서 太陰人집단은  $P<0.05$ 인 수준에서 각 집단과 유의미한 차이가 있다.

V31. 오필리온放射徑에서 太陰人집단은  $P<0.1$ 인 수준에서 소음인 집단과 유의미한 차이가 있다.

V34. 비근점放射徑에서 太陰人집단은  $P<0.1$ 인 수준에서 少陰人 집단과 유의미한 차이가 있다.

V37. 비배점放射徑에서 太陰人집단은  $P<0.1$ 인 수준에서 少陰人 집단과 유의미한 차이가 있다.

V39. 비익점放射徑에서 太陰人집단은  $P<0.05$ 인 수준에서 각 집단과 유의미한 차이가 있다.

V41. 상순점放射徑에서 太陰人집단은  $P<0.05$ 인 수준에서 소양인 집단과 유의미한 차이가 있다.

V42. 구열점放射徑에서 太陰人집단은  $P<0.1$ 인 수준에서 少陰人집단과 유의미한 차이가 있다.

V44. 하순점放射徑에서 太陰人집단은  $P<0.1$ 인 수준에서 少陰人집단과 유의미한 차이가 있다.

V46. 턱융기점放射徑에서 太陰人집단은  $P<0.1$ 인 수준에서 少陰人집단과 유의미한 차이가 있다.

V47. 윗턱결절점放射徑에서 太陰人집단은  $P<0.05$ 인 수준에서 少陰人집단과 유의미한 차이가 있다.

V48. 턱하점放射徑에서 太陰人집단은  $P<0.001$ 인 수준에서 소음인 집단과 유의미한 차이가 있고, 소양인집단은  $P<0.001$ 인 수준에서 소음인 집단과 유의미한 차이가 있다.

V49. 설골점放射徑에서 太陰人집단은  $P<0.001$ 인 수준에서 각 집단과 유의미한 차이가 있다.

V50. 하악저장에서 太陰人집단은  $P<0.05$ 인 수준에서 각 집단과 유의미한 차이가 있다.

(2) 각 체질집단에 따른 방사경항목의 구성비 태음인, 소음인, 소양인등 각 체질집단간 얼굴 형태의 차이는 얼굴의 측정치와 구성비의 차이에 따른다고 할 수 있다. 따라서 얼굴의 주요한 방사경측정치와 비를 이들 집단간 비교하여 본다.

1) 頭最大長

변수	집단(빈도수)	측정치(mm)	각막점방사경비
두최대장	태음인(75)	184.62	194.83
	소음인(39)	182.96	197.06
	소양인(56)	183.82	198.28

두최대장은 태음인이 184.62mm이며, 소양인이 183.82mm이며, 소음인은 183.82mm로서 태음인>소양인>소음인의 순으로 나타난다. 따라서 측면에서 볼 때 태음인은 안의 전후가 장한 것이 특징이며 소음인은 비교적 전후로 短하다. 그러나 각막점방사경비는 소양인>소음인>태음인의 순으로 나타나서 비율적으로 볼 때 소양인이 전후로 長하게 보이며, 태음인이 가장 短하게 보인다. (表V166 참조)

2) 髮際點放射徑(trichion방사경)

변수	집단(빈도수)	측정치(mm)	안최대폭비	각막점방사경비
발제점방사경	태음인(75)	132.64	87.71	139.79
	소음인(39)	129.82	89.23	139.71
	소양인(56)	130.04	89.20	140.13

발제점방사경의 측정치는 태음인이 132.64mm, 소양인은 130.04mm이며, 소음인은 129.82mm로서 태음인은 소양인 그룹에 비하여 통계적 유의성이 나타나며(p<0.1) 안최대폭비는 소음인>소양인>태음인의 순이다. 각막방사경비는 소양인>태음인>소음인의 순으로서 측면 윤곽선중 이마의 상부인 발제점은 각막점방사경과 비교시 각 체질중 소양인이 가장 突出하였으며, 소음인이 最小이다. (表V167-168 참조)

3) 前頭隆起點放射徑

전두용기점방사경은 이마의 측면 윤곽선의 전면 突出성향을 나타내는데 측정치는 태음인이 126.27mm, 소양인은 123.19mm이며, 소음인은 123.02mm이며, 태음인 그룹은 소양인이나 소음인

변수	집단(빈도수)	측정치(mm)	안최대폭비	각막점방사경비
전두용기점방사경	태음인(75)	126.27	83.51	133.05
	소음인(39)	123.02	84.56	132.36
	소양인(56)	123.19	84.48	132.71

그룹에 비하여 통계적 유의성(p<0.05)이 나타나며, 안최대폭비는 소음인>소양인>태음인의 순이며, 각막점방사경비는 태음인>소양인>소음인의 순이다. (表V169-170 참조)

4) 眉間點放射徑

변수	집단(빈도수)	측정치(mm)	안최대폭비	각막점방사경비
미간점방사경	태음인(75)	112.29	74.26	118.24
	소음인(39)	109.72	75.43	118.00
	소양인(56)	110.27	75.61	118.72

미간부의 突出도는 측안면 윤곽선에서 이마의 경사도, 눈의 깊이와 상대적 영향이 있다. 미간점방사경의 측정치는 태음인은 112.29mm, 소양인은 110.27mm이며, 소음인은 109.72mm이다. 안최대폭비는 소양인>소음인>태음인의 순이다. 각막점방사경비는 소양인>태음인>소음인의 순으로서 이는 상대적으로 소양인의 미간부가 최대 突出하였고 소음인의 미간이 最小 突出되어 있음을 표시한다. (表V171-172 참조)

5) 鼻根點放射徑

변수	집단(빈도수)	측정치(mm)	안최대폭비	각막점방사경비
비근점방사경	태음인(75)	102.39	67.70	107.80
	소음인(39)	99.54	68.43	107.02
	소양인(56)	100.76	69.08	108.47

비근점방사경의 측정치는 태음인은 102.39mm이며, 소양인은 100.76mm이며, 소음인은 99.54mm이며, 태음인그룹은 소음인 그룹과 비교시 통계적 유의성이(P<0.1) 나타난다. 안최대폭비는 소양인>소음인>태음인의 순이다. 각막점방사경비는 소양인>태음인>소음인의 순으로서 눈의 突出도와 비

교를 나타내는 것으로서 소양인 집단(빈도수)은 비근의 둘  
출이 각 체질에 비하여 최대이며, 소음인 체질이  
최소이다.(表V173-174 참조)

6) 鼻背點放射徑

변수	집단(빈도수)	측정치 (mm)	안최대폭비	각막점 방사경비
비배점 방사경	태음인(75)	107.47	71.08	113.19
	소음인(39)	104.72	71.97	112.66
	소양인(56)	105.98	72.68	114.14

비배점방사경의 측정치는 태음인은 107.47mm,  
소양인은 105.98mm이며, 소음인은 104.72mm이며,  
태음인 그룹은 소음인 그룹과 비교시 통계적 유의  
성이(p<0.1)이 나타난다. 안최대폭비는 소양인>소  
음인>태음인의 순이다. 각막점방사경의비는 소양  
인>태음인>소음인의 순으로서 소양인의 측안면  
윤곽선은 소음인 태음인에 비하여 비근부, 미간부  
가 모두 돌출되어 있다고 인식되며 소음인은 가장  
낮다고 볼 수 있다.(表V175-176 참조)

7) 鼻尖點放射徑

변수	집단(빈도수)	측정치 (mm)	안최대폭비	각막점 방사경비
비첨점 방사경	태음인(75)	117.14	77.47	123.34
	소음인(39)	115.92	79.71	124.68
	소양인(56)	116.59	79.95	125.60

비첨점방사경은 태음인은 117.14mm, 소양인은  
116.59mm, 소음인은 115.92mm이다. 안최대폭비는  
소양인>소음인>태음인의 순이다. 각막점방사경의  
비는 소양인>소음인>태음인의 순으로서 소양인은  
비근 비배 비첨을 연결하는 경사가 각 체질에 비  
하여 최대이다. 이는 코가 높은 것으로서 즉 심하  
고 大한 것을 뜻한다. 그러나 소음인은 최소이다.  
안최대폭에 대한 비첨점방사경비는 통계적 유의성  
(p<0.05)이 나타나며(소양인>태음인), 각막점방사  
경에 대한 비첨점방사경의 비는 통계적 유의성

(p<0.1)이 나타난다(소양인>태음인).(表V177-178  
참조)

8) 鼻翼點放射徑

변수	집단(빈도수)	측정치 (mm)	안최대폭비	각막점 방사경비
비익점 방사경	태음인(75)	95.80	63.38	100.97
	소음인(39)	92.29	63.48	99.30
	소양인(56)	93.20	63.91	100.40

비익점방사경의 측정치는 태음인은 95.80mm,  
소양인은 93.20mm, 소음인은 92.29mm이며, 태음  
인 그룹은 소양인 및 소음인 그룹과 비교시 통계  
적 유의성(P<0.01)이 나타나며, 안최대폭비는 소  
양인>소음인>태음인의 순이다. 각막점방사경비는  
태음인>소양인>소음인의 순이다.(表V179-180 참  
조)

9) 鼻下點放射徑

변수	집단(빈도수)	측정치 (mm)	안최대폭비	각막점 방사경비
비하점 방사경	태음인(75)	105.19	69.59	110.84
	소음인(39)	103.58	71.25	111.36
	소양인(56)	104.04	71.35	112.09

비하점방사경의 측정치는 태음인은 105.19mm,  
소양인은 104.04mm, 소음인은 103.58mm이며, 안  
최대폭비 및 각막점방사경비는 소양인>소음인>태  
음인순이다. 따라서 상악골부의 前突 경향은 상대  
적으로 소양인이 최대이며, 태음인이 최소이다.(表  
V181-182 참조)

10) 上脣點放射徑

변수	집단(빈도수)	측정치 (mm)	안최대폭비	각막점 방사경비
상순점 방사경	태음인(75)	114.56	75.78	120.74
	소음인(39)	111.35	76.60	119.78
	소양인(56)	112.88	77.42	121.62

상순점방사경의 측정치는 태음인은 114.56mm,

소양인은 112.88mm, 소음인은 111.35mm이며, 태음인 그룹은 소음인 그룹과 비교시 통계적 유의성 ( $p < 0.05$ )이 나타난다. 안최대폭비는 소양인>소음인>태음인의 순이며, 각막점방사경비는 소양인>태음인>소음인의 순이다. 따라서 소양인의 상순부의 측면 윤곽선은 각 체질에 비하여 최돌출하여 있다고 볼 수 있다.(表V183-184 참조)

### 11) 口裂點放射徑

변수	집단(빈도수)	측정치(mm)	안최대폭비	각막점방사경비
구열점방사경	태음인(75)	113.20	74.87	119.31
	소음인(39)	110.21	75.82	118.57
	소양인(56)	111.90	76.72	120.60

구열점방사경의 측정치는 태음인은 113.20mm, 소양인은 111.90mm, 소음인은 110.21mm이며, 태음인 그룹은 소음인 그룹과 비교시 통계적 유의성 ( $P < 0.1$ )이 나타난다. 안최대폭비는 소양인>소음인>태음인의 순이며, 각막점방사경비는 소양인>태음인>소음인의 순으로서 소양인의 체질의 구열점은 가장 돌출되어 있으며, 소음인이 최소돌출되어 있다고 볼 수 있다.(表V185-186 참조)

### 12) 口角點放射徑(Chelion)

변수	집단(빈도수)	측정치(mm)	안최대폭비	각막점방사경비
하순점방사경	태음인(75)	103.08	68.19	108.68
	소음인(39)	100.69	69.28	108.35
	소양인(56)	101.01	69.26	108.87

구각점방사경의 측정치는 태음인은 103.08mm, 소양인은 101.01mm, 소음인은 100.69mm이다. 안최대폭비는 소음인>소양인>태음인의 순이며, 각막점방사경비는 소양인>태음인>소음인의 순이다.(表V187-188 참조)

### 13) 下脣點放射徑

변수	집단(빈도수)	측정치(mm)	안최대폭비	각막점방사경비
하순점방사경	태음인(75)	119.19	79.84	125.64
	소음인(39)	116.11	79.90	124.96
	소양인(56)	117.53	80.58	126.68

하순점방사경의 측정치는 태음인은 119.19mm, 소양인은 117.53mm, 소음인은 116.11mm이며, 태음인 그룹은 소음인 그룹과의 비교에서 통계적 유의성이 ( $P < 0.1$ ) 나타난다. 안최대폭비는 소양인>소음인>태음인 순이며, 각막점방사경비는 소양인>태음인>소음인의 순이다. 따라서 소양인은 각체질에 비하여 하악부도 돌출되어 있음을 볼 수 있다.(表V189-190 참조)

### 14) 턱순구점방사경

변수	집단(빈도수)	측정치(mm)	안최대폭비	각막점방사경비
턱순구점방사경	태음인(75)	116.96	77.39	123.32
	소음인(39)	114.32	78.63	123.02
	소양인(56)	115.34	79.09	124.32

턱순구점방사경의 측정치는 태음인은 116.96mm, 소양인은 115.34mm, 소음인은 114.32mm이며, 안최대폭비는 소양인>소음인>태음인의 순이며, 각막점방사경비는 소양인>태음인>소음인의 순이다. 따라서 소양인체질은 태음인체질이나 소음인체질에 비하여 전돌의 경향성이 나타난다.(表V191-192 참조)

### 15) 턱융기점방사경

변수	집단(빈도수)	측정치(mm)	안최대폭비	각막점방사경비
턱융기점방사경	태음인(75)	124.04	82.08	130.77
	소음인(39)	120.91	83.17	130.14
	소양인(56)	121.92	83.57	131.44

턱융기점방사경의 측정치는 태음인은 124.04mm, 소양인은 121.92mm, 소음인은 120.91mm이며 태음인 그룹은 소음인 그룹과의 비교에서 통계

적 유의성( $P<0.1$ )이 나타난다. 안최대폭비는 소양인>소음인>태음인의 순이며, 각막점방사경비는 소양인>태음인>소음인의 순이다. 따라서 소양인 체질은 각 체질에 비하여 하악의 들출경향성이 나타나며, 소음인은 퇴축의 경향성이 나타난다.(表 V193-194 참조)

16) 턱하점방사경

변수	집단(빈도수)	측정치(mm)	안최대폭비	각막점방사경비
턱하점방사경	태음인(75)	125.43	83.02	132.26
	소음인(39)	121.32	83.46	130.60
	소양인(56)	123.06	84.35	132.68

턱하점방사경의 측정치는 태음인은 125.43mm, 소양인은 123.06, 소음인은 121.32mm이며, 태음인 그룹은 소음인 그룹과의 비교에서 통계적 유의성( $P<0.05$ )이 나타난다. 안최대폭비는 소양인>소음인>태음인의 순이며, 각막점방사경비는 소양인>태음인>소음인의 순이다.(表V195-196 참조)

17) 舌骨點放射徑

변수	집단(빈도수)	측정치(mm)	안최대폭비	각막점방사경비
설골점방사경	태음인(75)	118.00	78.06	124.53
	소음인(39)	110.23	75.81	118.72
	소양인(56)	115.65	79.29	124.78

설골점방사경의 측정치는 태음인은 118.00mm, 소양인은 115.65mm, 소음인은 110.23mm이며, 태음인과 소음인, 소양인과 소음인의 비교에서 통계적 유의성( $P<0.001$ )이 나타난다. 안최대폭비 및 각막점방사경비는 소양인>태음인>소음인의 순이다. 소양인집단과 소음인집단의 비교에서 안최대폭에 대한 설골점방사경의 비는 통계적 유의성( $p<0.1$ )이 나타나며, 또한 태음인집단과 소음인집단 및 소양인과 소음인집단의 비교에서 안최대폭에 대한 각막점방사경비는 통계적 유의성( $p<0.001$ )

이 나타난다.(表V197-198 참조)

18) 下顎底長

변수	집단(빈도수)	측정치(mm)	안최대폭비	각막점방사경비
하악저장	태음인(75)	44.39	29.47	46.92
	소음인(39)	35.80	24.62	38.50
	소양인(56)	36.15	24.79	39.13

하악저장의 측정치는 태음인은 44.39mm, 소음인은 35.48mm, 소음인은 35.80mm이며, 태음인 그룹은 소음인 및 소양인 그룹과 비교에서 통계적 유의성( $P<0.001$ )이 나타난다. 안최대폭비 및 각막점방사경비는 태음인>소양인>소음인의 순이다. 안최대폭 및 각막점방사경에 대한 설골점방사경의 비의 비교에서 태음인 그룹은 소음인 및 소양인 그룹과 비교에서 통계적 유의성( $P<0.001$ )이 나타난다.(表V199-200 참조)

이상의 결과를 통하여 방사경측정치 및 구성비의 체질별 특성은

① 방사경항목 측정치의 최대치는 23개 항목 모두 태음인에서 최대치를 나타낸다.

② 방사경항목 측정치의 최소치는 각막점방사경, 하악저장(모두 소양인 최소)을 제외한 21개 항목 모두 소음인에서 최소치를 나타낸다.

③ 각각의 방사경항목과 안최대폭과의 비교에서 태음인은 각체질에 비하여 두면부의 정면은 넓고, 측면이 짧음을 나타내었다.

④ 각각의 방사경항목과 안최대폭과의 비교에서 소양인은 각체질에 비하여 두면부의 정면은 좁고, 측면이 길음을 나타내었다.(정면은 좁고 길게 보이며, 앞뒤로 들출된 쌍구형의 경향)

⑤ 각각의 방사경항목과 각막점방사경비와의 비교에서 소양인은 각체질에 비하여 각막점을 중심으로 전면으로 가장 들출된 경향성을 나타내나,

전두용기점 및 비익점방사경은 태음인에서 가장 돌출되어 있다.

⑥ 각각의 방사경항목과 각막점방사경비와의 비교에서 소음인은 각체질에 비하여 각막점을 중심으로 전면에서 가장 퇴축된 경향성을 나타내나, 두췌대장,비첨점방사경,비하점방사경은 태음인에서 가장 퇴축된 경향성이 나타난다.(이상 表V204-205 참조)

#### 4) 면적

각 체질집단간 눈, 코, 입 및 상중하안의 면적을 비교하여 본다. 이때 사용한 측정치는 각 항목의 체질별 평균치를 사용하였다.

##### (1) 눈

눈의 넓이는 안폭경(=외안각간폭-내안각간폭)×안고경(=상안검열고-하안검열고)의 공식에 의하여 도출하였으며, 이 경우 직사각형의 넓이에 해당되어 실측넓이와는 다소 거리가 있으나 집단간의 비율비교에 해당되므로 보정상수로 교정하지 않기로 하였다. 결과를 보면 눈의 넓이는 소음인이 가장 넓어서 가장 크게 보일 것이며, 태음인이 가장 적어서 가장 적게 보일 것이다. 더구나 중안의 면적이 가장 큰 태음인은 더욱 눈이 작게 보이 것이며, 중안의 면적이 가장 좁은 소음인의 눈은 더욱 크게 보일 것이다.

변수	집단(빈도수)	眼幅(mm)	眼高徑(mm)	眼 넓이(mm <sup>2</sup> )	중안 면적비
눈의 면적	태음인(75)	60.18	8.02	482.64	5.1%
	소음인(39)	60.79	8.68	527.65	5.9%
	소양인(56)	57.65	8.53	491.75	5.4%

##### (2) 코

코의 넓이는 (비폭+비근폭)×0.5×비고경(=비근점-비하점)의 공식에 의하여 도출하였으며, 이 경

우 사다리꼴의 넓이에 해당되어 실측넓이와는 다소 거리가 있으나 집단간의 비율비교에 해당되므로 보정상수로 교정하지 않기로 하였다. 결과를 보면 비의 절대넓이는 태음인이 가장 넓고 소음인이 가장 좁다. 중안면적비는 태음인이 최대이나 소음인이 미소한 차로 좁게 보인다.

변수	집단(빈도수)	(비폭+비근폭)×0.5	비고경(mm)	비넓이(mm <sup>2</sup> )	중안 면적비
코의 면적	태음인(75)	32.51	40.42	1313.65	13.79%
	소음인(39)	31.23	39.44	1231.71	13.66%
	소양인(56)	31.77	39.29	1248.24	13.76%

##### (3) 비익부

비익부 넓이는 비폭×비익고경(=비익상점고-비익하점고)의 공식에 의하여 도출하였으며, 이 경우 실측넓이와는 다소 거리가 있으나 집단간의 비율비교에 해당되므로 보정상수로 교정하지 않기로 하였다. 비익의 넓이는 태음인이 가장 넓고, 소음인이 가장 좁다. 그러나 중안과의 비율로 보면 소양인이 가장 많은 넓이를 차지하고 소음인이 가장 좁게 차지한다.

변수	집단(빈도수)	비폭	비익고경(mm)	비익넓이(mm <sup>2</sup> )	중안 면적비
비익 면적	태음인(75)	40.71	17.22	701.02	7.36%
	소음인(39)	40.07	15.63	626.29	6.95%
	소양인(56)	40.73	16.85	686.30	7.57%

##### (4) 입

입의 넓이는 입술의 넓이 비교로서 구각간폭×구고경(=상순점고-하순점고)의 공식에 의하여 도출하였으며, 이 경우 실측넓이와는 다소 거리가 있으나 집단간의 비율비교에 해당되므로 보정상수로 교정하지 않기로 하였다. 입술의 넓이는 소음인이 태음인에 비하여 근소한 차로 넓으며, 소양인이 가장 좁다. 그러나 하안의 면적비로 비교하면

소음인의 입이 가장 넓게 차지하며, 소양인이 좁게 나타난다.

변수	집단(빈도수)	구각간폭	구고경 (mm)	입술넓이 (mm)	하안면 적비
입술면적	태음인(75)	50.64	18.80	952.03	10.65%
	소음인(39)	50.19	18.97	952.10	11.43%
	소양인(56)	50.14	17.33	868.92	10.35%

(5) 上顔

상안의 넓이는 전액폭×상안고(=전안고-미간점고)의 공식에 의하여 도출하였으며, 이 경우 실측넓이와는 다소 거리가 있으나 집단간의 비율비교에 해당되므로 보정상수로 교정하지 않기로 하였다. 상안의 면적은 소음인이 최대이며, 소양인이 최소이다.

변수	집단(빈도수)	전액폭	상안고 (mm)	상안 넓이 (mm <sup>2</sup> )
상안면적	태음인(75)	123.00	56.27	6,921.21
	소음인(39)	122.22	56.86	6,949.42
	소양인(56)	120.99	56.43	6,827.46

(6) 正面上顔

정면상안의 넓이는 측두선간폭×상안고(=전안고-미간점고)의 공식에 의하여 도출하였으며, 이 경우 실측넓이와는 다소 거리가 있으나 집단간의 비율비교에 해당되므로 보정상수로 교정하지 않기로 하였다. 정면상안은 태음인이 최대이며 소음인이 최소이다.

변수	집단(빈도수)	측두선간폭	상안고 (mm)	상안넓이 (mm <sup>2</sup> )
정면상안면적	태음인(75)	104.06	56.27	5,855.45
	소음인(39)	101.48	56.86	5,770.15
	소양인(56)	102.31	56.43	5,773.35

(7) 中顔

중안의 넓이는 권골간폭×중안고(=미간점고-비하점고)의 공식에 의하여 도출하였으며, 이 경우

실측넓이와는 다소 거리가 있으나 집단간의 비율비교에 해당되므로 보정상수로 교정하지 않기로 하였다. 중안의 넓이는 태음인이 가장 넓으며 소음인이 가장 좁다.

변수	집단(빈도수)	권골간폭	중안고 (mm)	중안 넓이 (mm <sup>2</sup> )
중안면적	태음인(75)	137.57	69.25	9,526.72
	소음인(39)	130.85	68.89	9,014.25
	소양인(56)	133.31	68.03	9,069.07

(7) 下顔

하안의 넓이는 하악각간폭×하안고(비하점고)의 공식에 의하여 도출하였으며, 이 경우 실측넓이와는 다소 거리가 있으나 집단간의 비율비교에 해당되므로 보정상수로 교정하지 않기로 하였다. 하안의 넓이는 태음인이 가장 넓으며 소음인이 가장 좁다.

변수	집단(빈도수)	하악각간폭	하안고 (mm)	하안 넓이 (mm <sup>2</sup> )
하안면적	태음인(75)	126.10	70.89	8,939.22
	소음인(39)	121.46	68.59	8,330.94
	소양인(56)	121.97	68.82	8,393.97

이상 면적으로 본 각 체질의 특징은

- ① 눈의 면적 비교에서 소음인이 최대이며, 태음인이 최소이다.
- ② 코의 면적 비교에서 태음인이 최대이며, 소음인이 최소이다.
- ③ 비익의 면적 비교에서 태음인이 최대이며, 소음인이 최소이다.
- ④ 입의 면적 비교에서 소음인이 최대이며, 소양인이 최소이다.
- ⑤ 상안의 면적비교에서 소음인이 최대이며, 소양인이 최소이다.
- ⑥ 정면상안의 면적비교에서 태음인이 최대이며 소음인이 최소이다.

⑦ 중안의 면적비교에서 태음인이 최대이며, 소음인이 최소이다.

⑧ 하안의 면적비교에서 태음인이 최대이며, 소음인이 최소이다.

## 5) 체질별 부분비교 분석

### (1) 눈썹의 기울기

이를 분석하기 위하여 미간점고÷미정점고×100의 공식을 유도하였다. 이를 보면 태음인>소음인>소양인의 순으로 나타나 태음인의 눈썹이 가장 수평에 가까우며 소음인의 눈썹이 가장 경사지게 나타남을 알 수 있다. 이는 소음인은 눈의 크기가 크고 미정점이 뚜렷하므로 이런 결과가 나타난 것으로 추정할 수 있다.(表V91 참조)

### (2) 頭長高指數

이는 두면부를 측면에서 볼 때 전후로 돌출되어 있는가 혹은 상하로 긴가를 볼 수 있다. 이를 분석하기 위하여 전안고÷두최대장×100의 공식을 유도하였다. 이를보면 소음인>태음인>소양인으로 되어 있어 소음인은 측면두면부상이 전후보다는 상하로 길음을 볼 수 있으며, 소양인은 전후로 돌출 됨을 볼 수 있다.(表V92 참조)

### (3) 額幅高指數

이는 이마의 가로와 세로의 형태를 짐작하게 하는데 이를 분석하기 위하여 액고(전액고-미간점고)÷전액폭×100의 공식을 유도하였다. 이를보면 소음인>소양인>태음인으로 되어 있어 소음인은 이마가 상하로 길게 나타나며 태음인은 좌우로 다소 퍼져있음을 알 수 있다.(表 V93 참조)

### (4) 鼻下眉間放射徑指數

미간점방사경과 비하점방사경을 비교함으로써

미간점에서 비하점으로 이어지는 측면윤곽선의 기울기를 비교할 수 있다. 이를 분석하기 위하여 미간점방사경÷비하점방사경×100의 공식을 적용하여 산출하였다. 이를 보면 태음인>소음인>소양인의 순으로 나타나서 태음인은 미간점과 비하점을 잇는 측면투영선이 각체질에 비하여 최대경사를 이루며, 소양인은 최소경사(각 그룹에 비하여 비하가 돌출되었다)를 이룬다. 따라서 소양인은 중앙이 돌출된 블록형이며, 태음인은 중앙이 함몰된 오목형이다.(表100참조)

### (5) 上層眉間放射徑指數

미간점방사경과 상순점방사경을 비교함으로써 미간점에서 상순점으로 이어지는 측면윤곽선의 기울기를 비교할 수 있다. 이를 분석하기 위하여 미간점방사경÷상순점방사경×100의 공식을 적용하여 산출하였다. 이를 보면 소음인>태음인>소양인의 순으로 나타나서 소음인은 미간점과 상순점을 잇는 측면투영선이 각체질에 비하여 최대경사를 이루며, 소양인은 최소경사(각 그룹에 비하여 상순이 돌출되었다)를 이룬다.(表V101참조)

### (6) 턱下鼻下放射徑指數

비하점방사경과 턱하점방사경을 비교함으로써 비하점에서 턱하점으로 이어지는 측면윤곽선의 기울기인 턱의 돌출 함몰 여부를 비교할 수 있다. 이를 분석하기 위하여 비하점방사경÷턱하점방사경×100의 공식을 적용하여 산출하였다. 이를 보면 소음인>소양인>태음인의 순으로 나타나서 소음인은 비하점과 턱하점을 잇는 측면투영선이 각체질에 비하여 최대경사를 이루어 턱의 돌출이 최소로 나타나며, 태음인은 최소경사를 이루어 각 그룹에 비하여 턱이 돌출되었다.(表 V102참조)

**(7) 턱隆起鼻下點放射徑指數**

비하점방사경과 턱용기점방사경을 비교함으로써 비하점에서 턱용기점으로 이어지는 측면윤곽선의 기울기를 산출함으로써 턱의 돌출 함몰 여부를 비교할 수 있다. 이를 분석하기 위하여 비하점방사경÷턱용기점방사경×100의 공식을 적용하여 산출하였다. 이를 보면 소음인>소양인>태음인의 순으로 나타나서 소음인은 비하점과 턱용기점을 잇는 측면투영선이 각체질에 비하여 최대경사를 이루어 턱의 돌출이 최소로 나타나며, 태음인은 최소경사를 이루어 각 그룹에 비하여 턱이 돌출되어 있음을 볼 수 있었다.(表V103 참조)

**(8) 眼睛幅**

안정폭을 비교하기 위하여 (동공외연각간폭-동공내연각간폭)÷2의 공식을 적용하여 산출하였다. 이를 보면 소양인>소음인>태음인의 순으로 나타나서 소양인의 안정이 최대이며, 태음인의 안정폭이 최소로 나타났다.(表V107 참조)

**(9) 眼幅**

안폭을 비교하기 위하여 (양안미간폭-내안각간폭)÷2의 공식을 적용하여 산출하였다. 이를 보면 소음인>태음인>소양인의 순으로 나타나서 소음인의 안폭이 최대이며, 소양인의 안폭이 최소로 나타났다.(表V108 참조)

**2. 上顔部 等高線 分析에 의한 결과**

**1) 上顔部 等高線의 左右 偏向**

상안부인 이마의 등고선 형태는 이마의 돌출형태에 따라 등고선의 방향이 좌측 혹은 우측방향으로 나타난다. 이를 분석한 결과 태음인은 우측이 우세하며, 소양인과 소음인은 좌측이 우세하게 나

타났다.

체질 \ 방향	좌측	우측
태음인(47)	13(27.7%)	34(72.3%)
소양인(44)	34(77.3%)	10(22.7%)
소음인(24)	16(66.7%)	8(33.3%)

**2. 上顔部의 等高線의 形態**

체질 \ 방향	삼각형	반원형	사각형
태음인(40)	34(72.3%)	7(14.9%)	6(12.8%)
소양인(35)	27(64.3%)	6(25%)	6(25%)
소음인(22)	27(64.3%)	10(23.8%)	5(11.9%)

상안부의 등고선 형태는 이마의 형태에 따라 삼각형, 반원형, 사각형으로 나타나는데 이를 분석한 결과 태음인과 소음인은 삼각형>반원형>사각형으로 소양인은 삼각형>반원형 및 사각형의 순으로 나타났다.

**3. 體質감별을 위한 判別분석 결과**

頭面部 계측를 통해 體質감별을 하기 위해 判別분석한 결과를 살펴 보면 다음과 같다.

모든 자료는 분석에 들어가기 전에 判別함수식을 적용하였다. 이러한 判別분석을 할 때 사용된 判別식은 아래와 같고, 이 중 判別방정식 1과 2 모두 Wilkss' Lamda,  $\chi^2$ -치 및 자유도를 고려한 유의도가 0.001보다 작으므로 유의미하다. 이러한 判別함수에 대한 집단 중앙치는 判別함수식 1에서는 太陰人 집단이 1.66569, 少陰人 집단이 -0.78699, 少陽人 집단이 -1.34398이며, 判別함수식 2에서는 太陰人 집단이 -0.13772, 少陰人 집단이 1.30232, 少陽人 집단이 -0.67030으로 되었는데, 이러한 判別함수식과 집단중앙치를 통하여 차후에 頭面部 계측를 통한 體質감별을 할 수 있었다. 분

석 결과에 따르면, 정황판별율이 3개 집단의 우연 확률(36.55%)<sup>1)</sup>에 비해 49.03%의 증진을 보여 사상體質 분류를 위해 충분한 정보제공의 가치가 있으므로 객관적인 有意性을 제시하였다.

이 결과를 요약하면 太陰人으로 진단받은 사람이 頭面部계측을 통해 太陰人으로 진단될 확률은 90.5%이고, 少陰人으로 진단받은 사람이 頭面部계측을 통해 少陰人으로 진단될 확률은 70.8%이고, 少陽人으로 진단받은 사람이 頭面部계측을 통해 少陽人으로 진단될 확률은 89.5%이었다.

### 1. 판별식

(1)  $Fcn1=0.39042 \times V4(\text{오피리온교})+1.16821 \times V7(\text{안와상연교})+0.71419 \times V9(\text{비배점교})-1.67950 \times V11(\text{상안검열교})+1.21513 \times V12(\text{하안검열교})-1.69767 \times V15(\text{이주점교})-0.80798 \times V17(\text{비첨점교})+0.48802 \times V19(\text{비익상점교})+0.52237 \times V21(\text{상순점교})+0.81763 \times V22(\text{구열점교})-0.63182 \times V23(\text{구각점교})+0.23908 \times V31(\text{오피리온방사경})+1.11061 \times V41(\text{상순점방사경})-1.69828 \times V42(\text{구열점방사경})+0.41887 \times V48(\text{턱하점방사경})+0.78070 \times V49(\text{설골점방사경})+0.41528 \times V51(\text{안최대폭})-0.97272 \times V53(\text{전액폭})+0.46572 \times V58(\text{양안미간폭})-0.31514 \times V69(\text{턱결절폭})$

(2)  $Fcn2=0.1443709 \times V4(\text{오피리온교})-0.0748318 \times V7(\text{안와상연교})+0.0331632 \times V9(\text{비배점교})+0.0186017 \times V11(\text{상안검열교})+0.1883582 \times V12(\text{하안검열교})-0.1830788 \times V15(\text{이주점교})+0.0554458 \times V17(\text{비첨점교})-0.2009988 \times V19(\text{비익상점교})+0.0225739 \times V21(\text{상순점교})-0.0626744 \times V22(\text{구열점교})+0.1336922 \times V23(\text{구각점교})-0.0763799 \times V31(\text{오피리온방사경})+0.1004211 \times V41(\text{상순점방사경})-0.0510015 \times V42(\text{구열점방사경})-0.0558587 \times V48(\text{턱하점방사경})+0.$

$0153036 \times V49(\text{설골점방사경})-0.595324 \times V51(\text{안최대폭})+0.511493 \times V53(\text{전액폭})+0.0451029 \times V58(\text{양안미간폭})+0.1118113 \times V69(\text{턱결절폭})$

Fcn	Wilks' Lambda	Chi-square	df	Sig
1	0.212356	141.779	40	0.0000
2	1.632933	41.851	19	0.0019

### 2. 집단 중앙치(Group centroids)

집단 \ 중앙치별	FUNC 1	FUNC 2
太陰人	1.66569	-0.13772
少陰人	-0.78699	1.30232
少陽人	-1.34398	-0.67030

### 3. 분석 결과

예측되는 실제체질 \ 체질	太陰人	少陰人	少陽人
太陰人 (42)	38 (90.5%)	3 (7.1%)	13 (2.4%)
少陰人 (24)	1 (4.2%)	17 (70.8%)	6 (25.0%)
少陽人 (38)	0 (.0%)	4 (10.5%)	34 (89.5%)

Percent of "grouped" cases correctly classified : 85.58%

## IV. 결론 및 제언

사상의학의 임상적 적용 및 학문의 연구 발전을 위하여 가장 중요한 부분은 사상체질진단의 객관화이다. 그간 체질진단의 객관화를 위한 연구가 다양하게 진행되었지만 안면부 형태에 관한 연구는 처음 시도되는 것이다. 필자들은 사상체질과 얼굴형태와의 상관관계를 정량적으로 찾아보기 위

1)  $C \text{ propotional} = \sum (\text{집단}i \text{의 빈도수} / \text{전체표본수})^2$

하여 Martin식 계측법을 사용 170인(태음인 75명, 소음인 39명, 소양인 56명)의 대상자들의 두안부에 대하여 생체계측학적 연구를 시행하여 ①체질별 고경측정치 및 구성비 ②체질별 방사경측정치 및 구성비 ③체질별 폭경측정치 및 구성비 ④체질별 면적비 ⑤체질별 부분 특성 ⑥체질별 상안부 등고선 분석 ⑦체질판별공식 등을 분석 연구하여 각 체질의 형태학적 특징에 관하여 다음과 같은 결과를 얻었다.

### 1. 태음인의 특징

- ① 고경, 폭경, 방사경항목의 측정치가 대체로 최대의 경향성을 나타낸다.
- ② 하안고의 길이가 최대이며, 하안면적 역시 최대이다.
- ③ 각막점방사경에 따른 비첨점, 비하점방사경의 비가 최소로 나타나서 鼻部位인 中顔部位가 합물의 특징이 나타난다.
- ④ 폭경과 방사경의 비가 최소로서 두안부의 전후 돌출이 최소
- ⑤ 코, 비익부, 중안, 하안의 면적이 최대이며, 눈의 면적은 최소치이다.
- ⑥ 눈썹의 경사가 최소
- ⑦ 턱의 돌출이 최대
- ⑧ 안정폭이 최소
- ⑨ 상안부의 前面突出이 대체로 우측의 경향성이 나타난다.

### 2. 소음인의 특징

- ① 방사경항목의 전 측정치는 소음인이 최소치를 나타낸다.
- ② 하안의 길이가 최소이며, 하안의 면적 역시 최소이다.

③ 각막점방사경에 따른 각각의 방사경비에서 소음인이 최소치를 나타내어 소음인의 얼굴형은 퇴축되어 있음을 알 수 있다.

④ 눈, 입, 상안의 면적은 최대이며, 코, 비익부, 중안, 하안은 최소면적을 나타낸다.

- ⑤ 눈썹의 경사가 최대
- ⑦ 입이 돌출이 최소
- ⑧ 턱이 퇴축
- ⑨ 眼幅이 최대
- ⑩ 上顔部の 前面突出은 대체로 좌측의 경향성이 나타난다.

### 3. 소양인의 특징

① 고경의 항목 측정치는 대체로 소양인에서 최소치를 나타낸다.

② 각막점방사경에 따른 각각의 방사경비에서 소양인이 최대치를 나타내어 소양인의 얼굴형은 돌출되어 있다.

③ 폭경과 방사경의 비에서 앞뒤로 돌출이 최대(쌍구형)

- ④ 입의 면적이 가장 최소이다.
- ⑤ 이마의 경사가 최소
- ⑥ 입이 최대 돌출
- ⑦ 안폭이 최소
- ⑧ 상안의 전면돌출은 대체로 좌측의 경향성이 나타난다.
- ⑨ 중안이 돌출형

### 4. 체질판별공식

판별분석결과를 살펴보면, 판별정확률은 태음인의 경우는 90.5%, 소음인의 경우는 70.8%, 소양인의 경우는 89.5%로서 전체판별정확률은 85.58%로 나타났다. 판별정확률이 3개 집단의 우연확률 36.55%에 비하여 49.03%의 중진을 보였다.

## 5. 제언

1. 증화계층별(남녀별 연령별)자료를 수집분석하여 세분화하는 연구가 계속되어야 한다.
2. 체질에 따른 각 부위별 특징을 더욱 세분화하는 연구가 계속되어야 한다.
3. 모아레에 관한 분석방법이 보완되어야 한다.
4. 전신의 형태학적인 특징에 관한 연구도 지속적으로 시행되어야 한다.
5. 체질변증 컴퓨터프로그램을 개발하여야 한다.
6. 계측방법이 자동화(3차원 영상계측장치)되면 더욱 실용성을 높힐 수 있을 것이다.

## 참고문헌

1. 朴奭彦 : 四象頭部觸診法, 서울, 醫林社, 동권 147호, pp.62-64, 1982.
2. 李炳幸 : 針道遠流重磨, 서울, 杏林書院, pp.347-348, 1974.
3. 權度沅 : 大韓韓醫學會報 二十一號, pp.32-38, 1966.
4. 金樹凡 : 四象體質鑑別을 爲한 專門家 시스템의 知識베이스 構築을 爲한 研究, 慶熙大學校 大學院, 1989.
5. 許萬會 : 四象人の 形態學的 圖式化에 關한 研究, 慶熙大學校 大學院, 1991.
6. 高炳熙, 宋一炳 : 四象體質辨證 方法論研究(第二報), 大韓韓醫學會誌, Vol.8, No.1, pp.139-160, 1987.
7. 高炳熙, 宋一炳 : 四象體質辨證에 對한 小考, 大韓韓醫學會誌 9호, 1985.
8. 金善豪 : 四象體質分類檢査(QSCC)의 妥當化 研究, 大韓四象醫學會誌, Vol.5, No.1, pp.61-80, 1993.
9. 章世圭 : 四象體質分類檢査(QSCC) 評價方法의 妥當性 研究, 慶熙大學校 大學院 碩士學位論文, 1994.
10. 李義柱 : 四象辨證內容 設問調查紙(I)의 妥當化 研究, 서울, 慶熙大學校 論文集, 慶熙大學校 韓醫科大學, 1995.
11. 李廷燦 : 四象體質分類檢査의 準據妥當化 研究(性格要因檢査-16PF-와의 比較分析), 大韓四象醫學會誌, Vol.5, No.1, pp.81-98, 1993.
12. 高炳熙, 宋一炳 : 四象體質辨證 方法論研究(第一報), 大韓韓醫學會誌, Vol.8, No.1, pp.139-160, 1987.
13. 洪淳用, 李乙浩 : 四象醫學原論, 서울, 행림출판사, 1985, 四象人辨證論. P.142
14. 李濟馬 : 東醫壽世保元, 서울, 杏林書院, 四象人辨證論, 1963. P.140
15. J. Anat.(1955) 187. pp593-602, Vurgilio F. Ferrario, CHiarella. Sforza, Johannes H. Schmitz. Alessandromiani Jr. and Gianluca Taroni
16. 李鳳教 : 韓方診斷學(1), 서울, 성보사, 1986, 四診, p.31, pp.98-99

# ABSTRACT

## A Morphologic Study of head and face for Sasang Constitution

*Byung-Hee Ko<sup>\*</sup>, Il-Byung Song<sup>\*</sup>, Yong-Jin Cho<sup>\*\*</sup>, Chang-Seok Choi<sup>\*\*\*</sup>, Jong-Weon Kim<sup>\*\*\*\*</sup>  
Suck-CHull Hong<sup>\*</sup>, Eui-Ju Lee<sup>\*</sup>, Sang-Yong Lee<sup>\*</sup>, Jeong-Sug Seo<sup>\*</sup>*

The clinical application of constitutional Diagnosis is the most important part of Sasang constitutional medicine. It has been studied in various way. However, the study of morphologic characteristics on the face is applied for the first time. For quantitative analysis of the correlation between the sasang constitution and the shape of the face, the head-facial part of 170 cases were measured by Martin's measurement and analysis of

- a) the measurement value of height and the component ratio from the Gnathion to each part of face by constitution.
- b) the measurement value of depth and the component ratio from T-projected to each part of the face by constitution.
- c) the measurement value of breadth and component ratio between each parts of the facial breadth by constitution.
- d) the ratio of square on every part of face by constitution.
- e) the characteristics on each part of the face by constitution.
- f) the contour line of the forehead.
- g) the result of discriminant analysis about the constitution.

Authors obtained the results from the study as follows;

### 1. The characteristics of Taeum-IN

- 
- \* Oriental Medicine College, Kyung-Hee University
  - \*\* College of Fine Art, Seoul National University of Education
  - \*\*\* An Engineering College, Myung-Ji University
  - \*\*\*\* Oriental Medicine College, Dong-Eui University

- ① The measurement value of Height, Breadth, T-Projected had a tendency to maximum value in general.
- ② The value of lower opthal height and the square of lower opthal part was maximum.
- ③ The value of Pronasal T-projected length and Subnasal T-projected length was minimum, so Taeum-In has characteristics of depression in middle face, nasal part.
- ④ In the ratio of Breadth, T-Projected, T-Projected was minimum.
- ⑤ It was maximum that the square of nose, Alare, Middle face, Lower face, and it was minimum that the square of eye. The square of nose, Alare, Middle face, Lower face was maximum and the square of eye was minimum.
- ⑥ The curvature of the eyebrow was minimum.
- ⑦ The projection of jaw (Pogonion T-projection length) was maximum.
- ⑧ The breadth of eye was minimum.
- ⑨ There was a tendency that the projection of the forehead to the right in general.

## **2. The characteristics of Soeum-In**

- ① In all cases of projected length the measurement value was minimum.
- ② The value of lower opthal height and the square of lower opthal part was minimum.
- ③ By the Pupulare T-projected length, the value of Pronasal T-projected length and Subnasal T-projected length was minimum, so the Soeum In's face shape is flat.
- ④ The square of eye, mouth, forehead was maximum and the square of nose, Alare, Middle face, Lower face was minimum.
- ⑤ The curvature of the eyebrow was maximum.
- ⑥ The projection of mouth was minimum.
- ⑦ The jaw was flat.
- ⑧ The breadth of eye was maximum.
- ⑨ There was a tendency that the projection of the forehead to the left in general.

## **3. The characteristics of Soyang-In.**

- ① In most cases of 코경 length the measurement value was minimum.
- ② By the Pupulare T-projected length, each ratio of projected length was maximum, so the Soyang-In's face shape has many protrusions
- ③ In the ratio of Breadth, T-Projected, T-Projected was maximum.
- ④ The square of mouth was minimum.
- ⑤ The inclination of the forehead was minimum.

- ⑥ The projection of mouth was maximum.
- ⑦ The breadth of eye was minimum.
- ⑧ There was a tendency that the projection of the forehead to the left in general.
- ⑨ The middle face was protruded.

#### **4. Discriminant about the constitution.**

According to the result of discriminant, the accuracy probability of discriminant was 85.58% in total and Taeum-In was 90.5%, Soeum-In was 70.8%, Soyang-In was 89.5%. The accuracy probability of discriminant about 3 constitutional group increased by 49.03% than the accident probability 36.55%

#### **5. Suggestion**

- ① The study which gather and analysis the data should be continued.
- ② The study which subdivide the characteristics of each part of the face by the constitution should be continued.
- ③ The analysis method about Moire should be supplement.
- ④ The study about the morphologic characteristics of the whole body should be continued.
- ⑤ Computer program of constitution diagnosis should be developed.
- ⑥ To increase utility of this method, the measurement should be automation.

## 附錄 I 表 찾아보기

- 表V1.- 表V27. 각 體質 집단의 高徑別 평균과 표준편차 및 F-검증  
表V28.- 表V50. 각 體質집단의 放射徑別 평균과 표준편차 및 F-검증  
表V51.- 表V69. 각 體質집단의 幅徑別 평균과 표준편차 및 F-검증  
表V70.- 表V200. 각 體質집단의 계측식을 통한 평균과 표준편차 및 F-검증  
表V201. 고경의 순위표  
表V202. 고경비 순위표  
表V203. 방사경 순위표  
表V204. 방사경비 순위표  
表V205. 폭경 순위표  
表V206. 폭경비 순위표

표V1. 전두고의 체질별 비교

변수	집단(빈도수)	평균±표준편차	최소치	최대치	집단간 비교
전두고	태음인(75)	233.60±13.45	205.86	270.96	
	소음인(39)	230.98±14.89	198.03	275.93	
	소양인(56)	229.17±11.90	203.66	260.42	
	총계(170)	231.54±13.38	198.03	275.93	

a p<0.1 \* p<0.05 \*\* p<0.01 \*\*\* p<0.001

표V2. 전안고의 체질별 비교

변수	집단(빈도수)	평균±표준편차	최소치	최대치	집단간 비교
전안고	태음인(75)	195.80±14.87	184.05	224.08	
	소음인(39)	194.35±12.03	170.37	225.38	
	소양인(56)	193.30±11.75	172.89	233.70	
	총계(170)	194.64±13.25	170.37	233.70	

a p<0.1 \* p<0.05 \*\* p<0.01 \*\*\* p<0.001

표V3. 전두융기구의 체질별 비교

변수	집단(빈도수)	평균±표준편차	최소치	최대치	집단간 비교
전두융기구	태음인(75)	174.16±12.62	144.04	203.05	
	소음인(39)	172.74±11.47	170.37	197.39	
	소양인(56)	170.29±10.88	148.79	194.49	
	총계(170)	172.56±11.86	144.04	203.05	

a p<0.1 \* p<0.05 \*\* p<0.01 \*\*\* p<0.001

표V4. 오필리온고의 체질별 비교

변수	집단(빈도수)	평균±표준편차	최소치	최대치	집단간 비교
오필리온고	태음인(75)	146.91±10.56	122.50	171.63	태음인>소양인 F:2.65 a
	소음인(39)	143.87±9.48	128.28	163.21	
	소양인(56)	143.13±9.14	126.99	161.48	
	총계(170)	144.97±9.97	122.50	171.63	

a p<0.1 \* p<0.05 \*\* p<0.01 \*\*\* p<0.001

표V5. 미정점고의 체질별 비교

변수	집단(빈도수)	평균±표준편차	최소치	최대치	집단간 비교
미정점고	태음인(75)	147.76±9.75	125.90	172.74	
	소음인(39)	145.49±9.30	128.67	166.14	
	소양인(56)	144.84±8.95	130.27	162.58	
	총계(170)	146.28±9.43	125.99	172.74	

a p<0.1 \* p<0.05 \*\* p<0.01 \*\*\* p<0.001

表V6.미간점고의 체질별 비교

변수	집단(빈도수)	평균±표준편차	최소치	최대치	집단간 비교
미간점고	태음인(75)	140.14±9.40	117.78	165.56	
	소음인(39)	137.49±9.10	121.90	158.19	
	소양인(56)	136.86±8.46	119.90	153.84	
	총계(170)	138.45±9.11	117.78	165.56	

a p<0.1 \* p<0.05 \*\* p<0.01 \*\*\* p<0.001

表V7.안와상연고 체질별 비교

변수	집단(빈도수)	평균±표준편차	최소치	최대치	집단간 비교
안와상연고	태음인(75)	136.23±8.59	118.14	157.05	태음인>소양인 태음인>소음인 F:5.57 **
	소음인(39)	132.61±8.14	120.22	151.66	
	소양인(56)	131.66±7.69	118.37	147.55	
	총계(170)	133.89±8.43	118.14	157.05	

a p<0.1 \* p<0.05 \*\* p<0.01 \*\*\* p<0.001

表V8. 비근점고 체질별 비교

변수	집단(빈도수)	평균±표준편차	최소치	최대치	집단간 비교
비근점고	태음인(75)	122.35±8.85	140.05	143.73	
	소음인(39)	119.20±8.41	105.01	138.16	
	소양인(56)	119.46±8.47	103.92	140.10	
	총계(170)	120.67±8.70	103.92	143.73	

a p<0.1 \* p<0.05 \*\* p<0.01 \*\*\* p<0.001

表V9. 비배점고 체질별 비교

변수	집단(빈도수)	평균±표준편차	최소치	최대치	집단간 비교
비배점고	태음인(75)	103.63±7.75	86.99	125.15	
	소음인(39)	100.76±7.59	84.54	119.54	
	소양인(56)	101.49±7.53	87.81	122.71	
	총계(170)	102.26±7.70	84.54	125.15	

a p<0.1 \* p<0.05 \*\* p<0.01 \*\*\* p<0.001

表V10. 동공점고 체질별 비교

변수	집단(빈도수)	평균±표준편차	최소치	최대치	집단간 비교
동공점고	태음인(75)	119.59±8.42	101.38	138.82	태음인>소양인 F:2.34 a
	소음인(39)	117.83±8.16	103.99	139.39	
	소양인(56)	116.56±7.36	101.38	132.70	
	총계(170)	118.19±8.09	101.38	139.39	

a p<0.1 \* p<0.05 \*\* p<0.01 \*\*\* p<0.001

表V11. 상안검열고 체질별 비교

변수	집단(빈도수)	평균±표준편차	최소치	최대치	집단간 비교
상안검열고	태음인(75)	122.72±8.85	103.45	146.00	
	소음인(39)	121.29±8.52	105.60	144.45	
	소양인(56)	120.10±8.49	104.31	152.51	
	총계(170)	121.53±8.68	103.45	152.51	

a p<0.1 \* p<0.05 \*\* p<0.01 \*\*\* p<0.001

表V12. 하안검열고 체질별 비교

변수	집단(빈도수)	평균±표준편차	최소치	최대치	집단간 비교
하안검열고	태음인(75)	114.70±8.10	97.20	131.33	태음인>소양인 F:2.68 a
	소음인(39)	112.61±8.00	100.50	132.88	
	소양인(56)	111.57±7.40	97.48	127.22	
	총계(170)	113.19±7.93	97.20	132.88	

a p<0.1 \* p<0.05 \*\* p<0.01 \*\*\* p<0.001

表V13. 상이저점고 체질별 비교

변수	집단(빈도수)	평균±표준편차	최소치	최대치	집단간 비교
상이저점고	태음인(75)	125.14±9.04	107.18	150.05	
	소음인(39)	122.01±8.87	107.77	142.54	
	소양인(56)	121.97±9.18	107.41	145.49	
	총계(170)	123.38±9.13	107.18	150.05	

a p<0.1 \* p<0.05 \*\* p<0.01 \*\*\* p<0.001

表V14. 하이저점고 체질별 비교

변수	집단(빈도수)	평균±표준편차	최소치	최대치	집단간 비교
하이저점고	태음인(75)	65.43±7.26	50.06	83.12	
	소음인(39)	65.93±7.73	51.35	83.09	
	소양인(56)	65.94±8.93	48.20	94.72	
	총계(170)	65.71±7.91	48.20	94.72	

a p<0.1 \* p<0.05 \*\* p<0.01 \*\*\* p<0.001

表V15. 이주점고 체질별 비교

변수	집단(빈도수)	평균±표준편차	최소치	최대치	집단간 비교
이주점고	태음인(75)	105.29±7.45	89.30	121.88	
	소음인(39)	103.10±7.62	89.52	122.47	
	소양인(56)	103.49±7.69	87.75	121.69	
	총계(170)	104.20±7.59	87.75	122.47	

a p<0.1 \* p<0.05 \*\* p<0.01 \*\*\* p<0.001

表V16. 이주고 체질별 비교

변수	집단(빈도수)	평균±표준편차	최소치	최대치	집단간 비교
이주고	태음인(75)	93.74±7.27	78.47	109.48	
	소음인(39)	91.84±7.45	76.81	109.47	
	소양인(56)	91.85±7.44	77.41	107.72	
	총계(170)	92.68±7.38	76.81	109.48	

a p<0.1 \* p<0.05 \*\* p<0.01 \*\*\* p<0.001

表V17. 비침점고 체질별 비교

변수	집단(빈도수)	평균±표준편차	최소치	최대치	집단간 비교
비침점고	태음인(75)	81.93±5.85	68.29	94.198	
	소음인(39)	79.76±6.70	63.75	97.05	
	소양인(56)	80.17±6.84	66.69	100.77	
	총계(170)	80.85±6.42	63.75	100.77	

a p<0.1 \* p<0.05 \*\* p<0.01 \*\*\* p<0.001

表V18. 비하점고 체질별 비교

변수	집단(빈도수)	평균±표준편차	최소치	최대치	집단간 비교
비하점고	태음인(75)	70.89±5.88	59.48	89.59	태음인>소양인 F:2.81 a
	소음인(39)	68.59±6.84	59.12	89.24	
	소양인(56)	68.82±5.19	59.22	84.13	
	총계(170)	69.68±5.91	59.12	89.59	

a p<0.1 \* p<0.05 \*\* p<0.01 \*\*\* p<0.001

表V19. 비익상점고 체질별 비교

변수	집단(빈도수)	평균±표준편차	최소치	최대치	집단간 비교
비익상점고	태음인(75)	87.72±6.85	73.64	107.58	태음인>소양인 태음인>소음인 F:5.30 **
	소음인(39)	83.81±6.60	70.83	96.08	
	소양인(56)	85.04±6.19	72.77	100.08	
	총계(170)	85.94±6.75	70.83	107.58	

a p<0.1 \* p<0.05 \*\* p<0.01 \*\*\* p<0.001

表V20. 비익하점고 체질별 비교

변수	집단(빈도수)	평균±표준편차	최소치	최대치	집단간 비교
비익하점고	태음인(75)	70.50±5.55	60.08	88.68	태음인>소양인 태음인>소음인 F:3.77 *
	소음인(39)	68.18±5.89	56.91	79.26	
	소양인(56)	68.19±4.93	56.80	81.82	
	총계(170)	69.21±5.52	56.80	88.68	

a p<0.1 \* p<0.05 \*\* p<0.01 \*\*\* p<0.001

表V21. 상순점고 체질별 비교

변수	집단(빈도수)	평균±표준편차	최소치	최대치	집단간 비교
상순점고	태음인(75)	54.61±5.49	44.32	72.69	태음인>소양인 F:3.05 *
	소음인(39)	53.39±4.96	43.38	63.97	
	소양인(56)	52.37±4.81	42.32	68.26	
	총계(170)	53.59±5.22	42.32	72.69	

a p<0.1 \* p<0.05 \*\* p<0.01 \*\*\* p<0.001

表V22. 구열점고 체질별 비교

변수	집단(빈도수)	평균±표준편차	최소치	최대치	집단간 비교
구열점고	태음인(75)	45.72±4.87	37.48	65.07	
	소음인(39)	44.67±4.08	37.99	54.12	
	소양인(56)	44.25±3.82	32.05	54.62	
	총계(170)	44.99±4.40	32.05	65.07	

a p<0.1 \* p<0.05 \*\* p<0.01 \*\*\* p<0.001

表V23. 구각점고 체질별 비교

변수	집단(빈도수)	평균±표준편차	최소치	최대치	집단간 비교
구각점고	태음인(75)	42.19±4.74	33.06	59.16	
	소음인(39)	42.48±4.13	36.26	51.67	
	소양인(56)	41.22±4.02	31.83	53.34	
	총계(170)	41.94±4.38	31.83	59.16	

a p<0.1 \* p<0.05 \*\* p<0.01 \*\*\* p<0.001

表V24. 하순점고 체질별 비교

변수	집단(빈도수)	평균±표준편차	최소치	최대치	집단간 비교
하순점고	태음인(75)	35.81±5.02	26.76	56.89	
	소음인(39)	34.42±4.65	19.34	44.15	
	소양인(56)	35.04±3.86	22.91	44.38	
	총계(170)	35.24±4.59	19.34	56.89	

a p<0.1 \* p<0.05 \*\* p<0.01 \*\*\* p<0.001

表V25. 턱순규점고 질별 비교

변수	집단(빈도수)	평균±표준편차	최소치	최대치	집단간 비교
턱순규점고	태음인(75)	28.33±4.05	22.31	46.87	
	소음인(39)	27.73±3.30	16.77	35.67	
	소양인(56)	27.66±3.54	16.80	38.04	
	총계(170)	27.97±3.72	16.77	46.87	

a p<0.1 \* p<0.05 \*\* p<0.01 \*\*\* p<0.001

表V26. 턱융기점고 체질별 비교

변수	집단(빈도수)	평균±표준편차	최소치	최대치	집단간 비교
턱융기점고	태음인(75)	15.96±4.10	8.821	33.29	
	소음인(39)	16.34±4.25	7.37	23.81	
	소양인(56)	15.60±3.31	10.03	24.58	
	총계(170)	15.93±3.88	7.37	33.29	

a p<0.1 \* p<0.05 \*\* p<0.01 \*\*\* p<0.001

表V27. 윗턱결절점고 체질별 비교

변수	집단(빈도수)	평균±표준편차	최소치	최대치	집단간 비교
윗턱결절점고	태음인(75)	6.65±2.28	3.56	16.88	
	소음인(39)	7.34±3.21	2.86	16.73	
	소양인(56)	6.84±1.96	3.69	13.12	
	총계(170)	6.87±2.43	2.86	16.88	

a p<0.1 \* p<0.05 \*\* p<0.01 \*\*\* p<0.001

表V28. 두최대장 체질별 비교

변수	집단(빈도수)	평균±표준편차	최소치	최대치	집단간 비교
두최대장	태음인(75)	184.62±9.47	165.22	226.34	
	소음인(39)	182.96±8.08	170.29	212.29	
	소양인(56)	183.82±7.11	166.56	196.67	
	총계(170)	183.98±8.42	165.22	226.34	

a p<0.1 \* p<0.05 \*\* p<0.01 \*\*\* p<0.001

表V29. 발제점방사경 체질별 비교

변수	집단(빈도수)	평균±표준편차	최소치	최대치	집단간 비교
발제점 방사경	태음인(75)	132.64±7.83	117.72	148.32	태음>소양 F:3.02 a
	소음인(39)	129.82±6.74	115.13	147.18	
	소양인(56)	130.04±6.23	115.91	143.75	
	총계(170)	131.14±7.18	115.13	148.37	

a p<0.1 \* p<0.05 \*\* p<0.01 \*\*\* p<0.001

表V30. 전두융기점방사경 체질별 비교

변수	집단(빈도수)	평균±표준편차	최소치	최대치	집단간 비교
전두융기점 방사경	태음인(75)	126.27±7.84	109.71	143.11	태음>소양 태음>소음 F:4.20 *
	소음인(39)	123.02±6.28	109.57	139.36	
	소양인(56)	123.19±6.37	110.39	136.98	
	총계(170)	124.51±7.17	109.57	143.11	

a p<0.1 \* p<0.05 \*\* p<0.01 \*\*\* p<0.001

表V31. 오피리온방사경 체질별 비교

변수	집단(빈도수)	평균±표준편차	최소치	최대치	집단간 비교
오피리온 방사경	태음인(75)	115.90±7.91	99.05	132.74	태음>소음 F:3.58 *
	소음인(39)	112.52±5.63	101.18	125.42	
	소양인(56)	113.52±6.43	100.36	125.65	
	총계(170)	114.34±7.07	99.05	132.74	

a p<0.1 \* p<0.05 \*\* p<0.01 \*\*\* p<0.001

表V32. 미정점방사경 체질별 비교

변수	집단(빈도수)	평균±표준편차	최소치	최대치	집단간 비교
미정점 방사경	태음인(75)	104.27±7.27	80.30	121.46	
	소음인(39)	102.02±5.46	91.61	123.89	
	소양인(56)	102.66±5.22	90.45	113.97	
	총계(170)	103.22±6.30	80.30	123.89	

a p<0.1 \* p<0.05 \*\* p<0.01 \*\*\* p<0.001

表V33. 미간점방사경 체질별 비교

변수	집단(빈도수)	평균±표준편차	최소치	최대치	집단간 비교
미간점 방사경	태음인(75)	112.29±7.39	97.13	129.85	
	소음인(39)	109.72±6.57	97.73	125.38	
	소양인(56)	110.27±6.45	88.85	120.60	
	총계(170)	111.04±6.96	88.85	129.85	

a p<0.1 \* p<0.05 \*\* p<0.01 \*\*\* p<0.001

表V34. 비근점방사경 체질별 비교

변수	집단(빈도수)	평균±표준편차	최소치	최대치	집단간 비교
비근점 방사경	태음인(75)	102.39±7.24	86.29	128.69	태음>소음 F:2.39 a
	소음인(39)	99.54±6.33	86.23	119.68	
	소양인(56)	100.76±6.62	89.58	124.75	
	총계(170)	101.20±6.90	86.23	128.69	

a p<0.1 \* p<0.05 \*\* p<0.01 \*\*\* p<0.001

表V35. 각막점방사경 체질별 비교

변수	집단(빈도수)	평균±표준편차	최소치	최대치	집단간 비교
각막점 방사경	태음인(75)	95.01±6.30	79.31	109.46	
	소음인(39)	93.12±6.05	83.33	115.46	
	소양인(56)	92.90±5.08	83.20	102.40	
	총계(170)	93.88±5.92	79.31	115.46	

a p<0.1 \* p<0.05 \*\* p<0.01 \*\*\* p<0.001

表V36. 안미점방사경 체질별 비교

변수	집단(빈도수)	평균±표준편차	최소치	최대치	집단간 비교
안미점 방사경 (전체)	태음인(75)	84.63±6.59	70.37	109.90	
	소음인(39)	82.23±5.13	74.15	93.30	
	소양인(56)	82.79±5.57	72.78	94.62	
	총계(170)	83.47±6.01	70.37	109.90	

a p<0.1 \* p<0.05 \*\* p<0.01 \*\*\* p<0.001

表V37. 비배점방사경 체질별 비교

변수	집단(빈도수)	평균±표준편차	최소치	최대치	집단간 비교
비배점 방사경	태음인(75)	107.47±7.03	88.83	123.65	태음인>소음인 F:2.35 a
	소음인(39)	104.72±6.79	81.63	115.26	
	소양인(56)	105.98±5.75	90.45	117.23	
	총계(170)	106.35±6.63	81.63	123.65	

a p<0.1 \* p<0.05 \*\* p<0.01 \*\*\* p<0.001

表V38. 비침점방사경 체질별 비교

변수	집단(빈도수)	평균±표준편차	최소치	최대치	집단간 비교
비침점 방사경	태음인(75)	117.14±8.96	82.66	138.39	
	소음인(39)	115.92±6.27	97.57	126.79	
	소양인(56)	116.59±6.27	100.75	129.98	
	총계(170)	116.68±7.55	82.66	138.39	

a p<0.1 \* p<0.05 \*\* p<0.01 \*\*\* p<0.001

表V39. 비익점방사경 체질별 비교

변수	집단(빈도수)	평균±표준편차	최소치	최대치	집단간 비교
비익점 방사경	태음인(75)	95.80±5.78	82.69	108.67	태음인>소양인 태음인>소음인 F:6.31 **
	소음인(39)	92.29±4.55	81.40	99.85	
	소양인(56)	93.20±5.85	68.45	105.27	
	총계(170)	94.14±5.72	68.45	108.67	

a p<0.1 \* p<0.05 \*\* p<0.01 \*\*\* p<0.001

表V40. 비하점방사경 체질별 비교

변수	집단(빈도수)	평균±표준편차	최소치	최대치	집단간 비교
비하점 방사경	태음인(75)	105.19±6.73	87.10	120.79	
	소음인(39)	103.58±5.97	88.28	112.97	
	소양인(56)	104.04±5.73	90.19	118.89	
	총계(170)	104.44±6.25	87.10	120.79	

a p<0.1 \* p<0.05 \*\* p<0.01 \*\*\* p<0.001

表V41. 상순점방사경 체질별 비교

변수	집단(빈도수)	평균±표준편차	최소치	최대치	집단간 비교
상순점 방사경	태음인(75)	114.56±6.48	99.54	132.99	태음인>소양인 F;3.23 *
	소음인(39)	111.35±6.65	92.53	122.39	
	소양인(56)	112.88±6.54	96.12	128.96	
	총계(170)	113.27±6.63	92.53	132.99	

a p<0.1 \* p<0.05 \*\* p<0.01 \*\*\* p<0.001

表V42. 구열점방사경 체질별 비교

변수	집단(빈도수)	평균±표준편차	최소치	최대치	집단간 비교
구열점 방사경	태음인(75)	113.20±6.52	99.74	133.21	태음인>소음인 F;2.85 a
	소음인(39)	110.21±6.76	91.11	123.47	
	소양인(56)	112.90±5.84	96.76	124.36	
	총계(170)	112.09±6.43	91.11	133.21	

a p<0.1 \* p<0.05 \*\* p<0.01 \*\*\* p<0.001

表V43. 구각점방사경 체질별 비교

변수	집단(빈도수)	평균±표준편차	최소치	최대치	집단간 비교
구각점 방사경	태음인(75)	103.08±6.37	90.67	120.60	
	소음인(39)	100.69±7.50	84.65	125.46	
	소양인(56)	101.01±5.22	89.71	113.37	
	총계(170)	101.85±6.37	84.65	125.46	

a p<0.1 \* p<0.05 \*\* p<0.01 \*\*\* p<0.001

表V44. 하순점방사경 체질별 비교

변수	집단(빈도수)	평균±표준편차	최소치	최대치	집단간 비교
하순점 방사경	태음인(75)	119.19±6.87	104.82	143.19	태음인>소음인 F;2.94 a
	소음인(39)	116.11±6.95	95.76	129.47	
	소양인(56)	117.53±5.98	102.10	128.57	
	총계(170)	117.94±6.68	95.76	143.19	

a p<0.1 \* p<0.05 \*\* p<0.01 \*\*\* p<0.001

表V45. 턱순구점방사경 체질별 비교

변수	집단(빈도수)	평균±표준편차	최소치	최대치	집단간 비교
턱순구점 방사경	태음인(75)	116.96±6.78	104.71	135.13	
	소음인(39)	114.32±7.31	95.14	131.75	
	소양인(56)	115.34±6.22	99.41	127.91	
	총계(170)	115.82±6.78	95.14	135.13	

a p<0.1 \* p<0.05 \*\* p<0.01 \*\*\* p<0.001

表V46. 턱용기점방사경 체질별 비교

변수	집단(빈도수)	평균±표준편차	최소치	최대치	집단간 비교
턱용기점 방사경	태음인(75)	124.04±7.72	108.78	141.36	태음인>소음인 F;2.73 a
	소음인(39)	120.91±7.38	105.36	137.34	
	소양인(56)	121.92±6.69	106.66	136.82	
	총계(170)	122.62±7.39	105.36	141.36	

a p<0.1 \* p<0.05 \*\* p<0.01 \*\*\* p<0.001

表V47. 윗턱결절점방사경 체질별 비교

변수	집단(빈도수)	평균±표준편차	최소치	최대치	집단간 비교
윗턱결절점 방사경	태음인(75)	125.43±7.65	107.56	143.21	태음인>소음인 F;3.81 *
	소음인(39)	121.32±8.51	102.84	142.30	
	소양인(56)	123.06±7.60	105.98	139.50	
	총계(170)	123.71±7.97	102.84	143.21	

a p<0.1 \* p<0.05 \*\* p<0.01 \*\*\* p<0.001

表V48. 턱하점점방사경 체질별 비교

변수	집단(빈도수)	평균±표준편차	최소치	최대치	집단간 비교
턱하점 방사경	태음인(75)	118.00±10.05	95.60	144.22	태음인>소음인 소양인>소음인 F;7.89 ***
	소음인(39)	110.23±10.01	92.91	137.40	
	소양인(56)	115.65±9.64	91.89	140.79	
	총계(170)	115.44±10.31	91.89	144.22	

a p<0.1 \* p<0.05 \*\* p<0.01 \*\*\* p<0.001

表V49. 설골점방사경 체질별 비교

변수	집단(빈도수)	평균±표준편차	최소치	최대치	집단간 비교
설골점 방사경	태음인(75)	44.39±11.45	16.67	73.59	태음인>소음인 태음인>소양인 F;16.48 ***
	소음인(39)	35.80±7.26	21.19	48.81	
	소양인(56)	36.15±7.54	18.49	54.69	
	총계(170)	39.73±10.27	16.67	73.59	

a p<0.1 \* p<0.05 \*\* p<0.01 \*\*\* p<0.001

表V50. 하악저장 체질별 비교

변수	집단(빈도수)	평균±표준편차	최소치	최대치	집단간 비교
하악저장	태음인(75)	126.75±7.86	109.63	144.77	태음인>소음인 태음인>소양인 F;4.17 *
	소음인(39)	122.73±7.72	107.19	142.00	
	소양인(56)	122.61±11.38	55.03	137.88	
	총계(170)	124.46±9.31	55.03	144.77	

a p<0.1 \* p<0.05 \*\* p<0.01 \*\*\* p<0.001

表V51. 안최대폭 체질별 비교

변수	집단(빈도수)	평균±표준편차	최소치	최대치	집단간 비교
안최대폭	태음인(75)	151.59±9.97	132.79	180.84	태음인>소음인 태음인>소양인 F:7.45 ***
	소음인(39)	145.94±10.05	136.33	179.66	
	소양인(56)	146.09±7.76	131.56	178.87	
	총계(170)	148.48±9.67	131.56	180.84	

a p<0.1 \* p<0.05 \*\* p<0.01 \*\*\* p<0.001

表V52. 권골간폭 체질별 비교

변수	집단(빈도수)	평균±표준편차	최소치	최대치	집단간 비교
권골간폭	태음인(75)	137.57±8.84	119.32	163.09	태음인>소음인 태음인>소양인 F:8.96 ***
	소음인(39)	130.85±7.76	121.09	154.20	
	소양인(56)	133.31±8.54	115.73	166.16	
	총계(170)	134.62±8.90	115.73	166.16	

a p<0.1 \* p<0.05 \*\* p<0.01 \*\*\* p<0.001

表V53. 전액폭 체질별 비교

변수	집단(빈도수)	평균±표준편차	최소치	최대치	집단간 비교
전액폭	태음인(75)	123.00±9.38	102.42	144.61	
	소음인(39)	122.22±12.11	102.85	158.81	
	소양인(56)	120.99±8.96	99.18	149.63	
	총계(170)	122.16±9.92	99.18	158.81	

a p<0.1 \* p<0.05 \*\* p<0.01 \*\*\* p<0.001

表V54. 측두선간폭 체질별 비교

변수	집단(빈도수)	평균±표준편차	최소치	최대치	집단간 비교
측두선간폭	태음인(75)	104.06±9.68	84.60	124.24	
	소음인(39)	101.48±9.48	83.93	128.87	
	소양인(56)	102.31±8.75	84.33	127.24	
	총계(170)	102.89±9.34	83.93	128.87	

a p<0.1 \* p<0.05 \*\* p<0.01 \*\*\* p<0.001

表V55. 전두융기간폭 체질별 비교

변수	집단(빈도수)	평균±표준편차	최소치	최대치	집단간 비교
전두융기간폭	태음인(75)	42.88±9.61	31.41	103.16	
	소음인(39)	42.34±8.36	22.52	65.65	
	소양인(56)	41.62±6.49	29.66	56.50	
	총계(170)	42.34±8.38	22.52	103.16	

a p<0.1 \* p<0.05 \*\* p<0.01 \*\*\* p<0.001

表V56. 미초간폭 체질별 비교

변수	집단(빈도수)	평균±표준편차	최소치	최대치	집단간 비교
미초간폭	태음인(75)	115.79±9.40	77.74	137.91	
	소음인(39)	114.88±7.42	100.01	138.45	
	소양인(56)	114.81±8.59	97.13	142.59	
	총계(170)	115.26±8.68	77.74	142.59	

a p<0.1 \* p<0.05 \*\* p<0.01 \*\*\* p<0.001

表V57. 미간폭 체질별 비교

변수	집단(빈도수)	평균±표준편차	최소치	최대치	집단간 비교
미간폭	태음인(75)	30.91±5.18	21.32	45.66	
	소음인(39)	29.13±5.48	16.11	48.47	
	소양인(56)	29.27±5.60	20.77	49.56	
	총계(170)	29.96±5.42	16.11	49.56	

a p<0.1 \* p<0.05 \*\* p<0.01 \*\*\* p<0.001

表V58. 양안미간폭 체질별 비교

변수	집단(빈도수)	평균±표준편차	최소치	최대치	집단간 비교
양안미간폭	태음인(75)	95.82±6.56	84.06	113.45	태음인>소양인 F: 4.22 *
	소음인(39)	95.25±5.55	81.44	103.96	
	소양인(56)	92.74±5.98	80.36	111.72	
	총계(170)	94.68±6.27	80.36	113.45	

a p<0.1 \* p<0.05 \*\* p<0.01 \*\*\* p<0.001

表V59. 내안각간폭 체질별 비교

변수	집단(빈도수)	평균±표준편차	최소치	최대치	집단간 비교
내안각간폭	태음인(75)	35.64±4.00	26.97	53.99	
	소음인(39)	34.46±3.56	22.02	41.23	
	소양인(56)	35.09±3.21	28.33	47.81	
	총계(170)	35.19±3.66	22.02	53.99	

a p<0.1 \* p<0.05 \*\* p<0.01 \*\*\* p<0.001

表V60. 비근폭 체질별 비교

변수	집단(빈도수)	평균±표준편차	최소치	최대치	집단간 비교
비근폭	태음인(75)	32.32±2.78	17.05	31.57	
	소음인(39)	22.39±2.22	18.09	27.09	
	소양인(56)	22.85±2.73	17.34	30.44	
	총계(170)	22.95±2.66	17.05	31.57	

a p<0.1 \* p<0.05 \*\* p<0.01 \*\*\* p<0.001

表V61. 동자외연각간폭 체질별 비교

변수	집단(빈도수)	평균±표준편차	최소치	최대치	집단간 비교
동자 외연각간폭	태음인(75)	75.54±4.29	67.22	89.04	
	소음인(39)	74.82±4.76	65.01	89.27	
	소양인(56)	74.57±4.50	62.46	89.33	
	총계(170)	75.08±4.74	62.46	89.33	

a p<0.1 \* p<0.05 \*\* p<0.01 \*\*\* p<0.001

表V62. 동공점간폭 체질별 비교

변수	집단(빈도수)	평균±표준편차	최소치	최대치	집단간 비교
동공점간폭	태음인(75)	64.28±4.54	55.78	76.87	
	소음인(39)	63.18±4.21	53.97	74.56	
	소양인(56)	62.89±4.02	51.64	75.97	
	총계(170)	63.57±4.32	51.64	76.87	

a p<0.1 \* p<0.05 \*\* p<0.01 \*\*\* p<0.001

表V63. 동자내연각간폭 체질별 비교

변수	집단(빈도수)	평균±표준편차	최소치	최대치	집단간 비교
동자 내연각간폭	태음인(75)	52.97±3.99	45.93	64.04	
	소음인(39)	52.22±3.96	42.80	63.19	
	소양인(56)	51.84±3.72	41.95	63.38	
	총계(170)	52.43±3.90	41.95	64.04	

a p<0.1 \* p<0.05 \*\* p<0.01 \*\*\* p<0.001

表V64. 협융기간폭 체질별 비교

변수	집단(빈도수)	평균±표준편차	최소치	최대치	집단간 비교
협융기간폭	태음인(75)	77.71±7.10	59.61	93.57	
	소음인(39)	75.97±6.77	55.17	90.98	
	소양인(56)	76.19±5.92	63.26	91.34	
	총계(170)	76.81±6.66	55.17	93.57	

a p<0.1 \* p<0.05 \*\* p<0.01 \*\*\* p<0.001

表V65. 비폭 체질별 비교

변수	집단(빈도수)	평균±표준편차	최소치	최대치	집단간 비교
비폭	태음인(75)	41.71±3.97	35.06	53.37	태음인>소음인 F:2.79 a
	소음인(39)	40.07±3.80	33.82	48.93	
	소양인(56)	40.70±3.28	33.62	51.06	
	총계(170)	41.00±3.76	33.62	53.37	

a p<0.1 \* p<0.05 \*\* p<0.01 \*\*\* p<0.001

表V66. 인중폭 체질별 비교

변수	집단(빈도수)	평균±표준편차	최소치	최대치	집단간 비교
인중폭	태음인(75)	13.22±1.86	9.16	17.99	
	소음인(39)	12.94±1.15	9.68	15.45	
	소양인(56)	13.39±2.05	9.70	21.32	
	총계(170)	13.21±1.84	9.19	21.32	

a p<0.1 \* p<0.05 \*\* p<0.01 \*\*\* p<0.001

表V67. 하악각간폭 체질별 비교

변수	집단(빈도수)	평균±표준편차	최소치	최대치	집단간 비교
하악각간폭	태음인(75)	126.10±9.35	107.68	153.13	태음인>소양인 태음인>소음인 F:4.87 **
	소음인(39)	121.46±8.19	107.59	144.07	
	소양인(56)	121.97±9.16	99.26	146.74	
	총계(170)	123.68±9.24	99.26	153.13	

a p<0.1 \* p<0.05 \*\* p<0.01 \*\*\* p<0.001

表V68. 구각간폭 체질별 비교

변수	집단(빈도수)	평균±표준편차	최소치	최대치	집단간 비교
구각간폭	태음인(75)	50.64±4.89	41.05	64.53	
	소음인(39)	50.19±5.01	40.85	63.51	
	소양인(56)	50.14±4.68	40.58	68.75	
	총계(170)	50.37±4.83	40.58	68.75	

a p<0.1 \* p<0.05 \*\* p<0.01 \*\*\* p<0.001

表V69. 턱결절간폭 체질별 비교

변수	집단(빈도수)	평균±표준편차	최소치	최대치	집단간 비교
턱결절간폭	태음인(75)	32.14±5.11	19.54	44.22	
	소음인(39)	33.22±6.67	19.35	59.75	
	소양인(56)	31.85±3.76	23.60	39.34	
	총계(170)	32.29±5.13	19.35	59.75	

a p<0.1 \* p<0.05 \*\* p<0.01 \*\*\* p<0.001

表V70. 이두고 체질별 비교

변수	집단(빈도수)	평균±표준편차	최소치	최대치	집단간 비교
이두고	태음인(75)	128.31±8.93	104.49	149.54	
	소음인(39)	127.88±10.18	105.65	157.45	
	소양인(56)	125.67±8.51	93.41	144.37	
	총계(170)	127.34±9.12	93.41	157.45	

a p<0.1 \* p<0.05 \*\* p<0.01 \*\*\* p<0.001

表V71. 이주머리 높이 체질별 비교

변수	집단(빈도수)	평균±표준편차	최소치	최대치	집단간 비교
이주머리 높이	태음인(75)	139.87±9.16	116.24	165.13	
	소음인(39)	139.14±9.97	119.82	168.09	
	소양인(56)	137.32±8.08	108.68	156.60	
	총계(170)	138.86±9.03	108.68	168.09	

a p<0.1 \* p<0.05 \*\* p<0.01 \*\*\* p<0.001

表V72. Sellion tp stomion 체질별 비교

변수	집단(빈도수)	평균±표준편차	최소치	최대치	집단간 비교
Sellion to stomion	태음인(75)	76+.63±6.09	60.07	90.28	
	소음인(39)	74.53±5.60	64.22	88.34	
	소양인(56)	75.21±6.50	61.20	90.57	
	총계(170)	75.69±6.14	61.20	90.57	

a p<0.1 \* p<0.05 \*\* p<0.01 \*\*\* p<0.001

表V73. Glabella tp stomion의 체질별 비교

변수	집단(빈도수)	평균±표준편차	최소치	최대치	집단간 비교
Glabella tp stomion	태음인(75)	94.42±6.86	79.28	111.22	
	소음인(39)	92.82±6.60	80.74	108.37	
	소양인(56)	92.61±6.87	79.27	107.72	
	총계(170)	93.46±6.82	79.27	111.22	

a p<0.1 \* p<0.05 \*\* p<0.01 \*\*\* p<0.001

表V74. Sellion to subnasal의 체질별 비교

변수	집단(빈도수)	평균±표준편차	최소치	최대치	집단간 비교
Sellion to subnasal	태음인(75)	51.46±4.77	41.12	61.00	
	소음인(39)	50.61±5.13	31.65	59.33	
	소양인(56)	50.63±4.65	42.06	62.08	
	총계(170)	50.99±4.81	31.65	62.08	

a p<0.1 \* p<0.05 \*\* p<0.01 \*\*\* p<0.001

表V75. Trichron to sellion 체질별 비교

변수	집단(빈도수)	평균±표준편차	최소치	최대치	집단간 비교
Trichron to sellion	태음인(75)	73.45±10.20	11.39	87.94	
	소음인(39)	75.15±6.06	62.07	87.68	
	소양인(56)	73.84±7.52	60.88	99.02	
	총계(170)	73.97±8.52	11.39	99.02	

a p<0.1 \* p<0.05 \*\* p<0.01 \*\*\* p<0.001

表V76. Total lip height projected의 체질별 비교

변수	집단(빈도수)	평균±표준편차	최소치	최대치	집단간 비교
	태음인(75)	18.80±4.03	10.92	37.56	태음인>소양인 F;2.81 a
	소음인(39)	18.97±3.40	11.75	30.82	
	소양인(56)	17.33±4.21	9.42	34.45	
	총계(170)	18.36±4.00	9.42	37.56	

a p<0.1 \* p<0.05 \*\* p<0.01 \*\*\* p<0.001

表V77. Upper lip height의 체질별 비교

변수	집단(빈도수)	평균±표준편차	최소치	최대치	집단간 비교
Upper lip height	태음인(75)	8.89±2.85	2.27	26.55	
	소음인(39)	8.98±2.59	2.57	14.37	
	소양인(56)	8.12±2.84	3.78	22.69	
	총계(170)	8.60±2.79	2.27	26.55	

a p<0.1 \* p<0.05 \*\* p<0.01 \*\*\* p<0.001

表V78. Lower lip height의 체질별 비교

변수	집단(빈도수)	평균±표준편차	최소치	최대치	집단간 비교
Lower lip height	태음인(75)	9.90±2.17	4.71	15.44	
	소음인(39)	10.25±3.51	4.75	25.16	
	소양인(56)	9.21±2.10	3.73	15.68	
	총계(170)	9.75±2.54	3.73	25.16	

a p<0.1 \* p<0.05 \*\* p<0.01 \*\*\* p<0.001

表V79. Subnasale to stomion의 체질별 비교

변수	집단(빈도수)	평균±표준편차	최소치	최대치	집단간 비교
Subnasale to stomion	태음인(75)	25.17±1.79	17.36	31.52	
	소음인(39)	23.93±4.32	15.27	40.88	
	소양인(56)	24.57±2.96	18.61	31.26	
	총계(170)	24.69±3.27	15.27	40.88	

a p<0.1 \* p<0.05 \*\* p<0.01 \*\*\* p<0.001

表V80. Philtrum length의 체질별 비교

변수	집단(빈도수)	평균±표준편차	최소치	최대치	집단간 비교
Philtrum length	태음인(75)	16.28±3.65	7.87	22.64	
	소음인(39)	15.20±5.39	8.59	41.97	
	소양인(56)	16.45±4.00	7.86	24.69	
	총계(170)	16.09±4.22	7.86	41.97	

a p<0.1 \* p<0.05 \*\* p<0.01 \*\*\* p<0.001

表V81. 상안고의 체질별 비교

변수	집단(빈도수)	평균±표준편차	최소치	최대치	집단간 비교
상안고	태음인(75)	56.27±9.50	46.22	71.74	
	소음인(39)	56.86±5.86	43.61	71.65	
	소양인(56)	56.44±6.82	39.63	81.14	
	총계(170)	56.52±7.91	39.63	81.14	

a p<0.1 \* p<0.05 \*\* p<0.01 \*\*\* p<0.001

表V82. 중안고의 체질별 비교

변수	집단(빈도수)	평균±표준편차	최소치	최대치	집단간 비교
중안고	태음인(75)	69.25±5.42	58.30	81.06	
	소음인(39)	68.89±6.24	49.89	79.80	
	소양인(56)	68.03±5.72	57.90	82.36	
	총계(170)	68.77±5.71	49.89	82.36	

a p<0.1 \* p<0.05 \*\* p<0.01 \*\*\* p<0.001

表V83. 하안고의 체질별 비교

변수	집단(빈도수)	평균±표준편차	최소치	최대치	집단간 비교
하안고	태음인(75)	70.89±5.88	59.48	89.59	태음인>소양인 F:2.81 a
	소음인(39)	68.60±6.85	59.12	89.24	
	소양인(56)	68.83±5.20	59.22	84.13	
	총계(170)	69.69±5.97	59.12	89.59	

a p<0.1 \* p<0.05 \*\* p<0.01 \*\*\* p<0.001

表V84. 상안고비의 체질별 비교

변수	집단(빈도수)	평균±표준편차	최소치	최대치	집단간 비교
상안고비	태음인(75)	28.25±4.36	23.54	34.91	
	소음인(39)	29.24±2.23	24.63	34.84	
	소양인(56)	29.16±2.57	21.83	35.02	
	총계(170)	28.78±3.44	21.83	35.02	

a p<0.1 \* p<0.05 \*\* p<0.01 \*\*\* p<0.001

表V85. 중안고비의 체질별 비교

변수	집단(빈도수)	평균±표준편차	최소치	최대치	집단간 비교
중안고비	태음인(75)	35.46±2.65	31.57	50.12	
	소음인(39)	35.47±2.72	25.42	39.70	
	소양인(56)	35.21±2.30	31.03	42.23	
	총계(170)	35.38±2.54	25.42	50.12	

a p<0.1 \* p<0.05 \*\* p<0.01 \*\*\* p<0.001

表V86. 하안고비율의 체질별 비교

변수	집단(빈도수)	평균±표준편차	최소치	최대치	집단간 비교
하안고비율	태음인(75)	36.29±2.75	31.67	52.98	
	소음인(39)	35.28±2.57	31.27	45.47	
	소양인(56)	35.63±2.06	31.35	41.35	
	총계(170)	35.84±2.52	31.27	52.98	

a p<0.1 \* p<0.05 \*\* p<0.01 \*\*\* p<0.001

表V87. 안고폭지수의 체질별 비교

변수	집단(빈도수)	평균±표준편차	최소치	최대치	집단간 비교
안고폭지수	태음인(75)	65.02±4.69	57.41	83.59	
	소음인(39)	63.37±5.07	54.82	78.84	
	소양인(56)	63.90±4.40	53.84	76.72	
	총계(170)	64.27±4.71	53.84	83.59	

a p<0.1 \* p<0.05 \*\* p<0.01 \*\*\* p<0.001

表V88. (하악각간폭÷안최대폭×100)의 체질별 비교

변수	집단(빈도수)	평균±표준편차	최소치	최대치	집단간 비교
	태음인(75)	83.36±5.87	63.14	96.22	
	소음인(39)	83.43±5.62	59.88	92.23	
	소양인(56)	83.52±5.06	71.92	93.63	
	총계(170)	83.43±5.52	59.88	96.22	

a p<0.1 \* p<0.05 \*\* p<0.01 \*\*\* p<0.001

表V89. (구각간폭÷하악각간폭×100)의 체질별 비교

변수	집단(빈도수)	평균±표준편차	최소치	최대치	집단간 비교
	태음인(75)	40.26±3.86	32.69	51.45	
	소음인(39)	41.38±3.72	33.02	49.94	
	소양인(56)	41.25±3.99	33.80	51.93	
	총계(170)	40.84±3.88	32.69	51.93	

a p<0.1 \* p<0.05 \*\* p<0.01 \*\*\* p<0.001

表V90. (비폭÷안최대폭×100)의 체질별 비교

변수	집단(빈도수)	평균±표준편차	최소치	최대치	집단간 비교
	태음인(75)	94.86±1.91	90.35	100.998	
	소음인(39)	94.49±1.33	91.61	97.41	
	소양인(56)	94.51±2.25	89.69	105.78	
	총계(170)	94.66±1.92	89.69	105.78	

a p<0.1 \* p<0.05 \*\* p<0.01 \*\*\* p<0.001

表V91. (미간점고÷미정점고×100)의 체질별 비교

변수	집단(빈도수)	평균±표준편차	최소치	최대치	집단간 비교
	태음인(75)	94.85±1.91	90.35	100.98	
	소음인(39)	94.49±1.33	91.11	97.41	
	소양인(56)	94.51±2.25	89.68	105.78	
	총계(170)	94.66±1.91	89.68	105.78	

a p<0.1 \* p<0.05 \*\* p<0.01 \*\*\* p<0.001

表V92. 두장고지수의 체질별 비교

변수	집단(빈도수)	평균±표준편차	최소치	최대치	집단간 비교
두장고지수	태음인(75)	106.13±7.31	72.24	118.97	
	소음인(39)	106.23±4.82	94.70	116.73	
	소양인(56)	105.19±5.59	92.63	120.94	
	총계(170)	105.85±6.25	72.24	120.94	

a p<0.1 \* p<0.05 \*\* p<0.01 \*\*\* p<0.001

表V93. 액폭고지수의 체질별 비교

변수	집단(빈도수)	평균±표준편차	최소치	최대치	집단간 비교
액폭고지수	태음인(75)	213.07±35.20	140.58	316.20	
	소음인(39)	222.89±39.10	145.04	386.16	
	소양인(56)	220.64±34.35	138.96	289.89	
	총계(170)	217.82±35.90	138.96	386.16	

a p<0.1 \* p<0.05 \*\* p<0.01 \*\*\* p<0.001

表V94. (동공점간폭÷안최대폭×100)의 체질별 비교

변수	집단(빈도수)	평균±표준편차	최소치	최대치	집단간 비교
	태음인(75)	42.46±2.34	32.91	47.39	소음인>태음인 F:2.64 a
	소음인(39)	43.35±2.15	34.24	47.48	
	소양인(56)	43.06±1.77	39.05	46.55	
	총계(170)	42.86±2.14	32.91	47.48	

a p<0.1 \* p<0.05 \*\* p<0.01 \*\*\* p<0.001

表V95. (비폭÷안최대폭×100)의 체질별 비교

변수	집단(빈도수)	평균±표준편차	최소치	최대치	집단간 비교
	태음인(75)	27.55±2.25	20.88	32.68	
	소음인(39)	27.49±2.16	19.64	31.81	
	소양인(56)	27.87±1.77	23.20	31.44	
	총계(170)	27.64±2.08	19.64	32.68	

a p<0.1 \* p<0.05 \*\* p<0.01 \*\*\* p<0.001

表V96. ((비익상점고-비익하점고)÷전두고×100)의 체질별 비교

변수	집단(빈도수)	평균±표준편차	최소치	최대치	집단간 비교
	태음인(75)	48.11±2.38	41.99	52.87	
	소음인(39)	47.65±3.62	40.21	59.16	
	소양인(56)	48.21±3.24	38.44	56.98	
	총계(170)	48.03±2.98	38.44	59.16	

a p<0.1 \* p<0.05 \*\* p<0.01 \*\*\* p<0.001

表V97. (미간점방사경÷전두고×100)의 체질별 비교

변수	집단(빈도수)	평균±표준편차	최소치	최대치	집단간 비교
	태음인(75)	48.11±2.38	41.99	52.87	
	소음인(39)	47.65±3.62	40.21	59.16	
	소양인(56)	48.21±3.24	38.44	56.98	
	총계(170)	48.03±2.98	38.44	59.16	

a p<0.1 \* p<0.05 \*\* p<0.01 \*\*\* p<0.001

表V98. (미간점방사경÷발제점방사경×100)의 체질별 비교

변수	집단(빈도수)	평균±표준편차	최소치	최대치	집단간 비교
	태음인(75)	84.68±3.20	73.69	97.67	
	소음인(39)	84.57±3.98	78.95	98.11	
	소양인(56)	84.81±3.27	75.14	90.90	
	총계(170)	84.70±3.39	73.69	98.11	

a p<0.1 \* p<0.05 \*\* p<0.01 \*\*\* p<0.001

表V99. (미간점방사경÷전두융기점방사경×100)의 체질별 비교

변수	집단(빈도수)	평균±표준편차	최소치	최대치	집단간 비교
	태음인(75)	88.96±2.99	77.40	98.51	
	소음인(39)	89.23±4.10	83.39	105.78	
	소양인(56)	89.51±2.59	79.92	94.89	
	총계(170)	89.20±3.15	77.40	105.78	

a p<0.1 \* p<0.05 \*\* p<0.01 \*\*\* p<0.001

表V100. (미간점방사경÷비하점방사경×100)의 체질별 비교

변수	집단(빈도수)	평균±표준편차	최소치	최대치	집단간 비교
	태음인(75)	106.86±4.98	91.50	118.60	
	소음인(39)	106.09±6.19	93.36	126.75	
	소양인(56)	106.05±4.32	91.22	113.44	
	총계(170)	106.41±5.07	91.22	126.75	

a p<0.1 \* p<0.05 \*\* p<0.01 \*\*\* p<0.001

表V101. (미간점방사경÷상순점방사경×100)의 체질별 비교

변수	집단(빈도수)	평균±표준편차	최소치	최대치	집단간 비교
	태음인(75)	98.05±3.99	89.73	107.01	
	소음인(39)	98.72±6.02	82.31	115.12	
	소양인(56)	97.81±5.05	82.37	117.57	
	총계(170)	98.12±4.85	82.31	117.57	

a p<0.1 \* p<0.05 \*\* p<0.01 \*\*\* p<0.001

表V102. (비근점방사경÷미간점방사경×100)의 체질별 비교

변수	집단(빈도수)	평균±표준편차	최소치	최대치	집단간 비교
	태음인(75)	91.21±3.01	85.11	103.80	
	소음인(39)	90.80±4.24	77.88	106.52	
	소양인(56)	91.40±3.26	83.58	107.44	
	총계(170)	91.18±3.39	77.88	107.44	

a p<0.1 \* p<0.05 \*\* p<0.01 \*\*\* p<0.001

表V103. (비하점방사경÷턱하점방사경×100)의 체질별 비교

변수	집단(빈도수)	평균±표준편차	최소치	최대치	집단간 비교
	태음인(75)	83.93±3.81	73.96	94.69	
	소음인(39)	85.59±5.01	74.19	98.69	
	소양인(56)	84.67±4.06	76.59	95.09	
	총계(170)	84.55±4.22	73.96	98.69	

a p<0.1 \* p<0.05 \*\* p<0.01 \*\*\* p<0.001

表V104. (비하점방사경÷턱음기점방사경×100)의 체질별 비교

변수	집단(빈도수)	평균±표준편차	최소치	최대치	집단간 비교
	태음인(75)	84.86±3.50	76.81	94.44	
	소음인(39)	85.76±3.64	76.87	97.51	
	소양인(56)	85.40±3.22	77.88	91.35	
	총계(170)	85.25±3.44	76.81	97.51	

a p<0.1 \* p<0.05 \*\* p<0.01 \*\*\* p<0.001

表V105. (하악저장÷비하점방사경×100) 체질별 비교

변수	집단(빈도수)	평균±표준편차	최소치	최대치	집단간 비교
	태음인(75)	42.48±11.52	13.86	70.19	태음인>소음인 태음인>소양인 F;13.4 ***
	소음인(39)	34.64±7.21	20.05	52.78	
	소양인(56)	34.95±7.82	17.50	56.60	
	총계(170)	38.22±10.22	13.86	70.19	

a p<0.1 \* p<0.05 \*\* p<0.01 \*\*\* p<0.001

表V106. (비근폭÷비폭×100)의 체질별 비교

변수	집단(빈도수)	평균±표준편차	최소치	최대치	집단간 비교
	태음인(75)	56.28±7.82	41.00	88.21	
	소음인(39)	56.28±6.90	39.55	67.39	
	소양인(56)	56.40±7.13	41.16	29.84	
	총계(170)	56.32±7.35	39.55	88.81	

a p<0.1 \* p<0.05 \*\* p<0.01 \*\*\* p<0.001

表V107. ((동공외연간폭-동공내연간폭)÷2)의 체질별 비교

변수	집단(빈도수)	평균±표준편차	최소치	최대치	집단간 비교
	태음인(75)	11.28±0.81	9.23	13.09	
	소음인(39)	11.30±0.87	8.97	13.04	
	소양인(56)	11.33±0.85	9.67	14.03	
	총계(170)	11.31±0.83	8.87	14.03	

a p<0.1 \* p<0.05 \*\* p<0.01 \*\*\* p<0.001

表V108. ((양안미간폭-내안각간폭)÷2) 체질별 비교

변수	집단(빈도수)	평균±표준편차	최소치	최대치	집단간 비교
	태음인(75)	30.09±3.08	15.25	36.18	소음인>소양인 태음인>소양인 F:5.20 **
	소음인(39)	30.40±2.27	24.87	35.76	
	소양인(56)	28.83±2.21	23.90	36.60	
	총계(170)	29.74±2.71	15.25	36.61	

a p<0.1 \* p<0.05 \*\* p<0.01 \*\*\* p<0.001

表V109. 전두고÷전안고 × 100 = V1÷V2 × 100

변수	집단(빈도수)	평균±표준편차	최소치	최대치	집단간 비교
	태음인(75)	119.72±8.28	106.91	174.35	
	소음인(39)	118.98±6.12	101.42	135.06	
	소양인(56)	118.77±6.27	102.61	133.74	
	총계(170)	119.23±6.27	102.61	133.74	

a p<0.1 \* p<0.05 \*\* p<0.01 \*\*\* p<0.001

表 V110. 전두고÷동공점간폭 × 100 = V1÷V62 × 100

변수	집단(빈도수)	평균±표준편차	최소치	최대치	집단간 비교
	태음인(75)	364.56±25.43	303.71	428.80	
	소음인(39)	366.77±29.89	311.02	436.32	
	소양인(56)	365.69±28.31	301.25	432.51	
	총계(170)	365.44±27.31	301.25	436.32	

a p<0.1 \* p<0.05 \*\* p<0.01 \*\*\* p<0.001

表V111. 전안고 ÷ 동공점간폭 × 100

변수	집단(빈도수)	평균±표준편차	최소치	최대치	집단간 비교
	태음인(75)	305.47±25.43	231.18	382.64	
	소음인(39)	308.42±21.71	250.48	346.24	
	소양인(56)	308.30±24.01	267.13	371.02	
	총계(170)	307.08±24.06	231.18	382.64	

a p<0.1 \* p<0.05 \*\* p<0.01 \*\*\* p<0.001

表V112.상안고 ÷ 동공점간폭 × 100

변수	집단(빈도수)	평균±표준편차	최소치	최대치	집단간 비교
	태음인(75)	86.71±15.28	-7.16	114.43	
	소음인(39)	90.19±9.44	68.45	112.67	
	소양인(56)	89.95±11.24	66.15	128.65	
	총계(170)	88.59±12.89	-7.16	128.65	

a p<0.1 \* p<0.05 \*\* p<0.01 \*\*\* p<0.001

表V113.중안고 ÷ 동공점간폭 × 100

변수	집단(빈도수)	평균±표준편차	최소치	최대치	집단간 비교
	태음인(75)	108.13±10.05	84.83	132.13	
	소음인(39)	109.36±10.92	75.45	131.90	
	소양인(56)	108.58±11.49	87.50	148.51	
	총계(170)	108.57±10.69	75.45	148.51	

a p<0.1 \* p<0.05 \*\* p<0.01 \*\*\* p<0.001

表V114.비하점고 ÷ 동공점간폭 × 100

변수	집단(빈도수)	평균±표준편차	최소치	최대치	집단간 비교
	태음인(75)	110.62±10.02	92.60	136.09	
	소음인(39)	108.87±11.46	82.67	134.97	
	소양인(56)	109.77±9.65	89.76	135.26	
	총계(170)	109.94±10.21	82.67	136.09	

a p<0.1 \* p<0.05 \*\* p<0.01 \*\*\* p<0.001

表V115.Trichron to sellione projected ÷ 전안고 × 100 = V75÷V2 × 100

변수	집단(빈도수)	평균±표준편차	최소치	최대치	집단간 비교
	태음인(75)	37.36±4.16	8.80	44.83	
	소음인(39)	38.67±2.03	35.23	43.84	
	소양인(56)	38.18±2.75	31.15	44.93	
	총계(170)	37.93±3.36	8.80	44.93	

a p<0.1 \* p<0.05 \*\* p<0.01 \*\*\* p<0.001

表V116.Trichron to sellione projected ÷ 동공점간폭 × 100 = V75 ÷ V62 × 100

변수	집단(빈도수)	평균±표준편차	최소치	최대치	집단간 비교
	태음인(75)	114.59±17.15	20.34	149.75	
	소음인(39)	119.22±10.02	98.65	140.97	
	소양인(56)	117.77±13.10	84.89	157.00	
	총계(170)	116.70±14.53	20.34	157.00	

a p<0.1 \* p<0.05 \*\* p<0.01 \*\*\* p<0.001

表V117.중안고 ÷ 전안고 × 100 = V82 ÷ V2 × 100

변수	집단(빈도수)	평균±표준편차	최소치	최대치	집단간 비교
	태음인(75)	35.46±2.65	31.57	50.12	
	소음인(39)	35.47±2.72	25.42	39.70	
	소양인(56)	35.21±2.30	31.03	42.23	
	총계(170)	35.38±2.54	25.42	50.12	

a p<0.1 \* p<0.05 \*\* p<0.01 \*\*\* p<0.001

表V118.중안고 ÷ 동공점간폭 × 100

변수	집단(빈도수)	평균±표준편차	최소치	최대치	집단간 비교
	태음인(75)	108.13±10.05	84.83	132.13	
	소음인(39)	109.36±10.91	75.45	131.90	
	소양인(56)	108.58±11.49	87.50	148.51	
	총계(170)	108.56±10.69	75.45	148.51	

a p<0.1 \* p<0.05 \*\* p<0.01 \*\*\* p<0.001

表V119.Glabella to stomion ÷ 전안고 × 100 = V73 ÷ V2 × 100

변수	집단(빈도수)	평균±표준편차	최소치	최대치	집단간 비교
	태음인(75)	48.36±3.48	43.63	70.21	
	소음인(39)	47.78±2.15	43.11	52.55	
	소양인(56)	47.93±2.56	42.91	55.34	
	총계(170)	48.08±2.93	42.91	70.21	

a p<0.1 \* p<0.05 \*\* p<0.01 \*\*\* p<0.001

表V120.Glabella to stomion ÷ 동공점간폭 × 100 = V73 ÷ V62 × 100

변수	집단(빈도수)	평균±표준편차	최소치	최대치	집단간 비교
	태음인(75)	147.42±12.90	117.69	176.80	
	소음인(39)	147.29±11.54	110.74	173.47	
	소양인(56)	147.74±13.84	125.34	194.58	
	총계(170)	147.50±12.85	117.69	194.58	

a p<0.1 \* p<0.05 \*\* p<0.01 \*\*\* p<0.001

表V121.구열점고 ÷ 전안고 × 100

변수	집단(빈도수)	평균±표준편차	최소치	최대치	집단간 비교
	태음인(75)	23.39±2.16	18.64	32.89	
	소음인(39)	21.98±1.48	20.25	25.96	
	소양인(56)	22.91±1.66	17.91	26.84	
	총계(170)	23.14±1.87	17.91	32.89	

a p<0.1 \* p<0.05 \*\* p<0.01 \*\*\* p<0.001

表V122.구열점고 ÷ 동공점간폭 × 100

변수	집단(빈도수)	평균±표준편차	최소치	최대치	집단간 비교
	태음인(75)	71.33±7.90	57.32	98.09	
	소음인(39)	70.95±7.46	50.95	89.87	
	소양인(56)	70.61±7.19	51.11	90.23	
	총계(170)	70.05±7.54	50.95	98.09	

a p<0.1 \* p<0.05 \*\* p<0.01 \*\*\* p<0.001

表V123.동공점고 ÷ 전안고 × 100

변수	집단(빈도수)	평균±표준편차	최소치	최대치	집단간 비교
	태음인(75)	61.23±4.09	55.42	90.29	
	소음인(39)	60.64±2.27	55.59	64.43	
	소양인(56)	60.34±2.49	54.37	65.96	
	총계(170)	60.80±3.25	54.37	90.29	

a p<0.1 \* p<0.05 \*\* p<0.01 \*\*\* p<0.001

表V124.동공점고 ÷ 동공점간폭 × 100

변수	집단(빈도수)	평균±표준편차	최소치	최대치	집단간 비교
	태음인(75)	186.64±14.99	154.25	229.35	
	소음인(39)	187.03±15.12	146.70	216.53	
	소양인(56)	185.90±14.54	156.35	21.43	
	총계(170)	186.49±14.80	146.70	229.35	

a p<0.1 \* p<0.05 \*\* p<0.01 \*\*\* p<0.001

表V125.안최대폭 ÷ 전두고 × 100

변수	집단(빈도수)	평균±표준편차	최소치	최대치	집단간 비교
	태음인(75)	65.02±4.69	57.41	83.59	
	소음인(39)	63.36±5.06	54.82	78.84	
	소양인(56)	63.89±4.40	53.84	76.72	
	총계(170)	64.27±4.71	53.84	83.59	

a p<0.1 \* p<0.05 \*\* p<0.01 \*\*\* p<0.001

表V126.안최대폭 ÷ 전안고 × 100

변수	집단(빈도수)	평균±표준편차	최소치	최대치	집단간 비교
	태음인(75)	77.77±6.72	68.28	105.52	
	소음인(39)	75.31±6.27	65.95	96.13	
	소양인(56)	75.77±4.92	62.33	87.91	
	총계(170)	76.55±6.14	62.33	105.52	

a p<0.1 \* p<0.05 \*\* p<0.01 \*\*\* p<0.001

表V127.안최대폭 ÷ 동공점간폭 × 100

변수	집단(빈도수)	평균±표준편차	최소치	최대치	집단간 비교
	태음인(75)	236.30±14.28	212.05	303.88	
	소음인(39)	231.29±12.93	210.64	292.08	
	소양인(56)	232.64±9.64	214.81	256.09	
	총계(170)	233.95±12.72	210.64	303.88	

a p<0.1 \* p<0.05 \*\* p<0.01 \*\*\* p<0.001

表V128.전액폭 ÷ 전두고 × 100

변수	집단(빈도수)	평균±표준편차	최소치	최대치	집단간 비교
	태음인(75)	52.73±3.89	44.07	62.31	
	소음인(39)	53.03±5.22	42.39	68.48	
	소양인(56)	52.89±4.23	42.52	64.39	
	총계(170)	52.85±4.31	42.39	68.48	

a p<0.1 \* p<0.05 \*\* p<0.01 \*\*\* p<0.001

表V129.전액폭 ÷ 전안고 × 100

변수	집단(빈도수)	평균±표준편차	최소치	최대치	집단간 비교
	태음인(75)	63.04±5.21	53.32	80.26	
	소음인(39)	62.97±5.84	53.90	85.03	
	소양인(56)	62.73±4.97	51.86	74.53	
	총계(170)	62.92±5.25	51.86	85.03	

a p<0.1 \* p<0.05 \*\* p<0.01 \*\*\* p<0.001

表V130.전액폭 ÷ 안최대폭 × 100

변수	집단(빈도수)	평균±표준편차	최소치	최대치	집단간 비교
	태음인(75)	81.24±5.12	68.02	93.88	
	소음인(39)	83.81±6.57	63.68	100.00	
	소양인(56)	81.84±4.70	66.29	91.69	
	총계(170)	82.36±50.43	63.68	100.00	

a p<0.1 \* p<0.05 \*\* p<0.01 \*\*\* p<0.001

表V131.전액폭 ÷ 동공점간폭 × 100

변수	집단(빈도수)	평균±표준편차	최소치	최대치	집단간 비교
	태음인(75)	191.55±10.60	169.29	222.79	
	소음인(39)	193.43±13.75	166.32	239.19	
	소양인(56)	192.56±11.07	159.94	212.61	
	총계(170)	192.32±11.50	159.94	239.19	

a p<0.1 \* p<0.05 \*\* p<0.01 \*\*\* p<0.001

表V132.측두선간폭 ÷ 전두고 × 100

변수	집단(빈도수)	평균±표준편차	최소치	최대치	집단간 비교
	태음인(75)	44.63±4.26	33.66	54.39	
	소음인(39)	44.12±4.92	30.42	55.57	
	소양인(56)	44.74±4.19	36.60	54.75	
	총계(170)	44.55±4.38	30.42	55.57	

a p<0.1 \* p<0.05 \*\* p<0.01 \*\*\* p<0.001

表V133.측두선간폭 ÷ 전안고 × 100

변수	집단(빈도수)	평균±표준편차	최소치	최대치	집단간 비교
	태음인(75)	53.36±5.49	41.03	66.93	
	소음인(39)	52.40±5.78	38.87	69.00	
	소양인(56)	53.06±4.97	42.61	64.79	
	총계(170)	53.04±5.38	38.87	69.00	

a p<0.1 \* p<0.05 \*\* p<0.01 \*\*\* p<0.001

表V134.측두선간폭 ÷ 안최대폭 × 100

변수	집단(빈도수)	평균±표준편차	최소치	최대치	집단간 비교
	태음인(75)	68.77±6.04	48.09	80.65	
	소음인(39)	69.64±5.80	54.68	80.30	
	소양인(56)	70.06±5.08	58.41	79.94	
	총계(170)	69.39±5.68	48.09	80.65	

a p<0.1 \* p<0.05 \*\* p<0.01 \*\*\* p<0.001

表V135.측두선간폭 ÷ 동공점간폭 × 100

변수	집단(빈도수)	평균±표준편차	최소치	최대치	집단간 비교
	태음인(75)	161.95±10.88	137.31	187.65	
	소음인(39)	160.77±12.56	128.53	187.77	
	소양인(56)	162.77±10.79	140.93	188.30	
	총계(170)	161.95±11.21	128.53	188.30	

a p<0.1 \* p<0.05 \*\* p<0.01 \*\*\* p<0.001

表V136.미간초간폭 ÷ 전두고 × 100

변수	집단(빈도수)	평균±표준편차	최소치	최대치	집단간 비교
	태음인(75)	49.65±4.08	34.87	58.11	
	소음인(39)	49.90±4.04	43.14	59.70	
	소양인(56)	50.19±4.07	43.01	61.81	
	총계(170)	49.90±4.03	34.87	61.81	

a p<0.1 \* p<0.05 \*\* p<0.01 \*\*\* p<0.001

表V137.미간초간폭 ÷ 전안고 × 100

변수	집단(빈도수)	평균±표준편차	최소치	최대치	집단간 비교
	태음인(75)	59.42±6.25	40.90	87.57	
	소음인(39)	59.28±4.66	52.37	74.13	
	소양인(56)	59.55±4.94	47.31	70.22	
	총계(170)	59.43±5.47	40.90	87.57	

a p<0.1 \* p<0.05 \*\* p<0.01 \*\*\* p<0.001

表V138.미간초간폭 ÷ 안최대폭 × 100

변수	집단(빈도수)	평균±표준편차	최소치	최대치	집단간 비교
	태음인(75)	76.54±5.81	42.99	86.30	
	소음인(39)	78.89±4.89	61.65	86.01	
	소양인(56)	78.57±3.72	69.12	85.42	
	총계(170)	77.75±5.09	42.99	86.30	

a p<0.1 \* p<0.05 \*\* p<0.01 \*\*\* p<0.001

表V139.미간초간폭 ÷ 동공점간폭 × 100

변수	집단(빈도수)	평균±표준편차	최소치	최대치	집단간 비교
	태음인(75)	180.36±12.01	130.63	205.07	
	소음인(39)	182.00±7.33	155.76	198.83	
	소양인(56)	182.70±10.23	154.25	203.36	
	총계(170)	181.51±10.51	130.63	205.07	

a p<0.1 \* p<0.05 \*\* p<0.01 \*\*\* p<0.001

表V140.미간폭 ÷ 전두고 × 100

변수	집단(빈도수)	평균±표준편차	최소치	최대치	집단간 비교
	태음인(75)	13.27±2.26	8.75	19.90	
	소음인(39)	12.66±2.47	7.37	20.29	
	소양인(56)	12.79±2.40	7.98	20.43	
	총계(170)	12.97±2.36	7.37	20.43	

a p<0.1 \* p<0.05 \*\* p<0.01 \*\*\* p<0.001

表V141미간폭 ÷ 전안고 × 100

변수	집단(빈도수)	평균±표준편차	최소치	최대치	집단간 비교
	태음인(75)	15.85±2.69	10.20	23.62	
	소음인(39)	15.03±2.89	8.61	23.91	
	소양인(56)	15.17±2.87	10.67	24.12	
	총계(170)	15.43±2.80	8.60	24.12	

a p<0.1 \* p<0.05 \*\* p<0.01 \*\*\* p<0.001

表V142.미간폭 ÷ 안최대폭 × 100

변수	집단(빈도수)	평균±표준편차	최소치	최대치	집단간 비교
	태음인(75)	20.43±3.35	13.19	29.97	
	소음인(39)	19.93±3.12	11.51	28.70	
	소양인(56)	20.03±3.55	14.70	31.62	
	총계(170)	20.18±3.36	11.51	31.62	

a p<0.1 \* p<0.05 \*\* p<0.01 \*\*\* p<0.001

表V143.미간폭 ÷ 동공점간폭 × 100

변수	집단(빈도수)	평균±표준편차	최소치	최대치	집단간 비교
	태음인(75)	48.16±7.70	31.63	71.13	
	소음인(39)	46.02±7.18	25.90	68.95	
	소양인(56)	46.47±7.66	34.50	71.96	
	총계(170)	47.11±7.59	25.90	71.96	

a p<0.1 \* p<0.05 \*\* p<0.01 \*\*\* p<0.001

表V144.양안미간폭 ÷ 전두고 × 100

변수	집단(빈도수)	평균±표준편차	최소치	최대치	집단간 비교
	태음인(75)	41.08±2.68	35.59	46.98	
	소음인(39)	41.37±3.15	33.72	47.23	
	소양인(56)	40.55±3.08	36.14	49.46	
	총계(170)	40.97±2.92	33.71	49.46	

a p<0.1 \* p<0.05 \*\* p<0.01 \*\*\* p<0.001

表V145. 양안미간폭 ÷ 전안고 × 100

변수	집단(빈도수)	평균±표준편차	최소치	최대치	집단간 비교
	태음인(75)	49.18±4.62	41.34	69.79	
	소음인(39)	49.14±3.53	41.58	57.11	
	소양인(56)	48.10±3.66	37.86	56.70	
	총계(170)	48.82±4.09	37.86	69.79	

a p<0.1 \* p<0.05 \*\* p<0.01 \*\*\* p<0.001

表V146.양안미간폭 ÷ 안최대폭 × 100

변수	집단(빈도수)	평균±표준편차	최소치	최대치	집단간 비교
	태음인(75)	63.30±3.54	49.04	69.69	소음인>태음인 소음인>소양인 **
	소음인(39)	65.41±3.74	55.94	71.26	
	소양인(56)	63.50±2.80	56.30	69.57	
	총계(170)	63.85±3.45	49.04	71.26	

a p<0.1 \* p<0.05 \*\* p<0.01 \*\*\* p<0.001

表V147.양안미간폭 ÷ 동공점간폭 × 100

변수	집단(빈도수)	평균±표준편차	최소치	최대치	집단간 비교
	태음인(75)	149.21±6.09	135.78	165.42	소음인>소양인*
	소음인(39)	150.96±6.72	135.67	164.51	
	소양인(56)	147.58±5.94	135.22	162.01	
	총계(170)	149.07±6.28	135.22	165.42	

a p<0.1 \* p<0.05 \*\* p<0.01 \*\*\* p<0.001

表V148.내안각간폭 ÷ 전두고 × 100

변수	집단(빈도수)	평균±표준편차	최소치	최대치	집단간 비교
	태음인(75)	15.30±1.93	11.74	25.64	
	소음인(39)	14.94±1.55	11.12	18.01	
	소양인(56)	15.36±1.62	12.11	20.57	
	총계(170)	15.24±1.74	11.12	25.64	

a p<0.1 \* p<0.05 \*\* p<0.01 \*\*\* p<0.001

表V149.내안각간폭 ÷ 전안고 × 100

변수	집단(빈도수)	평균±표준편차	최소치	최대치	집단간 비교
	태음인(75)	18.29±2.37	13.16	29.15	
	소음인(39)	17.78±2.06	12.03	22.08	
	소양인(56)	18.20±1.82	14.44	23.19	
	총계(170)	18.15±2.13	12.03	29.15	

a p<0.1 \* p<0.05 \*\* p<0.01 \*\*\* p<0.001

表V150.내안각간폭 ÷ 안최대폭 × 100

변수	집단(빈도수)	평균±표준편차	최소치	최대치	집단간 비교
	태음인(75)	23.55±2.52	16.80	37.61	
	소음인(39)	23.64±2.17	16.15	26.70	
	소양인(56)	24.02±1.79	20.91	29.30	
	총계(170)	23.72±2.22	16.15	37.61	

a p<0.1 \* p<0.05 \*\* p<0.01 \*\*\* p<0.001

表V151. 내안각간폭 ÷ 동공점간폭 × 100

변수	집단(빈도수)	평균±표준편차	최소치	최대치	집단간 비교
	태음인(75)	55.51±5.90	42.43	95.04	
	소음인(39)	54.56±4.57	35.72	61.59	
	소양인(56)	56.80±3.56	48.27	65.65	
	총계(170)	55.39±4.93	35.72	95.04	

a p<0.1 \* p<0.05 \*\* p<0.01 \*\*\* p<0.001

表V152. 동공점간폭 ÷ 전두고 × 100

변수	집단(빈도수)	평균±표준편차	최소치	최대치	집단간 비교
	태음인(75)	27.56±1.93	23.32	32.91	
	소음인(39)	27.44±2.20	22.92	32.15	
	소양인(56)	27.51±2.16	23.12	33.19	
	총계(170)	27.52±2.06	22.92	33.19	

a p<0.1 \* p<0.05 \*\* p<0.01 \*\*\* p<0.001

表V153. 동공점간폭 ÷ 전안고 × 100

변수	집단(빈도수)	평균±표준편차	최소치	최대치	집단간 비교
	태음인(75)	32.97±2.86	26.13	43.26	
	소음인(39)	32.59±2.38	28.88	39.92	
	소양인(56)	32.62±2.46	26.95	37.43	
	총계(170)	32.77±2.62	26.13	43.26	

a p<0.1 \* p<0.05 \*\* p<0.01 \*\*\* p<0.001

表V154. 동공점간폭 ÷ 안최대폭 × 100

변수	집단(빈도수)	평균±표준편차	최소치	최대치	집단간 비교
	태음인(75)	42.46±2.34	32.91	47.39	소음인>태음인a
	소음인(39)	43.35±2.15	34.24	47.48	
	소양인(56)	43.06±1.77	39.05	46.55	
	총계(170)	42.86±2.14	32.91	47.48	

a p<0.1 \* p<0.05 \*\* p<0.01 \*\*\* p<0.001

表V155. 비폭 ÷ 전두고 × 100

변수	집단(빈도수)	평균±표준편차	최소치	최대치	집단간 비교
	태음인(75)	17.89±1.74	14.74	22.85	
	소음인(39)	17.39±1.74	13.07	21.24	
	소양인(56)	17.80±1.63	14.63	21.97	
	총계(170)	17.75±1.70	13.07	22.85	

a p<0.1 \* p<0.05 \*\* p<0.01 \*\*\* p<0.001

表V156. 비폭 ÷ 전안고 × 100

변수	집단(빈도수)	평균±표준편차	최소치	최대치	집단간 비교
	태음인(75)	21.37±2.29	17.11	28.11	
	소음인(39)	20.64±1.77	17.65	26.20	
	소양인(56)	21.10±1.82	16.91	25.84	
	총계(170)	21.13±2.04	16.91	28.11	

a p<0.1 \* p<0.05 \*\* p<0.01 \*\*\* p<0.001

表V157. 비폭 ÷ 안최대폭 × 100

변수	집단(빈도수)	평균±표준편차	최소치	최대치	집단간 비교
	태음인(75)	27.55±2.25	20.88	32.68	
	소음인(39)	27.49±2.16	19.64	31.81	
	소양인(56)	27.87±1.77	23.20	31.44	
	총계(170)	27.64±2.08	19.64	32.68	

a p<0.1 \* p<0.05 \*\* p<0.01 \*\*\* p<0.001

表V158. 비폭 ÷ 동공점간폭 × 100

변수	집단(빈도수)	평균±표준편차	최소치	최대치	집단간 비교
	태음인(75)	64.96±4.94	52.10	78.50	
	소음인(39)	63.40±3.96	57.01	73.46	
	소양인(56)	64.80±4.57	55.88	78.09	
	총계(170)	64.55±4.63	52.10	78.50	

a p<0.1 \* p<0.05 \*\* p<0.01 \*\*\* p<0.001

表V159. 하악각간폭 ÷ 전두고 × 100

변수	집단(빈도수)	평균±표준편차	최소치	최대치	집단간 비교
	태음인(75)	54.10±4.33	43.07	65.56	
	소음인(39)	52.73±4.15	45.10	62.13	
	소양인(56)	53.32±4.33	43.77	62.16	
	총계(170)	53.53±4.30	43.06	65.56	

a p<0.1 \* p<0.05 \*\* p<0.01 \*\*\* p<0.001

表V160. 하악각간폭 ÷ 안최대폭 × 100

변수	집단(빈도수)	평균±표준편차	최소치	최대치	집단간 비교
	태음인(75)	83.36±5.86	63.14	96.22	
	소음인(39)	83.43±5.62	59.89	92.23	
	소양인(56)	83.52±5.06	71.92	93.63	
	총계(170)	83.43±5.52	59.86	92.22	

a p<0.1 \* p<0.05 \*\* p<0.01 \*\*\* p<0.001

表V161. 하악각간폭 ÷ 동공점간폭 × 100

변수	집단(빈도수)	평균±표준편차	최소치	최대치	집단간 비교
	태음인(75)	196.67±14.54	157.57	231.79	
	소음인(39)	192.63±12.66	170.49	220.08	
	소양인(56)	194.32±14.51	156.98	232.04	
	총계(170)	194.97±14.13	156.98	232.04	

a p<0.1 \* p<0.05 \*\* p<0.01 \*\*\* p<0.001

表V162. 구각간폭 ÷ 전두고 × 100

변수	집단(빈도수)	평균±표준편차	최소치	최대치	집단간 비교
	태음인(75)	21.71±2.09	18.19	26.52	
	소음인(39)	21.78±2.25	17.34	27.39	
	소양인(56)	21.95±2.36	16.83	29.49	
	총계(170)	21.81±2.21	16.83	29.49	

a p<0.1 \* p<0.05 \*\* p<0.01 \*\*\* p<0.001

表V163. 구각간폭 ÷ 전안고 × 100

변수	집단(빈도수)	평균±표준편차	최소치	최대치	집단간 비교
	태음인(75)	25.94±2.45	21.77	31.87	
	소음인(39)	25.86±2.41	21.89	34.01	
	소양인(56)	26.02±2.63	18.94	34.79	
	총계(170)	25.94±2.49	18.94	34.01	

a p<0.1 \* p<0.05 \*\* p<0.01 \*\*\* p<0.001

表V164. 구각간폭 ÷ 안최대폭 × 100

변수	집단(빈도수)	평균±표준편차	최소치	최대치	집단간 비교
	태음인(75)	33.44±2.77	24.23	40.35	
	소음인(39)	34.43±2.96	25.98	40.34	
	소양인(56)	34.33±2.65	27.67	38.78	
	총계(170)	33.96±2.80	24.23	40.35	

a p<0.1 \* p<0.05 \*\* p<0.01 \*\*\* p<0.001

表V165. 구각간폭 ÷ 동공점간폭 × 100

변수	집단(빈도수)	평균±표준편차	최소치	최대치	집단간 비교
	태음인(75)	78.83±5.98	65.95	98.22	
	소음인(39)	79.47±6.27	64.12	97.16	
	소양인(56)	79.83±6.53	65.60	97.80	
	총계(170)	79.31±6.21	64.12	98.22	

a p<0.1 \* p<0.05 \*\* p<0.01 \*\*\* p<0.001

表V166. 두최대장 ÷ 각막점방사경 × 100

변수	집단(빈도수)	평균±표준편차	최소치	최대치	집단간 비교
	태음인(75)	194.83±11.72	172.55	229.59	
	소음인(39)	197.06±12.11	149.15	215.96	
	소양인(56)	198.28±10.21	170.78	221.20	
	총계(170)	196.48±11.38	149.15	229.59	

a p<0.1 \* p<0.05 \*\* p<0.01 \*\*\* p<0.001

表V167. 발제점방사경 ÷ 안최대폭 × 100

변수	집단(빈도수)	평균±표준편차	최소치	최대치	집단간 비교
	태음인(75)	87.72±5.73	73.94	99.13	
	소음인(39)	89.24±5.96	68.17	98.36	
	소양인(56)	89.20±5.50	67.32	99.56	
	총계(170)	88.55±5.71	67.32	99.56	

a p<0.1 \* p<0.05 \*\* p<0.01 \*\*\* p<0.001

表V168. 발제점방사경 ÷ 각막점방사경 × 100

변수	집단(빈도수)	평균±표준편차	최소치	최대치	집단간 비교
	태음인(75)	139.80±6.11	117.71	155.18	
	소음인(39)	139.72±7.63	108.32	151.35	
	소양인(56)	143.14±5.60	129.49	154.83	
	총계(170)	139.89±6.30	108.32	155.18	

a p<0.1 \* p<0.05 \*\* p<0.01 \*\*\* p<0.001

表V169. 전두융기점방사경 ÷ 안최대폭 × 100

변수	집단(빈도수)	평균±표준편차	최소치	최대치	집단간 비교
	태음인(75)	83.51±5.83	69.27	101.20	
	소음인(39)	84.56±5.54	63.13	92.08	
	소양인(56)	84.49±5.17	64.69	94.88	
	총계(170)	84.07±5.55	63.13	101.20	

a p<0.1 \* p<0.05 \*\* p<0.01 \*\*\* p<0.001

表V170. 전두융기점방사경 ÷ 각막점방사경 × 100

변수	집단(빈도수)	평균±표준편차	최소치	최대치	집단간 비교
	태음인(75)	133.05±5.56	116.70	152.50	
	소음인(39)	132.37±6.68	107.01	141.74	
	소양인(56)	132.71±4.72	119.12	142.31	
	총계(170)	132.78±5.56	107.01	152.50	

a p<0.1 \* p<0.05 \*\* p<0.01 \*\*\* p<0.001

表V171. 미간점방사경 ÷ 안최대폭 × 100

변수	집단(빈도수)	평균±표준편차	최소치	최대치	집단간 비교
	태음인(75)	74.27±5.36	60.57	86.62	
	소음인(39)	75.43±5.62	54.40	90.01	
	소양인(56)	75.61±4.97	60.19	84.86	
	총계(170)	74.98±5.30	54.40	90.01	

a p<0.1 \* p<0.05 \*\* p<0.01 \*\*\* p<0.001

表V172. 미간점방사경 ÷ 각막점방사경 × 100

변수	집단(빈도수)	평균±표준편차	최소치	최대치	집단간 비교
	태음인(75)	118.25±3.55	108.33	127.41	
	소음인(39)	118.00±6.04	93.37	137.48	
	소양인(56)	118.73±3.62	106.56	126.56	
	총계(170)	118.35±4.25	93.37	137.48	

a p<0.1 \* p<0.05 \*\* p<0.01 \*\*\* p<0.001

表V173. 비근점방사경 ÷ 안최대폭 × 100

변수	집단(빈도수)	평균±표준편차	최소치	최대치	집단간 비교
	태음인(75)	67.71±4.99	56.02	79.80	
	소음인(39)	68.44±5.33	50.52	83.95	
	소양인(56)	69.09±4.91	57.16	80.48	
	총계(170)	68.33±5.10	50.52	83.95	

a p<0.1 \* p<0.05 \*\* p<0.01 \*\*\* p<0.001

表V174. 비근점방사경 ÷ 각막점방사경 × 100

변수	집단(빈도수)	평균±표준편차	최소치	최대치	집단간 비교
	태음인(75)	107.80±3.69	100.36	126.48	
	소음인(39)	107.02±5.21	89.26	123.69	
	소양인(56)	108.48±4.24	98.81	128.01	
	총계(170)	107.84±4.27	89.26	128.01	

a p<0.1 \* p<0.05 \*\* p<0.01 \*\*\* p<0.001

表V175. 비배점방사경 ÷ 안최대폭 × 100

변수	집단(빈도수)	평균±표준편차	최소치	최대치	집단간 비교
	태음인(75)	71.09±5.30	57.91	82.49	
	소음인(39)	71.97±5.46	54.34	80.02	
	소양인(56)	72.69±4.69	61.21	80.16	
	총계(170)	72.82±5.16	54.34	82.49	

a p<0.1 \* p<0.05 \*\* p<0.01 \*\*\* p<0.001

表V176. 비배점방사경 ÷ 각막점방사경 × 100

변수	집단(빈도수)	평균±표준편차	최소치	최대치	집단간 비교
	태음인(75)	113.19±4.44	105.95	137.19	
	소음인(39)	112.67±6.93	84.20	121.28	
	소양인(56)	114.14±3.67	101.05	120.19	
	총계(170)	113.39±4.92	84.20	137.19	

a p<0.1 \* p<0.05 \*\* p<0.01 \*\*\* p<0.001

表V177. 비침점방사경 ÷ 안최대폭 × 100

변수	집단(빈도수)	평균±표준편차	최소치	최대치	집단간 비교
	태음인(75)	77.48±6.37	52.74	89.13	소양인>태음인*
	소음인(39)	79.72±5.86	59.14	87.88	
	소양인(56)	79.96±5.08	68.43	89.13	
	총계(170)	78.81±5.94	52.74	89.13	

a p<0.1 \* p<0.05 \*\* p<0.01 \*\*\* p<0.001

表V178. 비침점방사경 ÷ 각막점방사경 × 100

변수	집단(빈도수)	평균±표준편차	최소치	최대치	집단간 비교
	태음인(75)	123.35±6.11	87.79	136.41	소양인>태음인a
	소음인(39)	125.68±5.70	99.62	132.86	
	소양인(56)	125.60±4.87	113.40	137.78	
	총계(170)	124.40±5.70	87.79	137.78	

a p<0.1 \* p<0.05 \*\* p<0.01 \*\*\* p<0.001

表V179. 비익점방사경 ÷ 안최대폭 × 100

변수	집단(빈도수)	평균±표준편차	최소치	최대치	집단간 비교
	태음인(75)	63.39±4.67	51.04	74.58	
	소음인(39)	63.48±4.69	47.76	71.80	
	소양인(56)	63.91±4.48	47.23	71.56	
	총계(170)	63.58±4.59	47.23	74.58	

a p<0.1 \* p<0.05 \*\* p<0.01 \*\*\* p<0.001

表V180. 비익점방사경 ÷ 각막점방사경 × 100

변수	집단(빈도수)	평균±표준편차	최소치	최대치	집단간 비교
	태음인(75)	100.97±4.71	89.21	124.85	
	소음인(39)	99.31±4.94	79.11	108.62	
	소양인(56)	100.41±5.25	80.47	119.30	
	총계(170)	100.40±4.96	79.11	124.85	

a p<0.1 \* p<0.05 \*\* p<0.01 \*\*\* p<0.001

表V181. 비하점방사경 ÷ 안최대폭 × 100

변수	집단(빈도수)	평균±표준편차	최소치	최대치	집단간 비교
	태음인(75)	69.59±5.24	55.77	80.15	
	소음인(39)	71.26±5.78	52.30	79.06	
	소양인(56)	71.36±4.64	61.10	81.41	
	총계(170)	70.56±5.20	52.30	81.41	

a p<0.1 \* p<0.05 \*\* p<0.01 \*\*\* p<0.001

表V182. 비하점방사경 ÷ 각막점방사경 × 100

변수	집단(빈도수)	평균±표준편차	최소치	최대치	집단간 비교
	태음인(75)	110.85±5.29	100.55	134.18	
	소음인(39)	111.37±4.83	96.05	122.02	
	소양인(56)	112.09±4.63	102.77	122.97	
	총계(170)	111.38±4.98	96.05	134.18	

a p<0.1 \* p<0.05 \*\* p<0.01 \*\*\* p<0.001

表V183. 상순점방사경 ÷ 안최대폭 × 100

변수	집단(빈도수)	평균±표준편차	최소치	최대치	집단간 비교
	태음인(75)	75.79±5.13	60.30	87.39	
	소음인(39)	76.60±6.31	55.88	86.70	
	소양인(56)	77.43±5.37	58.90	86.67	
	총계(170)	76.51±5.51	55.88	87.39	

a p<0.1 \* p<0.05 \*\* p<0.01 \*\*\* p<0.001

表V184. 상순점방사경 ÷ 각막점방사경 × 100

변수	집단(빈도수)	평균±표준편차	최소치	최대치	집단간 비교
	태음인(75)	120.74±4.95	109.42	135.99	
	소음인(39)	119.79±6.84	93.73	138.39	
	소양인(56)	127.63±5.93	106.01	132.49	
	총계(170)	120.82±5.76	93.74	138.39	

a p<0.1 \* p<0.05 \*\* p<0.01 \*\*\* p<0.001

表V185. 구열점방사경 ÷ 안최대폭 × 100

변수	집단(빈도수)	평균±표준편차	최소치	최대치	집단간 비교
	태음인(75)	74.88±5.01	59.93	84.67	
	소음인(39)	75.82±6.34	56.47	85.64	
	소양인(56)	76.72±4.47	67.02	84.84	
	총계(170)	75.70±5.21	56.47	85.64	

a p<0.1 \* p<0.05 \*\* p<0.01 \*\*\* p<0.001

表V186. 구열점방사경 ÷ 각막점방사경 × 100

변수	집단(빈도수)	평균±표준편차	최소치	최대치	집단간 비교
	태음인(75)	119.31±5.08	109.42	132.01	
	소음인(39)	118.57±6.98	92.90	137.52	
	소양인(56)	120.61±5.70	106.80	136.51	
	총계(170)	119.57±5.79	92.90	137.52	

a p<0.1 \* p<0.05 \*\* p<0.01 \*\*\* p<0.001

表V187. 구각점방사경 ÷ 안최대폭 × 100

변수	집단(빈도수)	평균±표준편차	최소치	최대치	집단간 비교
	태음인(75)	68.20±4.95	54.57	81.85	
	소음인(39)	69.29±6.68	51.08	89.19	
	소양인(56)	69.26±4.04	61.72	76.22	
	총계(170)	68.80±1.34	51.08	86.19	

a p<0.1 \* p<0.05 \*\* p<0.01 \*\*\* p<0.001

表V188. 구각점방사경 ÷ 각막점방사경 × 100

변수	집단(빈도수)	평균±표준편차	최소치	최대치	집단간 비교
	태음인(75)	108.68±5.97	96.07	137.03	
	소음인(39)	108.36±8.28	82.73	131.10	
	소양인(56)	108.87±5.01	99.10	121.19	
	총계(170)	108.67±6.26	82.73	137.03	

a p<0.1 \* p<0.05 \*\* p<0.01 \*\*\* p<0.001

表V189. 하순점방사경 ÷ 안최대폭 × 100

변수	집단(빈도수)	평균±표준편차	최소치	최대치	집단간 비교
	태음인(75)	78.85±5.31	64.17	89.00	
	소음인(39)	79.90±6.88	59.22	92.48	
	소양인(56)	80.59±4.68	69.82	90.05	
	총계(170)	79.66±5.54	59.23	92.48	

a p<0.1 \* p<0.05 \*\* p<0.01 \*\*\* p<0.001

表V190. 하순점방사경 ÷ 각막점방사경 × 100

변수	집단(빈도수)	평균±표준편차	최소치	최대치	집단간 비교
	태음인(75)	125.65±5.67	110.30	137.22	
	소음인(39)	124.96±8.11	97.65	149.62	
	소양인(56)	126.68±6.06	114.92	139.31	
	총계(170)	125.83±6.42	97.65	149.62	

a p<0.1 \* p<0.05 \*\* p<0.01 \*\*\* p<0.001

表V191. 턱순구점방사경 ÷ 안최대폭 × 100

변수	집단(빈도수)	평균±표준편차	최소치	최대치	집단간 비교
	태음인(75)	77.39±5.53	61.50	90.98	
	소음인(39)	78.63±6.55	57.30	94.11	
	소양인(56)	79.09±4.91	67.95	87.48	
	총계(170)	78.24±5.91	57.30	94.11	

a p<0.1 \* p<0.05 \*\* p<0.01 \*\*\* p<0.001

表V192. 턱순구점방사경 ÷ 각막점방사경 × 100

변수	집단(빈도수)	평균±표준편차	최소치	최대치	집단간 비교
	태음인(75)	123.32±6.20	106.86	141.77	
	소음인(39)	123.02±8.13	94.68	152.26	
	소양인(56)	124.33±6.36	111.44	137.86	
	총계(170)	123.58±6.72	94.68	152.26	

a p<0.1 \* p<0.05 \*\* p<0.01 \*\*\* p<0.001

表V193. 턱음기점방사경 ÷ 안최대폭 × 100

변수	집단(빈도수)	평균±표준편차	최소치	최대치	집단간 비교
	태음인(75)	82.08±6.23	63.63	96.06	
	소음인(39)	83.18±6.88	60.07	98.11	
	소양인(56)	83.57±4.81	72.67	92.24	
	총계(170)	82.83±5.97	60.07	98.11	

a p<0.1 \* p<0.05 \*\* p<0.01 \*\*\* p<0.001

表V194. 턱음기점방사경 ÷ 각막점방사경 × 100

변수	집단(빈도수)	평균±표준편차	최소치	최대치	집단간 비교
	태음인(75)	130.78±7.00	112.11	148.11	
	소음인(39)	130.15±8.76	98.50	158.72	
	소양인(56)	131.44±7.37	117.37	150.19	
	총계(170)	130.85±7.053	98.50	158.72	

a p<0.1 \* p<0.05 \*\* p<0.01 \*\*\* p<0.001

表V195. 턱하점방사경 ÷ 안최대폭 × 100

변수	집단(빈도수)	평균±표준편차	최소치	최대치	집단간 비교
	태음인(75)	83.02±6.37	61.39	97.32	
	소음인(39)	83.46±7.53	59.19	101.65	
	소양인(56)	84.35±5.28	71.98	95.24	
	총계(170)	83.56±6.32	59.20	101.65	

a p<0.1 \* p<0.05 \*\* p<0.01 \*\*\* p<0.001

表V196. 턱하점방사경 ÷ 각막점방사경 × 100

변수	집단(빈도수)	평균±표준편차	최소치	최대치	집단간 비교
	태음인(75)	132.26±7.30	112.00	150.05	
	소음인(39)	130.60±10.06	97.94	164.45	
	소양인(56)	132.69±8.48	113.33	153.13	
	총계(170)	132.02±8.37	97.94	164.45	

a p<0.1 \* p<0.05 \*\* p<0.01 \*\*\* p<0.001

表V197. 설골점방사경 ÷ 안최대폭 × 100

변수	집단(빈도수)	평균±표준편차	최소치	최대치	집단간 비교
	태음인(75)	78.07±7.29	54.99	97.24	소양인>소음인 <sup>a</sup>
	소음인(39)	75.82±8.01	53.10	96.52	
	소양인(56)	79.29±6.93	63.24	96.29	
	총계(170)	77.96±7.42	53.10	97.24	

a p<0.1 \* p<0.05 \*\* p<0.01 \*\*\* p<0.001

表V198. 설골점방사경 ÷ 각막점방사경 × 100

변수	집단(빈도수)	평균±표준편차	최소치	최대치	집단간 비교
	태음인(75)	124.54±11.44	96.20	157.16	태음인>소음인 소양인>소음인 a
	소음인(39)	118.73±11.97	80.59	153.23	
	소양인(56)	124.79±11.73	101.70	156.28	
	총계(170)	123.29±11.85	80.59	157.16	

a p<0.1 \* p<0.05 \*\* p<0.01 \*\*\* p<0.001

表V199. 하악저장 ÷ 안최대폭 × 100

변수	집단(빈도수)	평균±표준편차	최소치	최대치	집단간 비교
	태음인(75)	29.48±8.05	10.72	47.93	소음인>태음인 소양인>태음인* **
	소음인(39)	24.63±5.20	15.00	33.55	
	소양인(56)	24.79±5.34	12.66	36.66	
	총계(170)	26.83±7.03	10.72	47.93	

a p<0.1 \* p<0.05 \*\* p<0.01 \*\*\* p<0.001

表V200. 하악저장 ÷ 각막점방사경 × 100

변수	집단(빈도수)	평균±표준편차	최소치	최대치	집단간 비교
	태음인(75)	46.93±12.48	16.81	77.78	태음인>소음인 태음인>소양인* **
	소음인(39)	38.50±7.84	23.84	55.91	
	소양인(56)	39.14±8.59	18.44	61.89	
	총계(170)	42.45±11.06	16.81	77.78	

a p<0.1 \* p<0.05 \*\* p<0.01 \*\*\* p<0.001

表V201. 고경의 순위표

항목	수치대소			항목	수치대소		
	최대그룹	중간그룹	최소그룹		최대그룹	중간그룹	최소그룹
전두고	◆	△	★	이주점고	◆	★	△
전안고	◆	△	★	이주고	◆	★	△
전두융기고	◆	△	★	비첨점고	◆	★	△
오필리온고	◆	△	★	비하점고	◆	★	△
미정점고	◆	△	★	비익상점고	◆	★	△
미간점고	◆	△	★	비익하점고	◆	★	△
안와상연고	◆	△	★	상순점고	◆	△	★
비근점고	◆	★	△	구열점고	◆	△	★
비배점고	◆	★	△	구각점고	△	◆	★
동공점고	◆	△	★	하순점고	◆	★	△
상안점열고	◆	△	★	턱순구점고	◆	△	★
하안점열고	◆	△	★	턱융기점고	△	◆	★
상이저점고	◆	△	★	웃턱결점점고	△	★	◆
하이저점고	★	△	◆				

◆ : 태음인, △ : 소음인, ★ : 소양인

表V202. 고경비 순위표

항목	측정치		전안고비		동공점간거리비	
	최대치집단	최소치집단	최대치집단	최소치집단	최대치집단	최소치집단
전두고	◆	★	◆	★	△	◆
전안고	◆	★			△	◆
상안고	△	◆	△	◆	△	◆
중안고	◆	★	△	★	△	◆
하안고	◆	△	◆	△	◆	△
Trichion-sellion고	△	◆	△	◆	△	◆
Sellion-subnasale고	◆	★	△	★	△	◆
Sellion-stomion고	◆	★	◆	△	★	△
Stomion-gnathion고	◆	★	◆	★	◆	★
Papulare-gnathion고	◆	★	◆	★	△	★

◆ : 태음인, △ : 소음인, ★ : 소양인

表V203. 방사경 순위표

수치대소				수치대소			
항목	최대그룹	중간그룹	최소그룹	항목	최대그룹	중간그룹	최소그룹
두최대장	◆	★	△	비하점방사경	◆	★	△
발제점방사경	◆	★	△	상순점방사경	◆	★	△
전두음점방사경	◆	★	△	구열점방사경	◆	★	△
오필리온방사경	◆	★	△	구각점방사경	◆	★	△
미정점방사경	◆	★	△	하순점방사경	◆	★	△
미간점방사경	◆	★	△	턱순구점방사경	◆	★	△
비근점방사경	◆	★	△	턱융기점방사경	◆	★	△
각막점방사경	◆	△	★	윗턱결점점방사경	◆	★	△
안미점방사경	◆	★	△	턱하점방사경	◆	★	△
비배점방사경	◆	★	△	설골점방사경	◆	★	△
비첨점방사경	◆	★	△	하악저장	◆	△	★
비익점방사경	◆	★	△				

◆ : 태음인, △ : 소음인, ★ : 소양인

表V204. 방사경비 순위표

항목	측정치		안최대폭비		각막점방사경비	
	최대치집단	최소치집단	최대치집단	최소치집단	최대치집단	최소치집단
두최대장	◆	△			★	◆
발제점방사경	◆	△	△	◆	★	△
전두음기점방사경	◆	△	△	◆	◆	△
미간점방사경	◆	△	★	◆	★	△
비근점방사경	◆	△	★	◆	★	△
비배점방사경	◆	△	★	◆	★	△
비첨점방사경	◆	△	★	◆	★	◆
비익점방사경	◆	△	★	◆	◆	△
비하점방사경	◆	△	★	◆	★	◆
상순점방사경	◆	△	★	◆	★	△
구열점방사경	◆	△	★	◆	★	△
구각점방사경	◆	△	△	◆	★	△
하순점방사경	◆	△	★	◆	★	△
턱순구점방사경	◆	△	★	◆	★	△
턱융기점방사경	◆	△	★	◆	★	△
턱하점방사경	◆	△	★	◆	★	△

◆ : 태음인, △ : 소음인, ★ : 소양인

表V205. 폭경 순위표

항목	수치대소			항목	수치대소		
	최대그룹	중간그룹	최소그룹		최대그룹	중간그룹	최소그룹
안최대폭	◆	★	△	동자의연각간폭	◆	△	★
권골간폭	◆	★	△	동공점간폭	◆	△	★
전액폭	◆	△	★	동자내연각간폭	◆	△	★
측두선간폭	◆	★	△	협음기간폭	◆	★	△
전두음기간폭	◆	△	★	비폭	◆	★	△
미초간폭	◆	△	★	인중폭	★	◆	△
미간폭	◆	★	△	하악각간폭	◆	★	△
양안미간폭	◆	△	★	구각간폭	◆	△	★
내안각간폭	◆	★	△	턱결절간폭	△	◆	★
비근폭	◆	★	△				

◆ : 태음인, △ : 소음인, ★ : 소양인

表V206. 폭경비 순위표

항목	측정치		전두고비		전안고비		안최대폭비		동공점간거리비	
	최대치 집단	최소치 집단	최대치 집단	최소치 집단	최대치 집단	최소치 집단	최대치 집단	최소치 집단	최대치 집단	최소치 집단
안최대폭	◆	△	◆	△	◆	△			◆	△
전액폭	◆	★	△	◆	◆	△	△	◆	△	◆
측두선간폭	◆	△	◆	△	◆	△	★	△	★	◆
양미초간폭	◆	★	★	◆	★	△	★	◆	△	◆
미간폭	◆	△	◆	△	◆	△	◆	△	◆	△
양안미간폭	◆	★	△	★	◆	★	△	★	△	◆
내안각간폭	◆	△	★	△	◆	△	★	△	★	◆
동공점간거리	◆	★	◆	△	◆	△	△	◆		
비폭	◆	△	◆	△	◆	△	★	△	◆	△
하악각간거리	◆	△	◆	△			★	◆	◆	△
구각간폭	◆	★	★	◆	★	△	△	◆	★	◆

◆ : 태음인, △ : 소음인, ★ : 소양인

## 附錄Ⅱ 圖 찾아보기

圖1 촬영방법도해

圖2 고경계측항목도해(1)

圖3 고경계측항목도해(2)

圖4 방사경 계측항목도해(1)

圖5 방사경 계측항목도해(2)

圖6 폭경계측항목도해

圖7 체질별 안면고경치의 비교

圖8 체질별 측면윤곽선의 비교

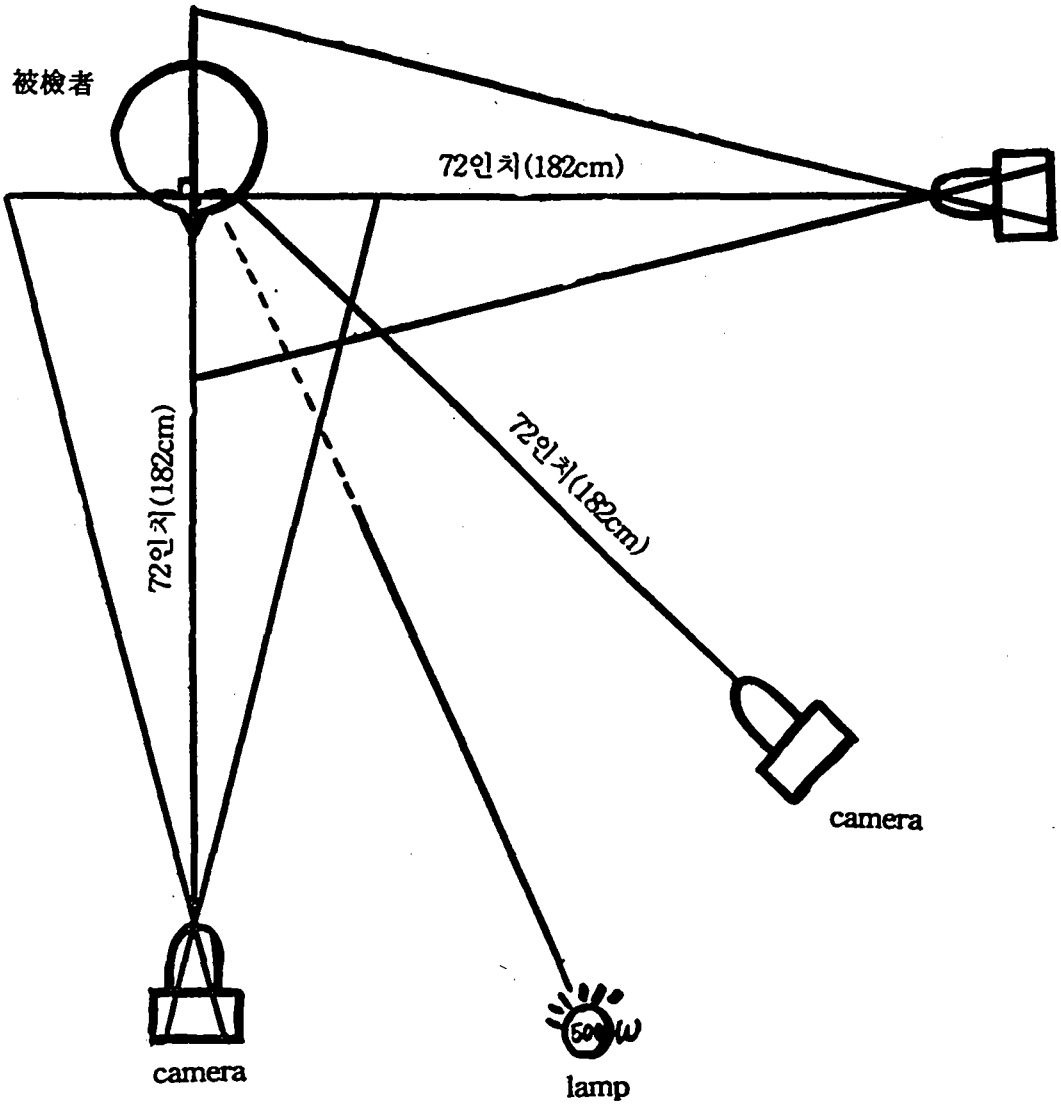


圖1 촬영방법도해

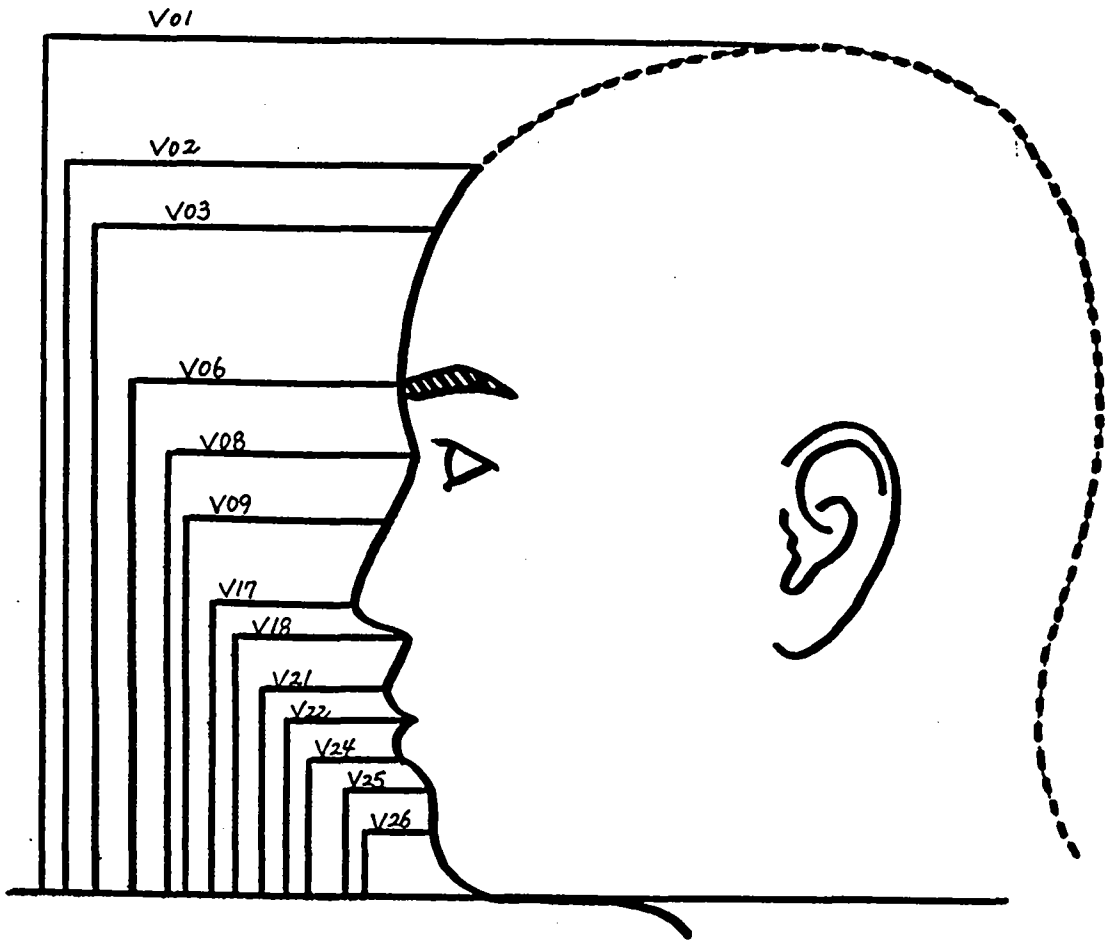


圖2 고경계측항목도해(1)

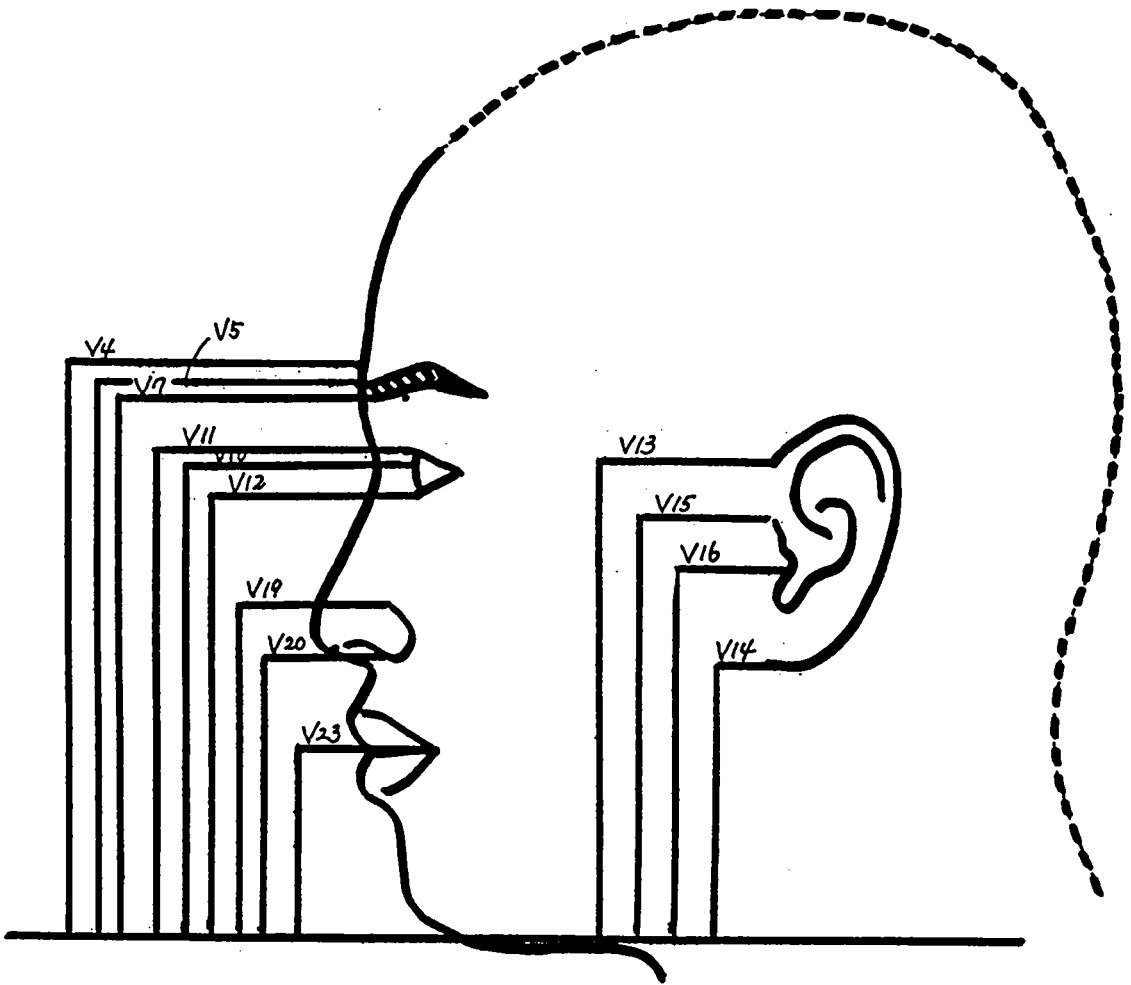


圖3 고정계측항목도해(2)

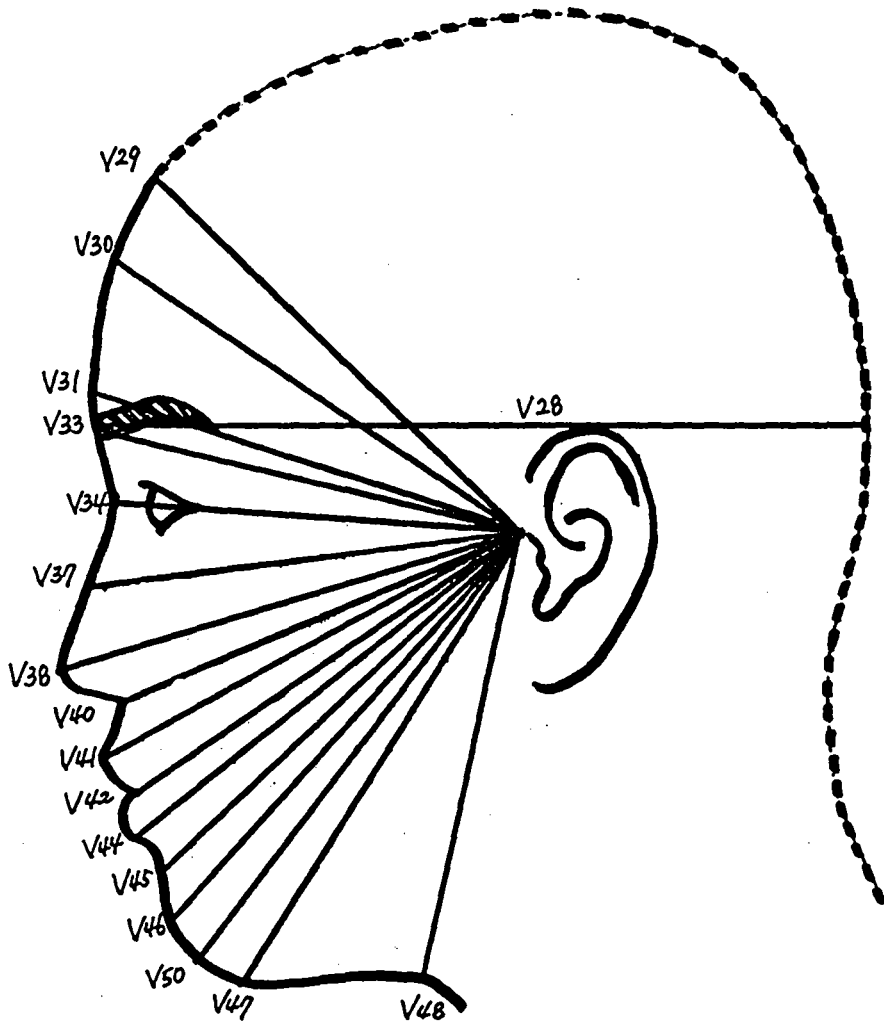


圖4 방사경 계측항목도해(1)

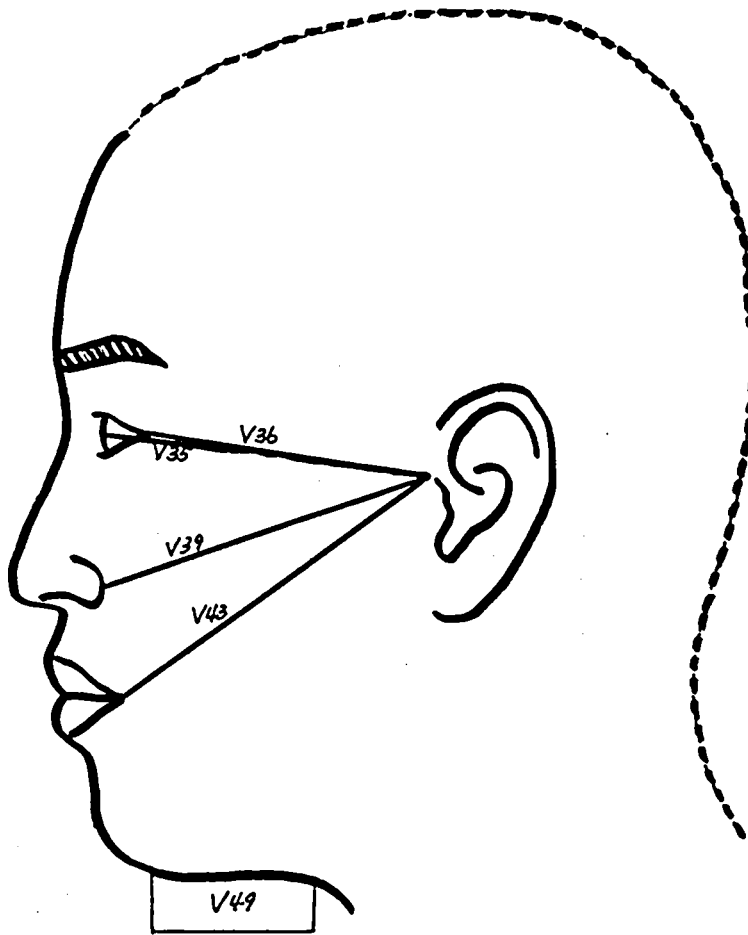


圖5 방사경 계측항목도해(2)

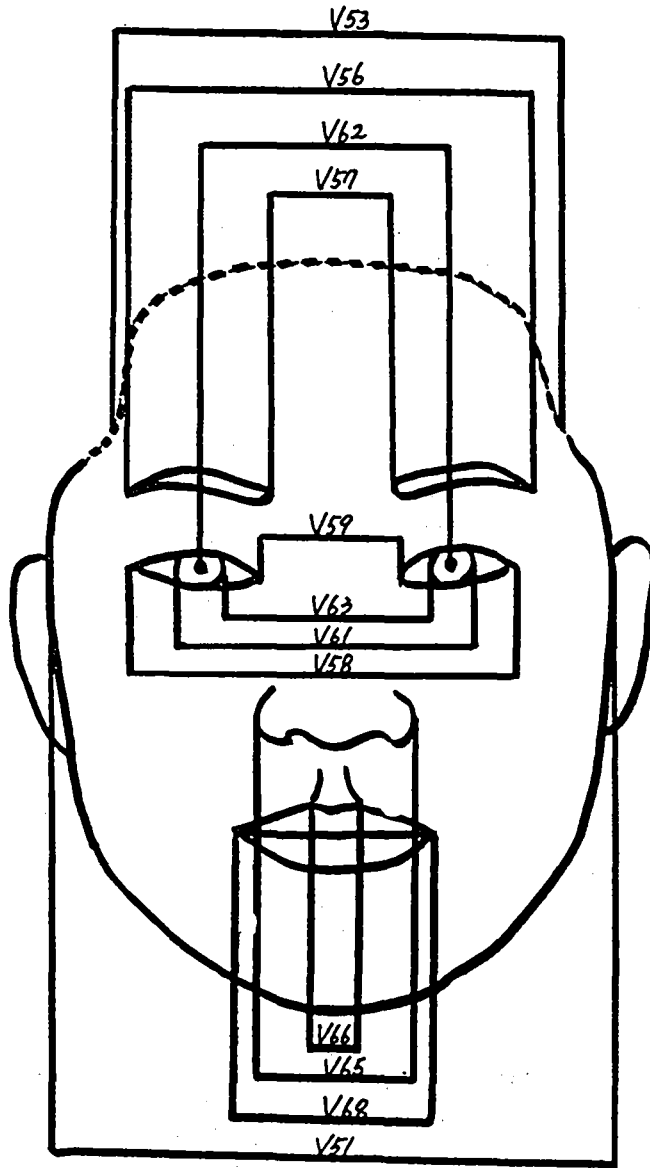


圖6 폭경계측항목도해

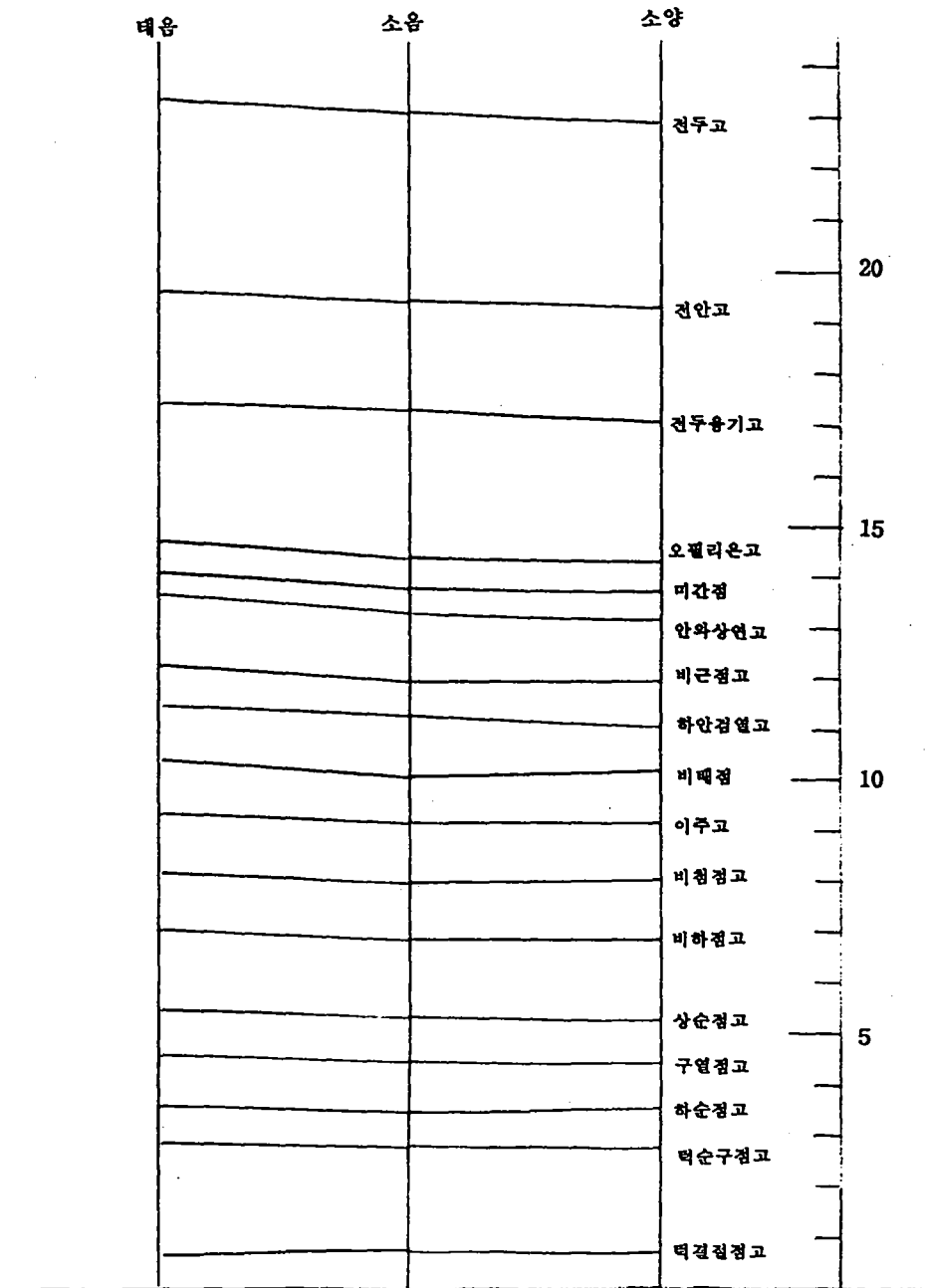


圖7 체질별 안면고경치의 비교

圖8 체질별 측면운곽선의 비교

